



***Autoridad Interjurisdiccional de las Cuencas
de los Ríos Limay, Neuquén y Negro***

SECRETARÍA DE OPERACIONES Y FISCALIZACIÓN

**INFORME HIDROMETEOROLÓGICO
JULIO 2011**





Autoridad Interjurisdiccional de las Cuencas de los Ríos Limay, Neuquén y Negro

AUTORIDADES

- **Consejo de Gobierno:**

- *Presidente: Ministro del Interior
Cr. Aníbal Florencio RANDAZZO*
- *Gobernador de la Provincia de Neuquén
Dr. Jorge SAPAG*
- *Gobernador de la Provincia de Río Negro
Dr. Miguel SAIZ*
- *Gobernador de la Provincia de Buenos Aires
Don Daniel SCIOLI*

- **Comité Ejecutivo:**

- *Presidente: (cargo rotativo anual)*
- *Representante de Estado Nacional
Arq. Alberto CIAMPINI*
- *Representante de la Provincia de Buenos Aires
M.M.O. Gustavo ROMERO*
- *Representante de la Provincia de Río Negro
Ing. Horacio Raúl COLLADO*
- *Representante de la Provincia de Neuquén
Ing. Elías SAPAG*

Propietario: Autoridad Interjurisdiccional de las Cuencas de los Ríos Limay, Neuquén y Negro.
Número de Propiedad Intelectual (en trámite) (*).
Director de la Publicación: Presidente del Comité Ejecutivo.

(*) Se autoriza el copiado y/o duplicado de la información contenida en este ejemplar, siempre que se cite la fuente.

Resumen Hidrometeorológico y de Operación de los Embalses de la Cuenca

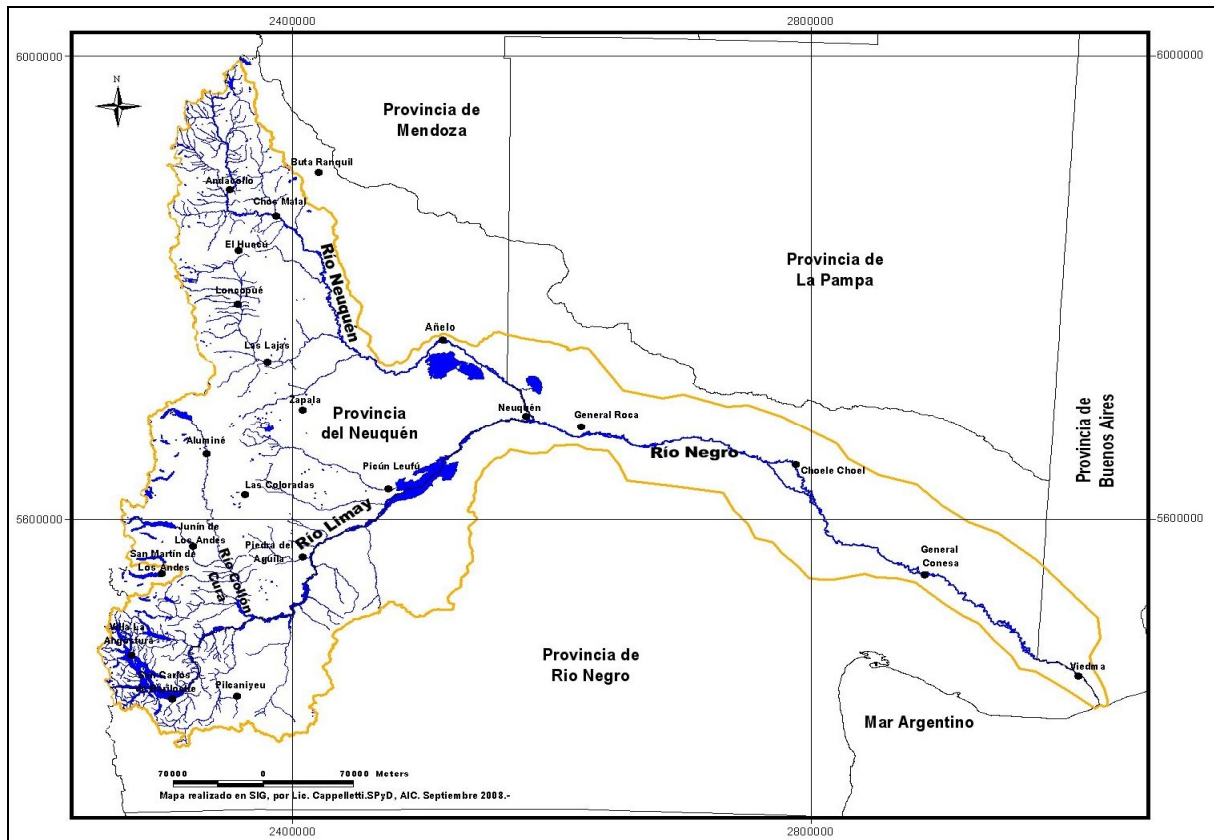
Julio 2011

Contenido y Organización:

El presente informe expone, para el período mensual del título:

1. *El comportamiento de las variables hidrometeorológicas de las subcuencas (río Neuquén; río Collón Curá; y ríos Traful - Alto Limay) hasta los puntos de ingreso a los embalses de los aprovechamientos hidroeléctricos.*
 - 1.1. *Síntesis del comportamiento de las principales variables de cada subcuenca, en relación con los promedios históricos.*
 - 1.2. *Análisis por subcuenca de:*
 - 1.2.1. *Evolución de los parámetros hidrometeorológicos en algunas estaciones de medición representativas: acumulación de nieve, viento, presión atmosférica, precipitación temperatura, humedad relativa, acumulación lacustre y caudales.*
 - 1.2.2. *Valores de precipitaciones, temperatura, acumulación subterránea, referidos al área total de cada subcuenca, comparados con los promedios para el mes. Hidrograma afluente al embalse y clasificaciones del derrame del mes y del acumulado desde el comienzo del período hidrológico.*
2. *La operación de los aprovechamientos: evolución de los niveles de embalses y las erogaciones.*
3. *Tendencias meteorológicas, estimación de derrames afluentes y de la probable evolución de los embalses para los próximos meses.*
 - 3.1. *Perspectiva climática para las subcuencas.*
 - 3.2. *Pronóstico de caudales afluentes.*
 - 3.3. *Previsión de la evolución de los embalses.*

Mapa de la cuenca



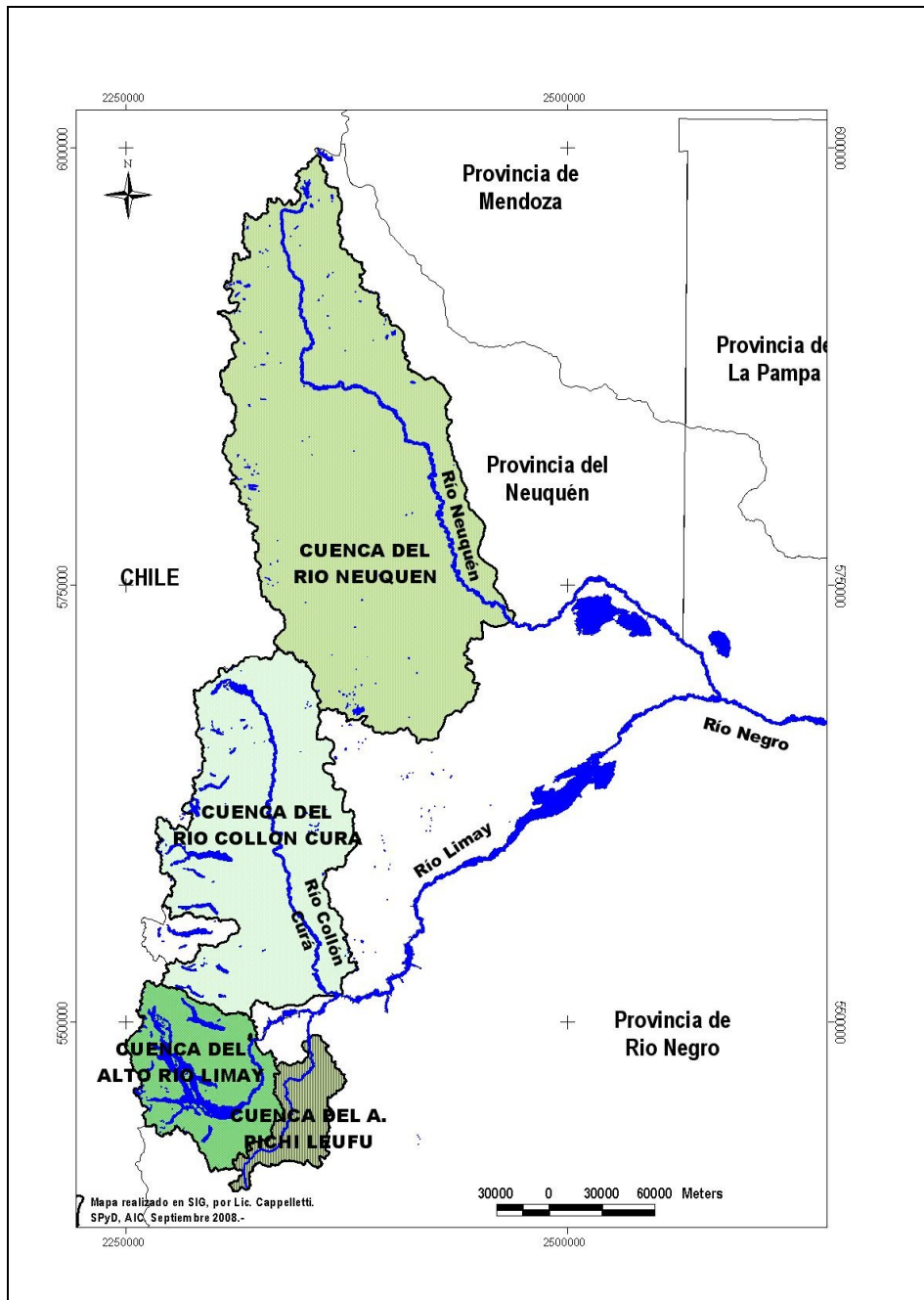
1. Variables hidrometeorológicas de las subcuencas hasta el ingreso a los embalses Alicura, Piedra del Águila y Cerros Colorados

Se hace referencia en adelante, a las siguientes subcuencas:

- de los ríos Alto Limay y Traful, totalizando el ingreso al embalse Alicurá (6.138 Km²);
- de los ríos Collón Curá y A° Pichileufú, afluentes naturales al embalse Piedra del Águila (16.295 y 2.336 Km², respectivamente);
- del río Neuquén, afluente al dique Portezuelo Grande (31.668 Km²).

La anterior partición de subcuencas se realiza desde el punto de vista de la evaluación de la operación de los embalses.

Mapa de las subcuencas



1.1. Síntesis hidrológica Julio 2011 – Comparación con los valores medios

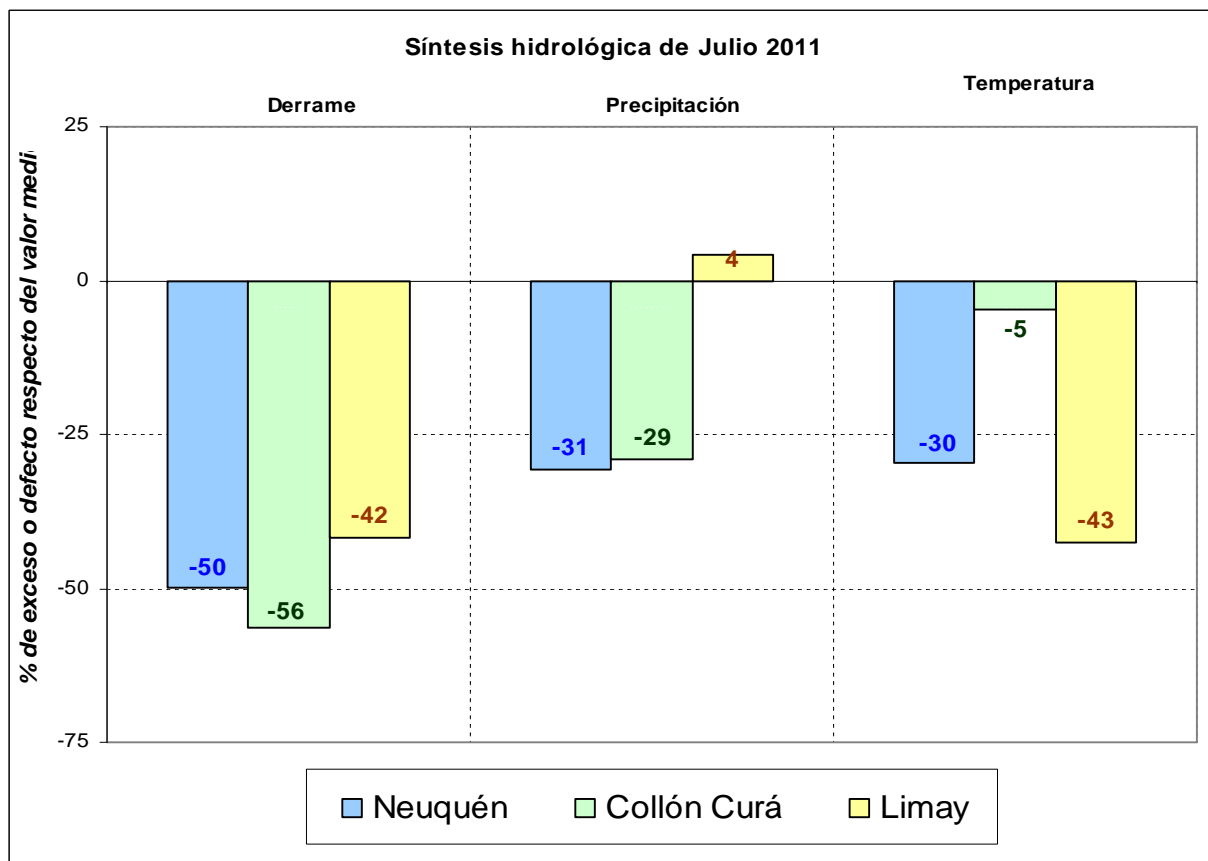
La precipitación del mes resultó deficitaria en las cuencas del Neuquén y Collón Curá con un valor del -31 % y -29% respectivamente, en cambio en la cuenca del Limay resultó apenas superior a la media con un valor del 4%.

Las temperaturas de las subcuencas se ubicaron por debajo de los valores medios en las tres cuencas, con un -43% en la cuenca río Limay, un -30% en la cuenca del Neuquén y mas cercano a los valores medios en la cuenca del Collón Curá con un -5%.

Los derrames del mes clasificaron como secos en las tres cuencas. El río Neuquén con un déficit del 50%, el río Limay con un déficit del 42% y el río Collón Curá con un déficit del 56%.

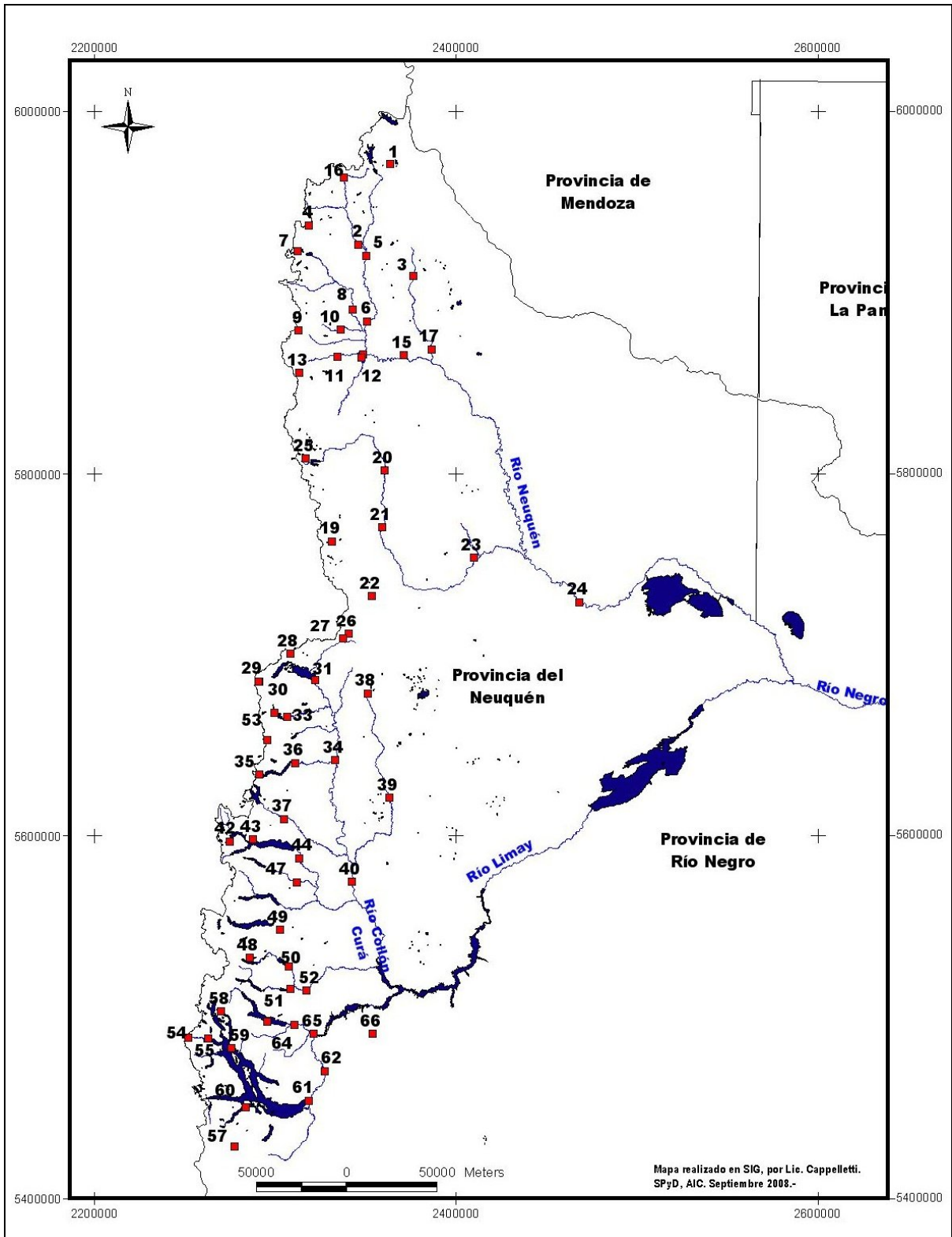
La acumulación subterránea se encuentra por debajo de los valores medios en las tres subcuencas.

Los niveles de los lagos de la cuenca del río Limay y del Collón Curá se encuentran por debajo de los valores medios.



1.2. Variables hidrometeorológicas en estaciones de medición, para cada subcuenca

Ubicación de las estaciones de medición



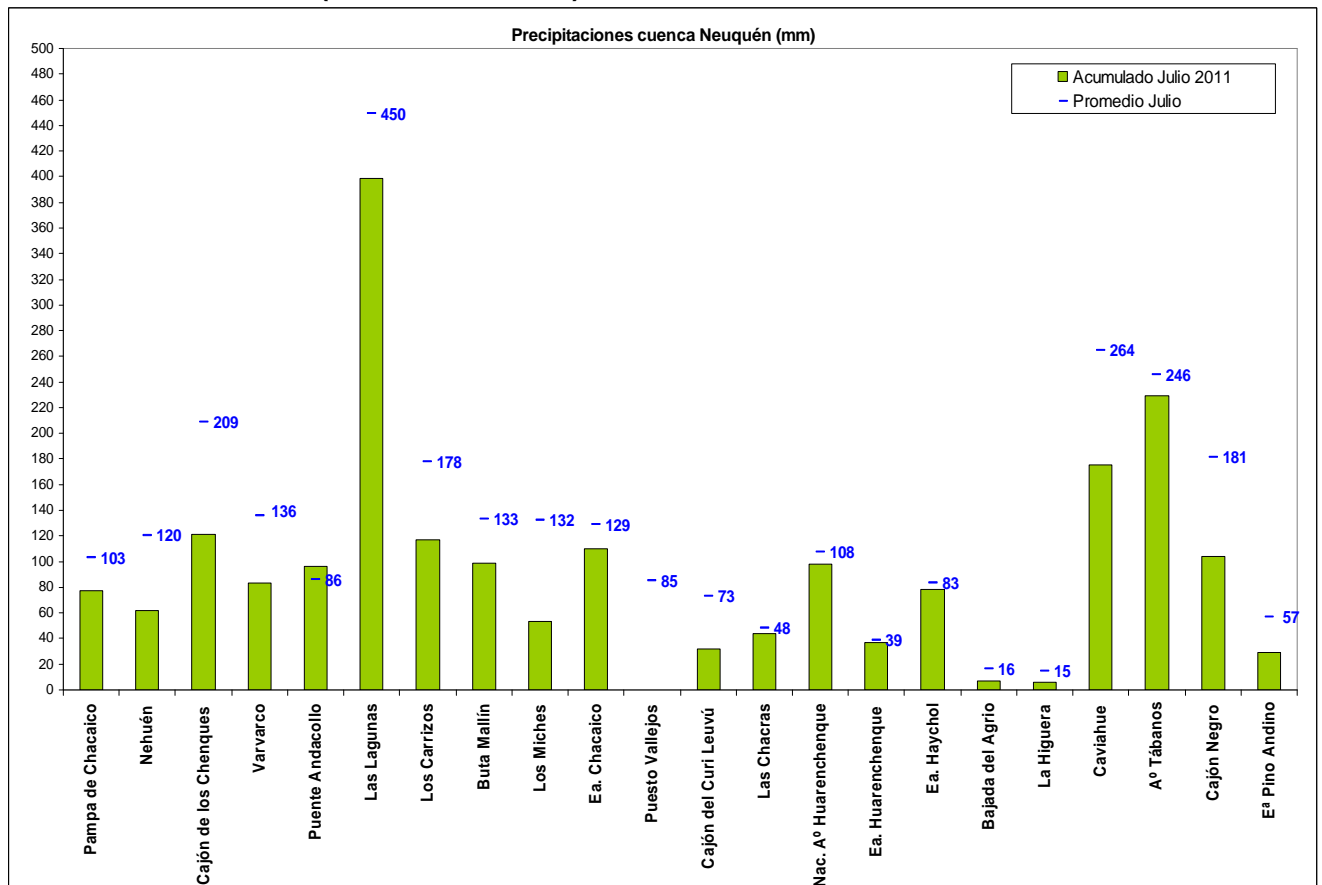
Referencias

	HUMERO	ESTACION			HUMERO	ESTACION
SUBCUENCA NEUQUÉN	1	PAMPA DEL CHACAICO		SUBCUENCA COLLÓN CURÁ	26	CERRO LITRAN
	2	NEHUEN			27	LITRAN ABAJO
	3	CAJON DE LOS CHENQUES			28	BATEA MAHUIDA ABAJO
	4	CAJON NEGRO			29	CERRO CASA QUILA (1.800)
	5	VARVARCO			30	CERRO CASA QUILA (1.600)
	6	ANDACOLLO (PUENTE)			31	SALIDA LAGO ALUMINE
	7	LAS LAGUNAS DE EPULAFQUEN			32	NACIENTES ARROYO MALALCO
	8	LOS CARRIZOS			33	SALIDA LAGO ÑORQUINCO
	9	BUTA MALLIN			34	RAHUE
	10	LOS MICHES			35	AÑIHUERAQUI
	11	ESTANCIA CHACAICO			36	ESTANCIA LA OFELIA (Quillen)
	12	LA BUITRERA			37	ESTANCIA MAMUIL MALAL
	13	ARROYO TABANOS			38	NACIENTES ARROYO CATAN LIL
	14	PUESTO VALLEJOS			39	LAS COLORADAS
	15	RAHUECO			40	HUECHAHUE
	16	CAJON DEL CURI LEUVU			42	PUESTO ANTIAO
	17	LOS MAITENES			43	LAGO HUECHULAFQUEN
	19	NAC. ARROYO HUARENCHENQUE			44	ESTANCIA CASA DE LATA
	20	ESTANCIA PINO ANDINO			47	ESTANCIA COLLUN CO
	21	ESTANCIA HUARENCHENQUE			48	CERRO EL MOCHO
	22	ESTANCIA HAYCHOL			49	CERRO CHAPELCO (CONFITERIA)
	23	BAJADA DEL AGRIO			50	SALIDA LAGO MELIQUINA
	24	LA HIGUERA			51	PUESTO LOPEZ
	25	CAVIAHUE			52	PUESTO CORDOBA
						53

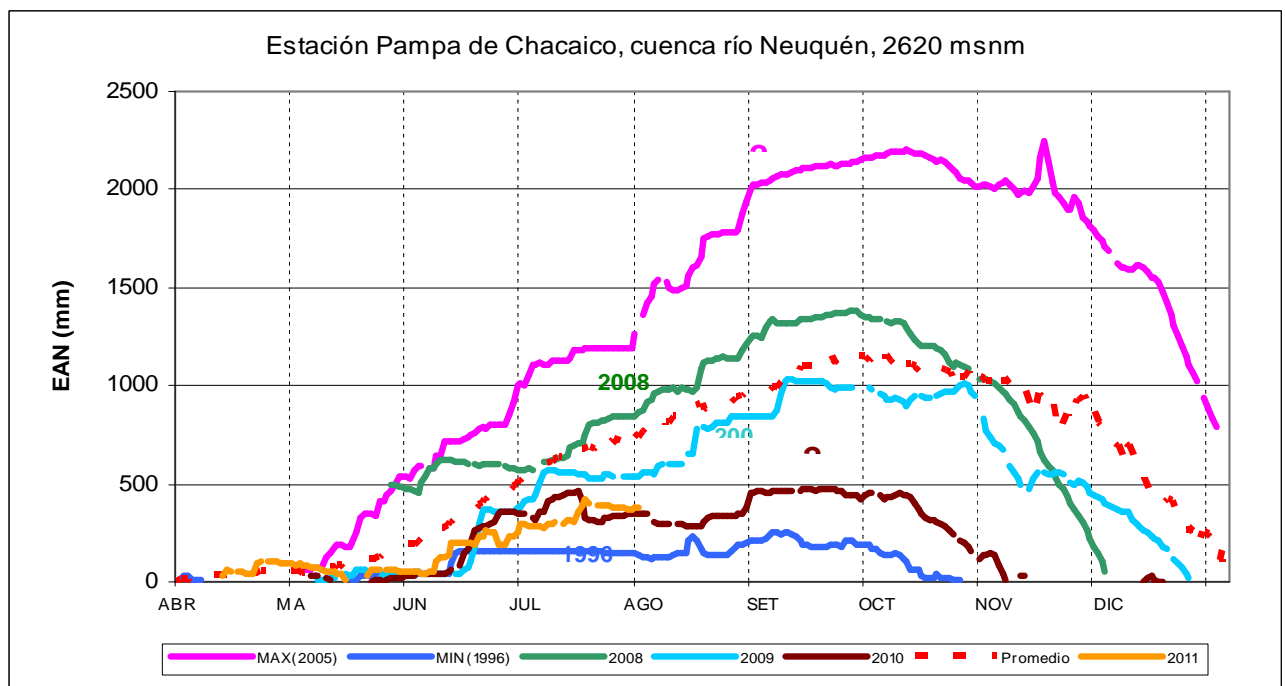
	HUMERO	ESTACION
SUBCUENCA LIMAY	54	CERRO MIRADOR
	55	EL RINCÓN TM
	57	HOTEL TRONADOR (MASCARDI)
	58	LAGO ESPEJO CHICO
	59	VILLA LA ANGOSTURA
	60	BAHIA LOPEZ
	61	NAHUEL HUAPI
	62	VILLA LLANQUIN
	63	VILLA TRAFUL (Guardaparque)
	64	SALMONICULTURA
	65	LA CANTERA
	66	CORRALITO

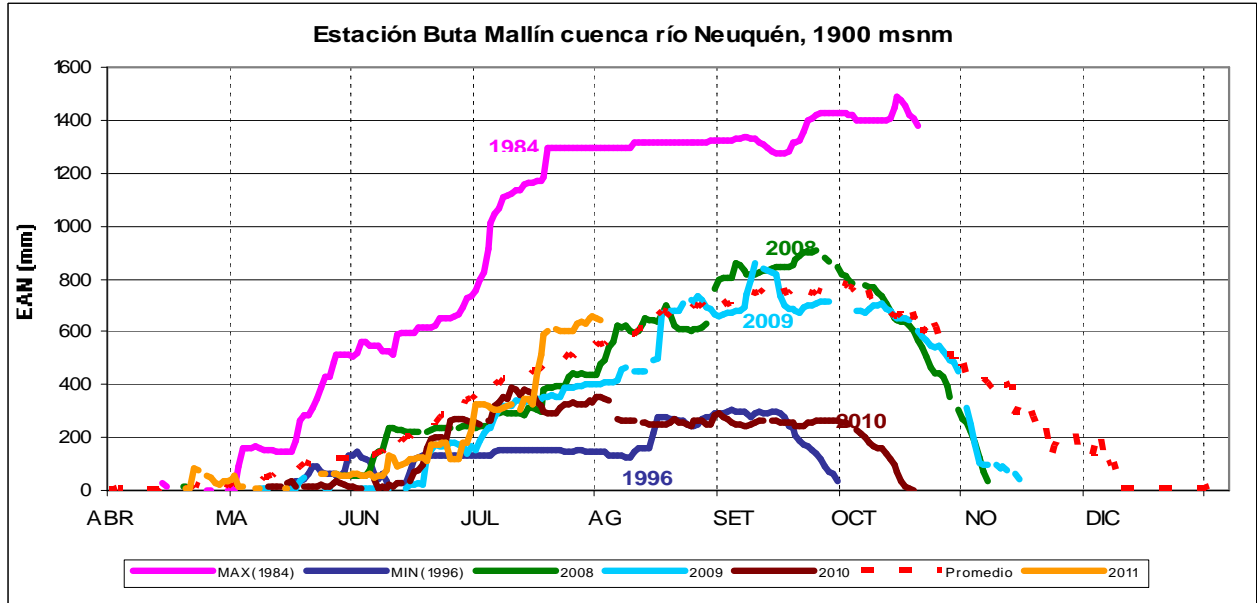
1.2.1. Subcuenca Neuquén

Precipitaciones acumuladas mensuales. Comparación con los promedios históricos de acumulación mensual (Serie 1997 – 2011)

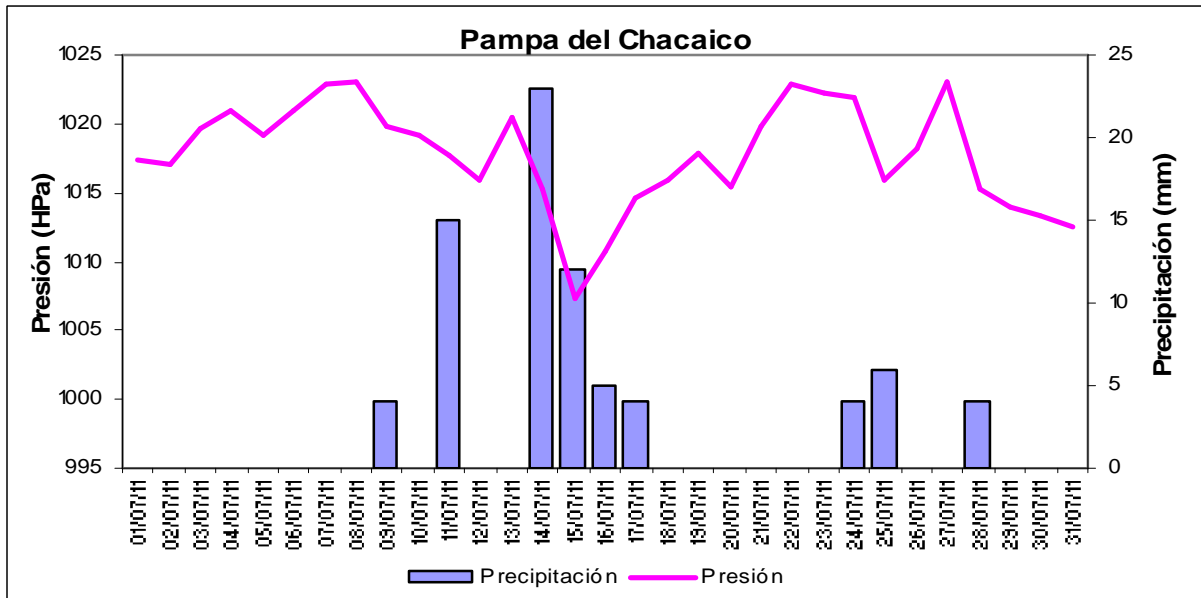


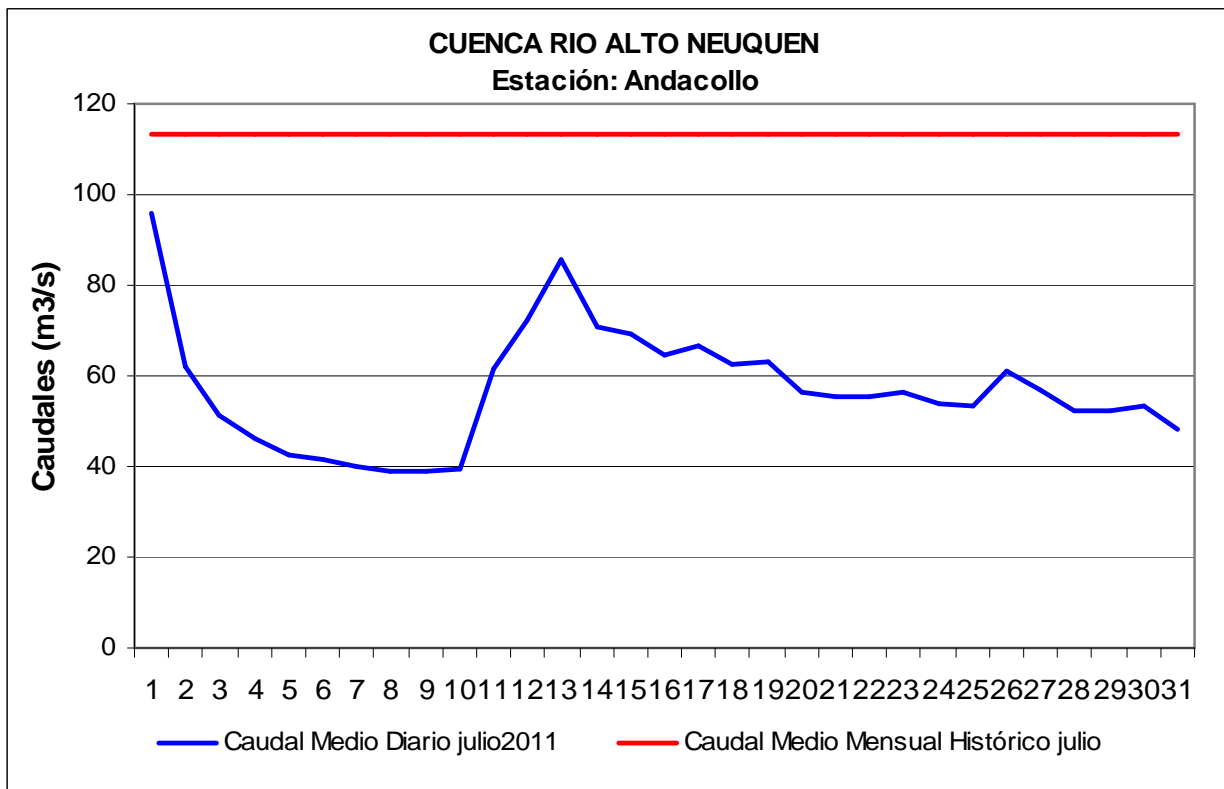
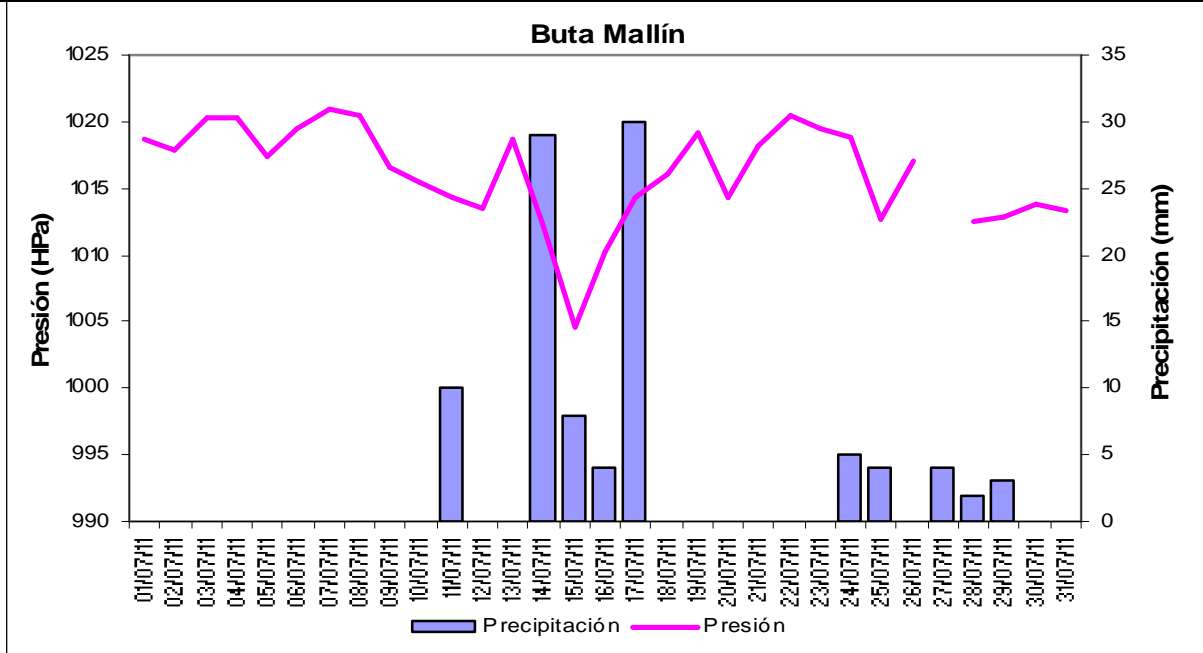
Acumulación de nieve. Evolución comparada con años anteriores

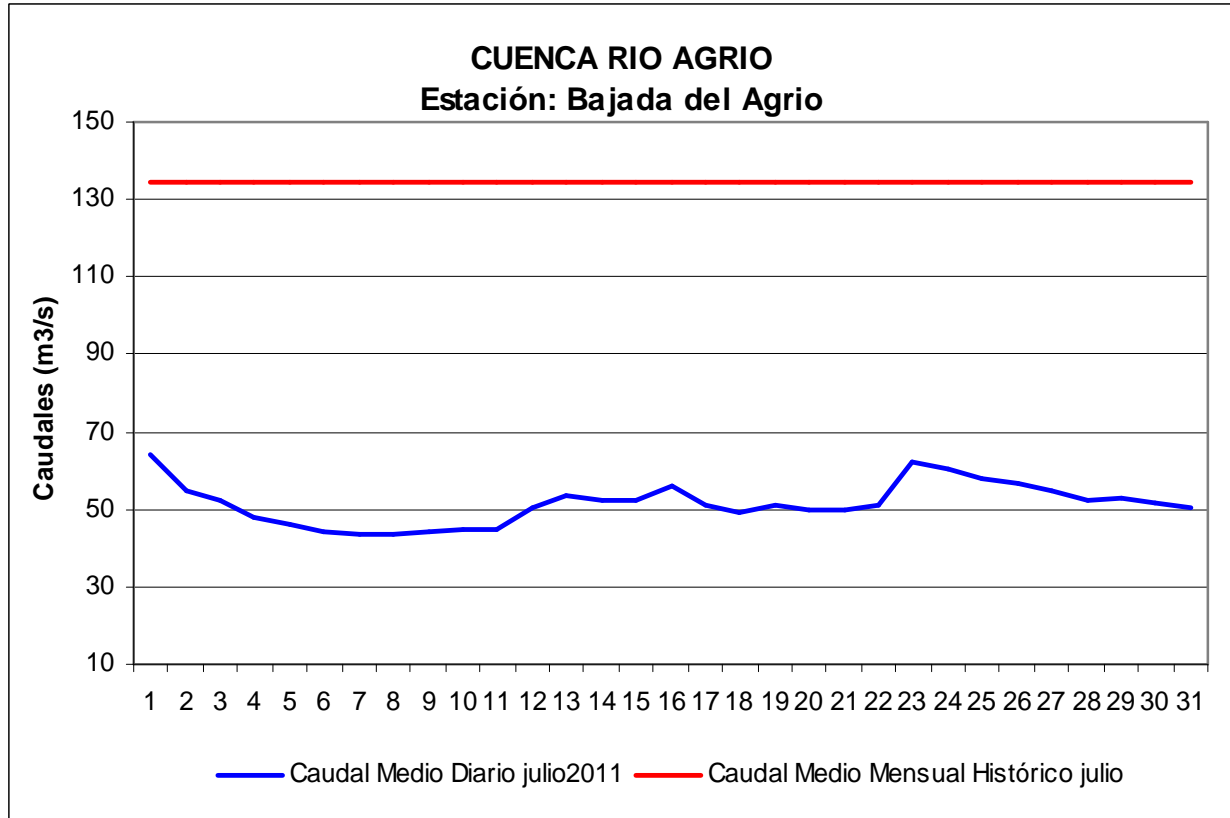
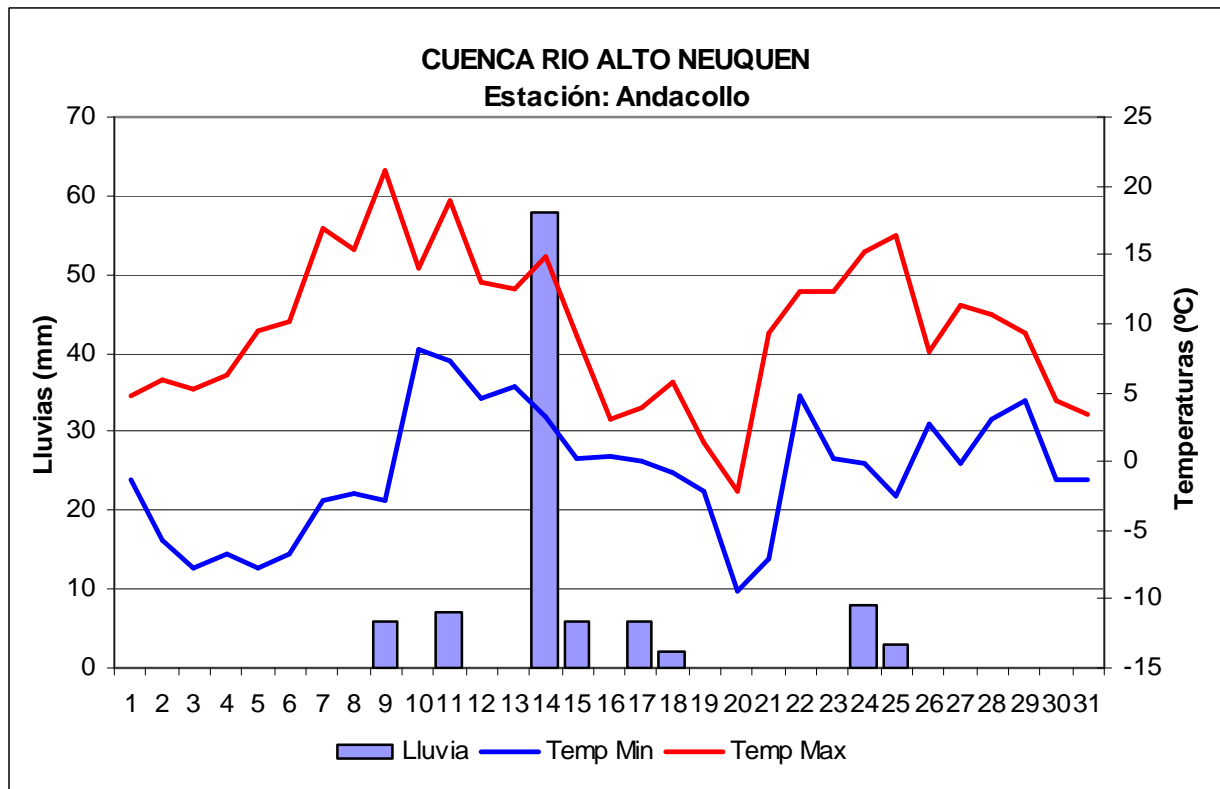


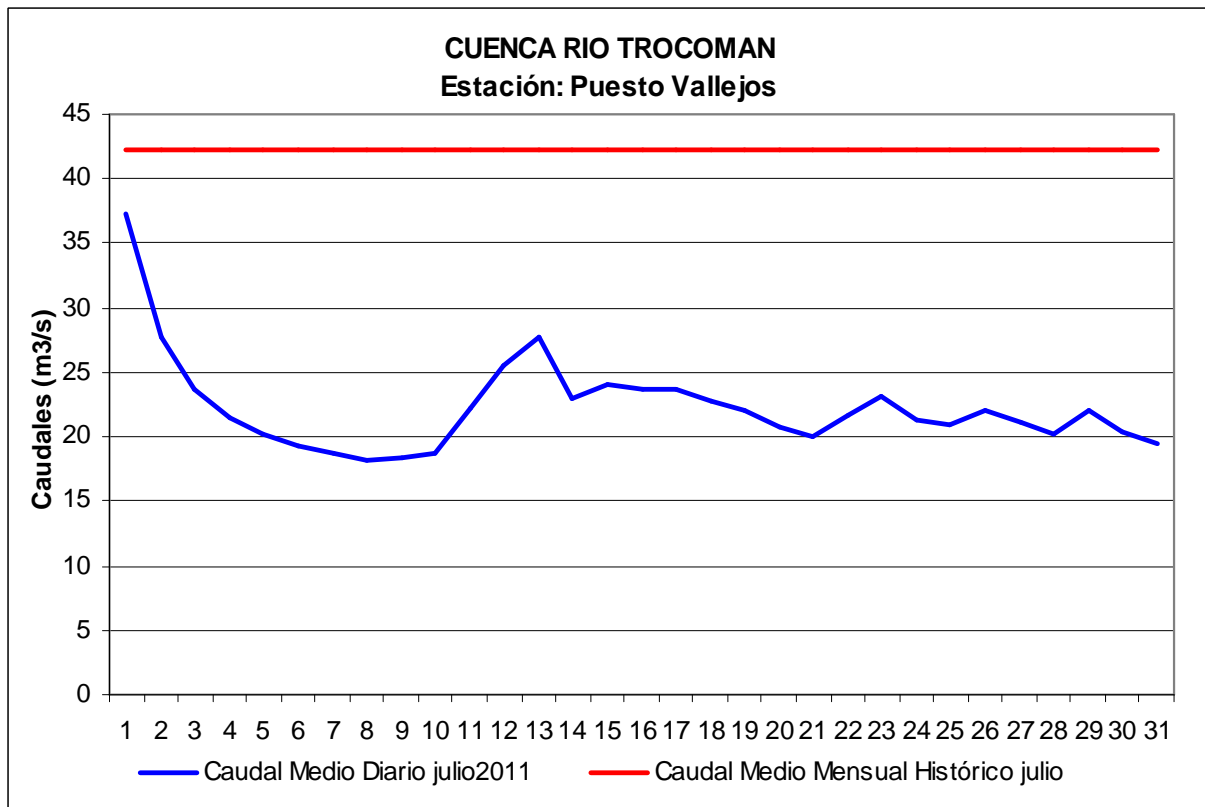
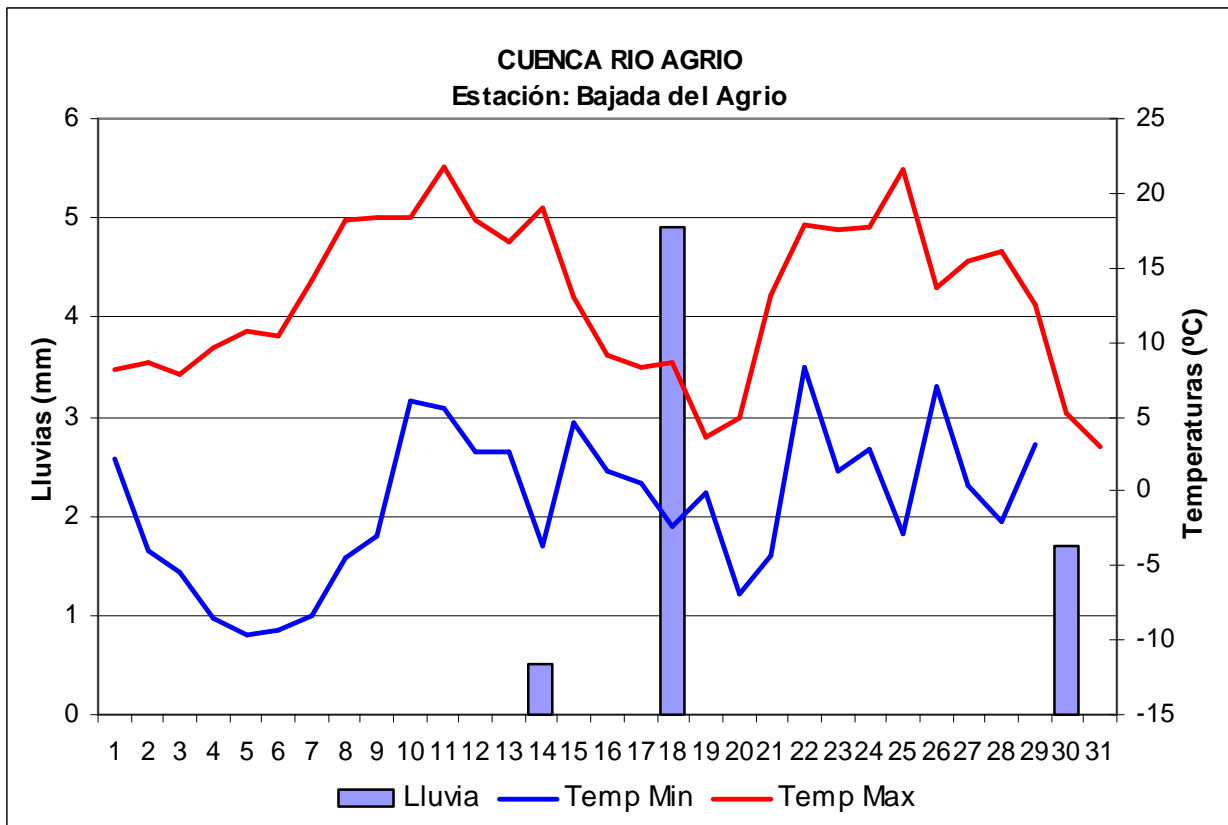


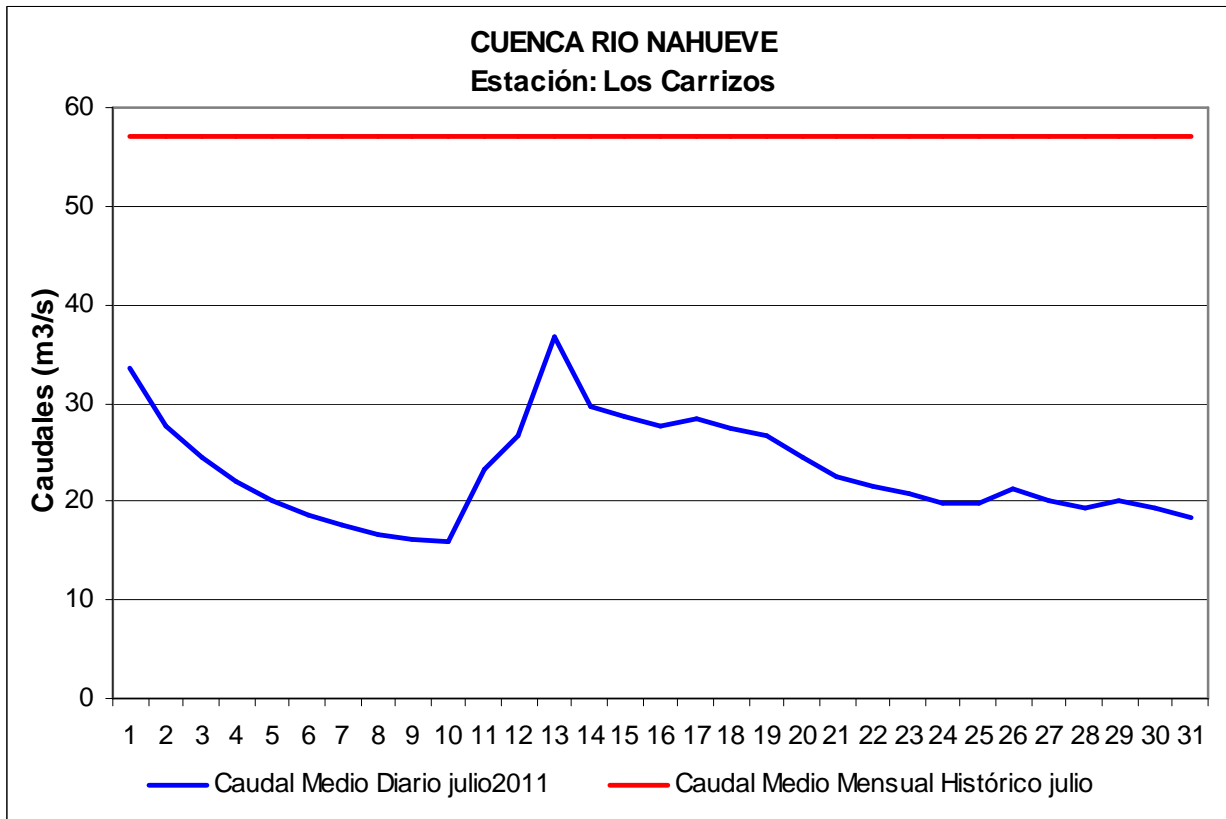
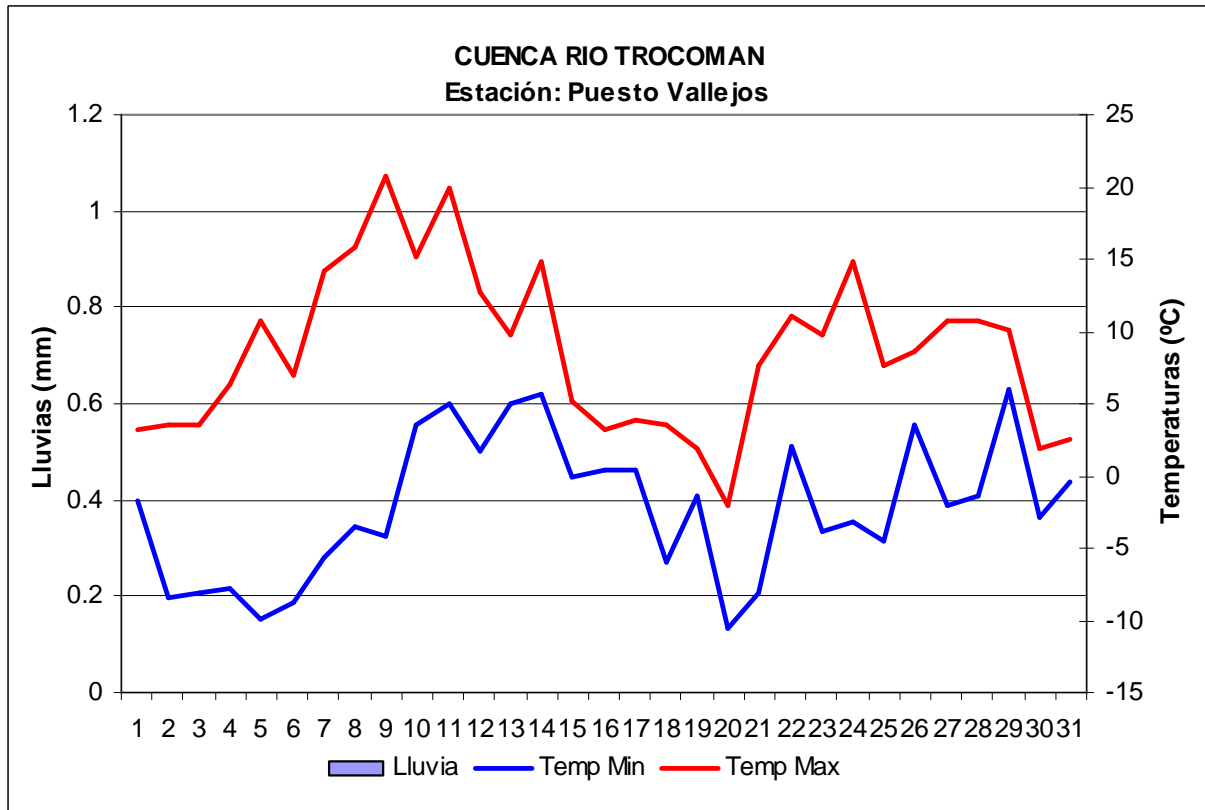
Gráficos de precipitación y presión atmosférica

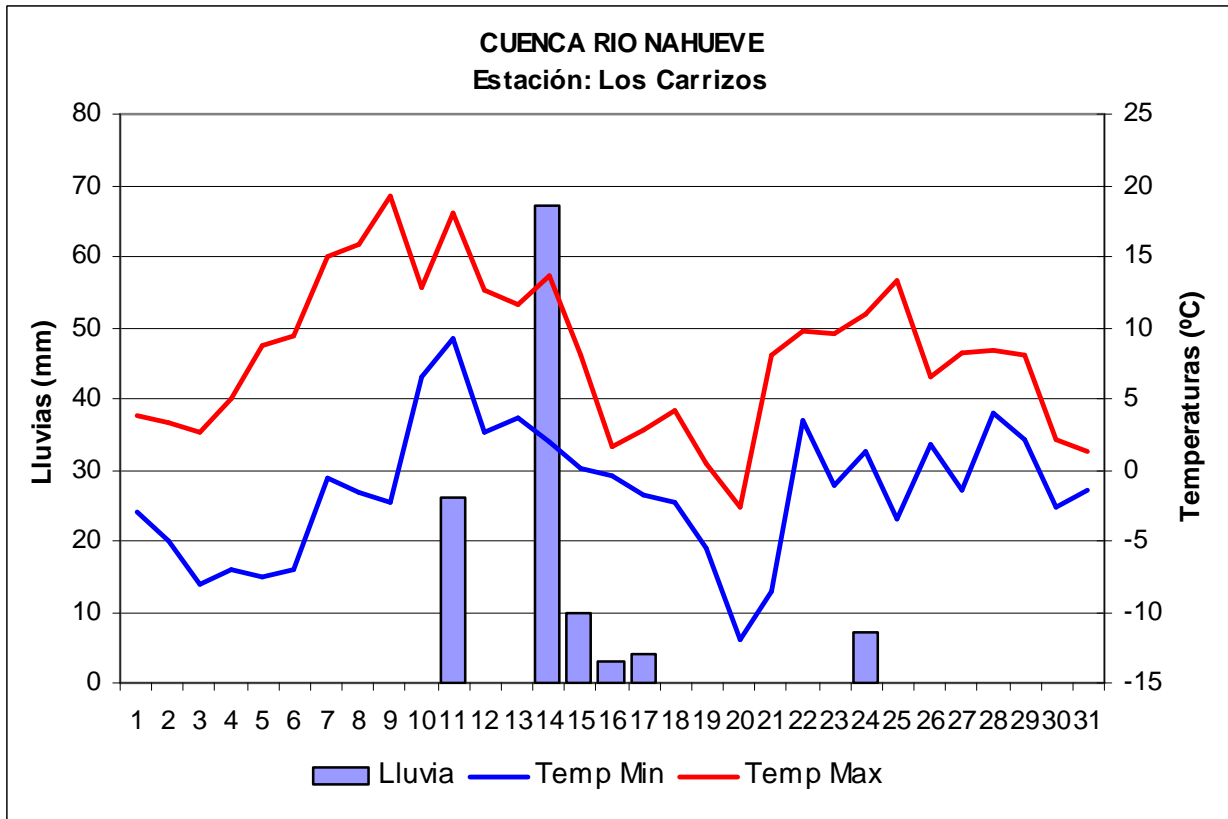




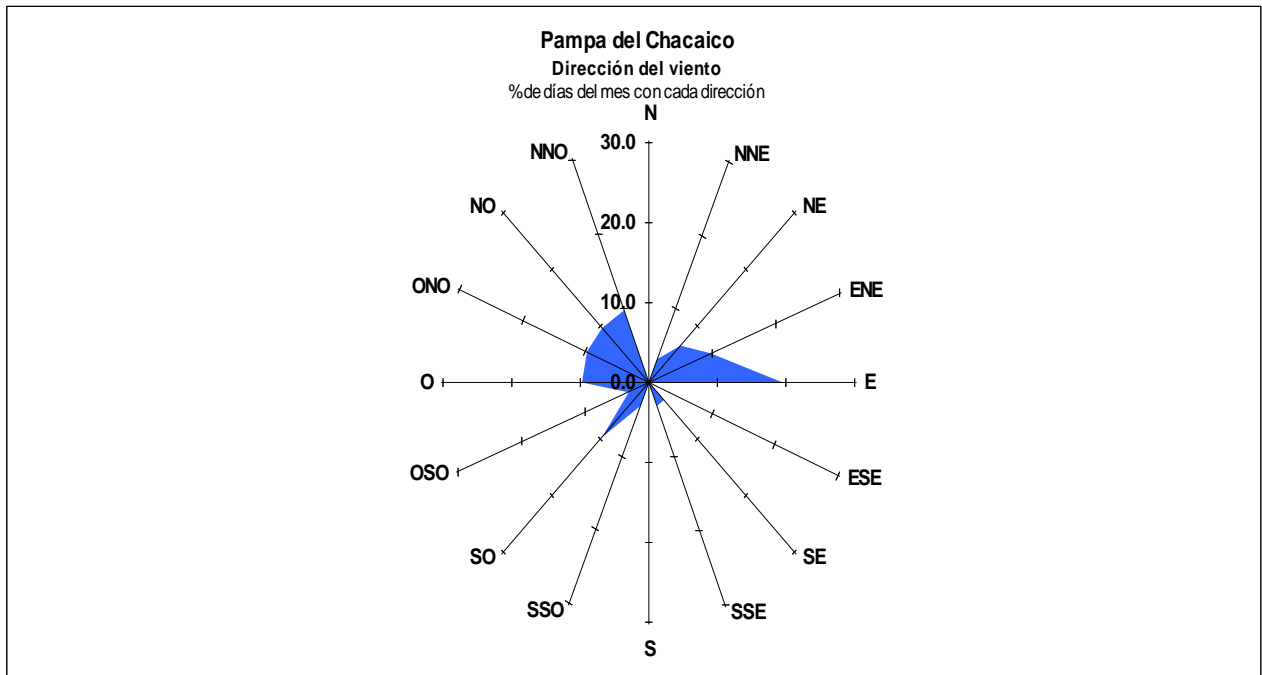






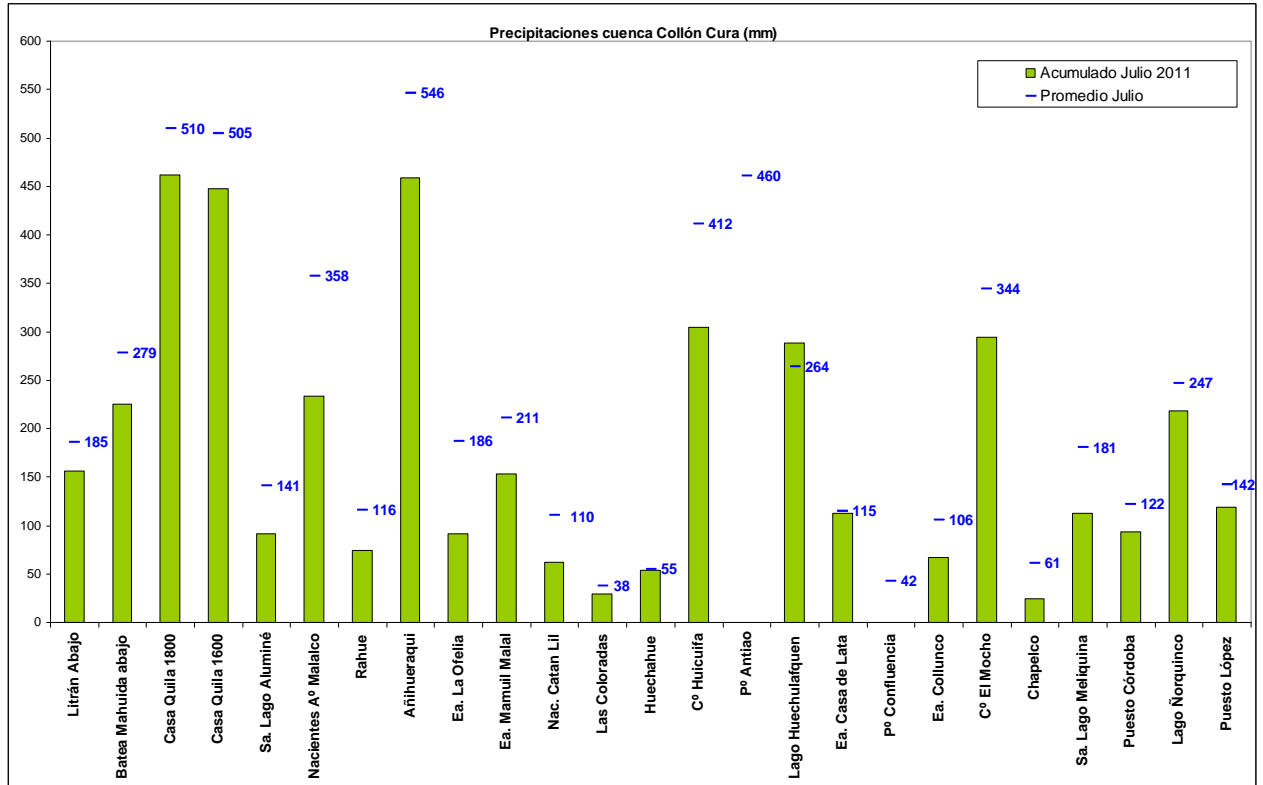


Gráficos de dirección predominante del viento

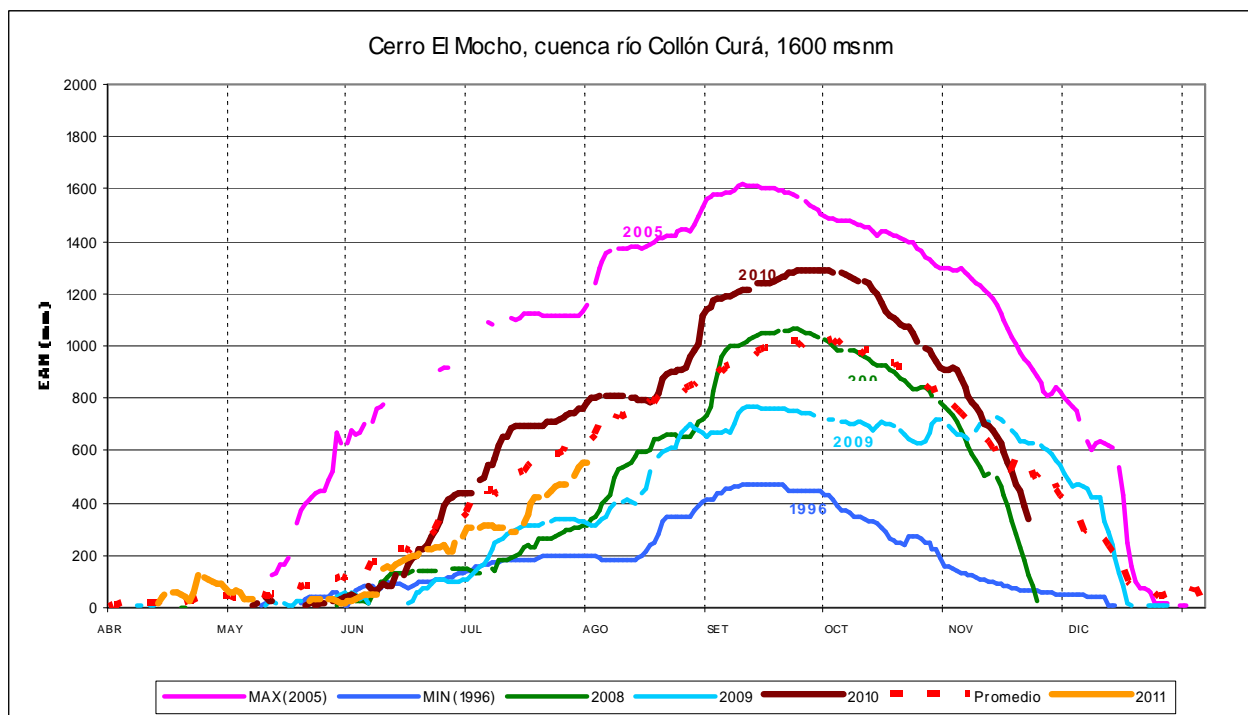


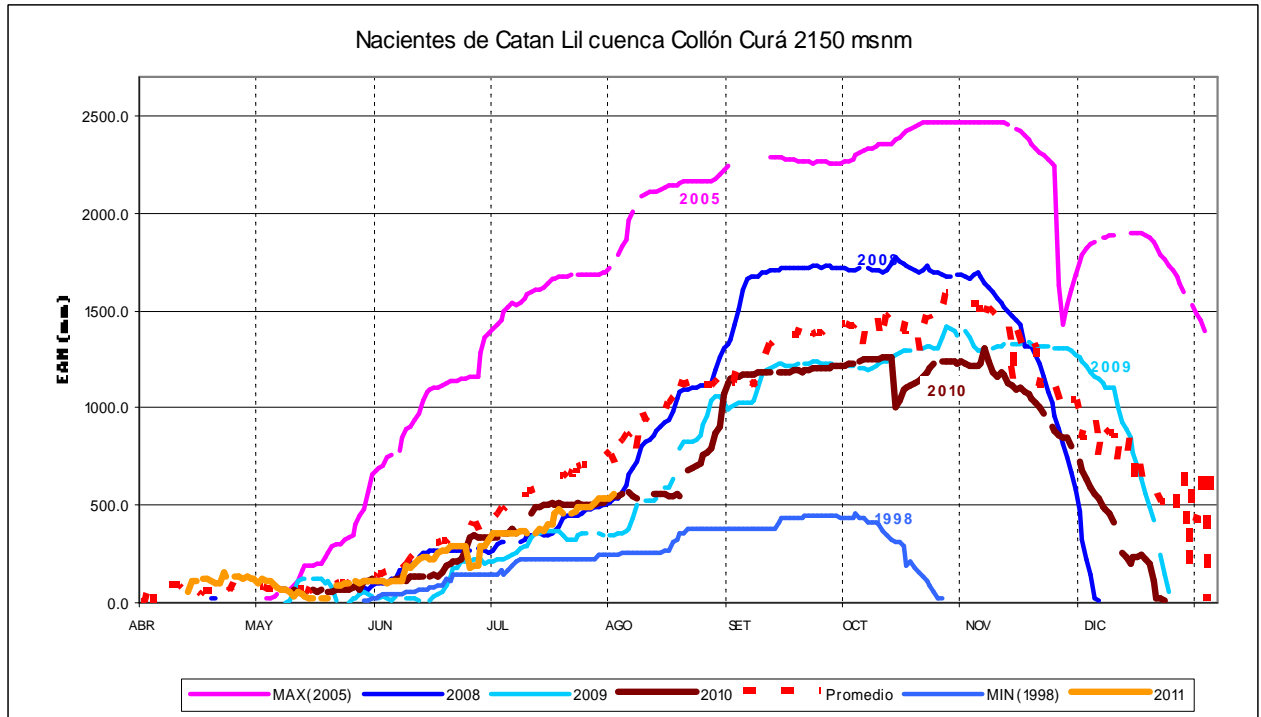
Subcuenca Collón Curá

Precipitaciones acumuladas mensuales. Comparación con los promedios históricos de acumulación mensual (Serie 1997 – 2011)

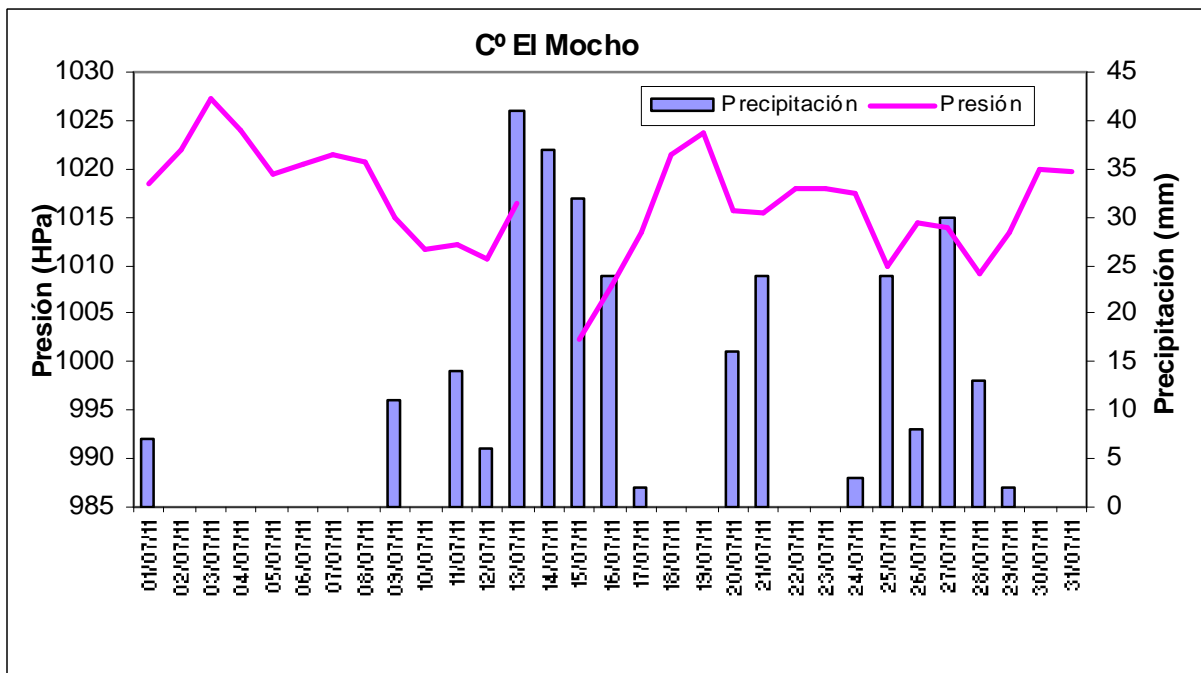


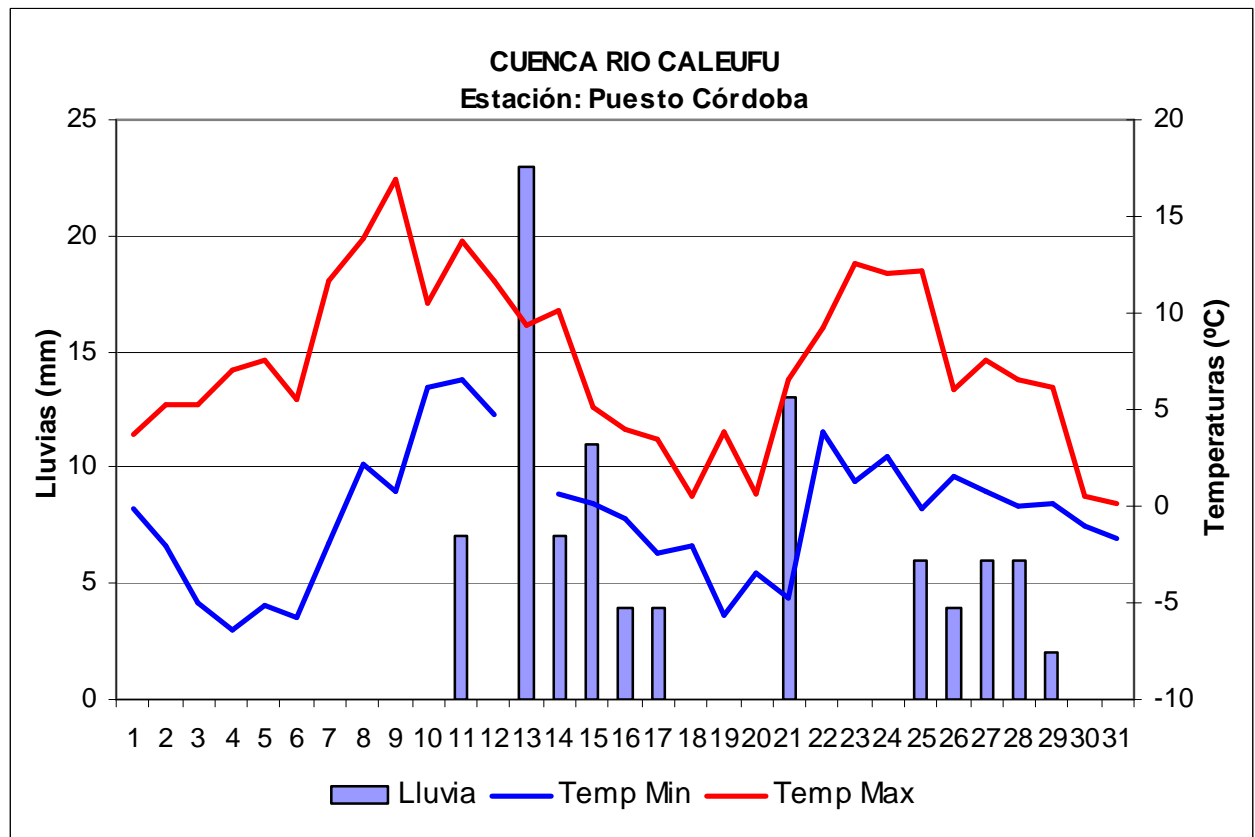
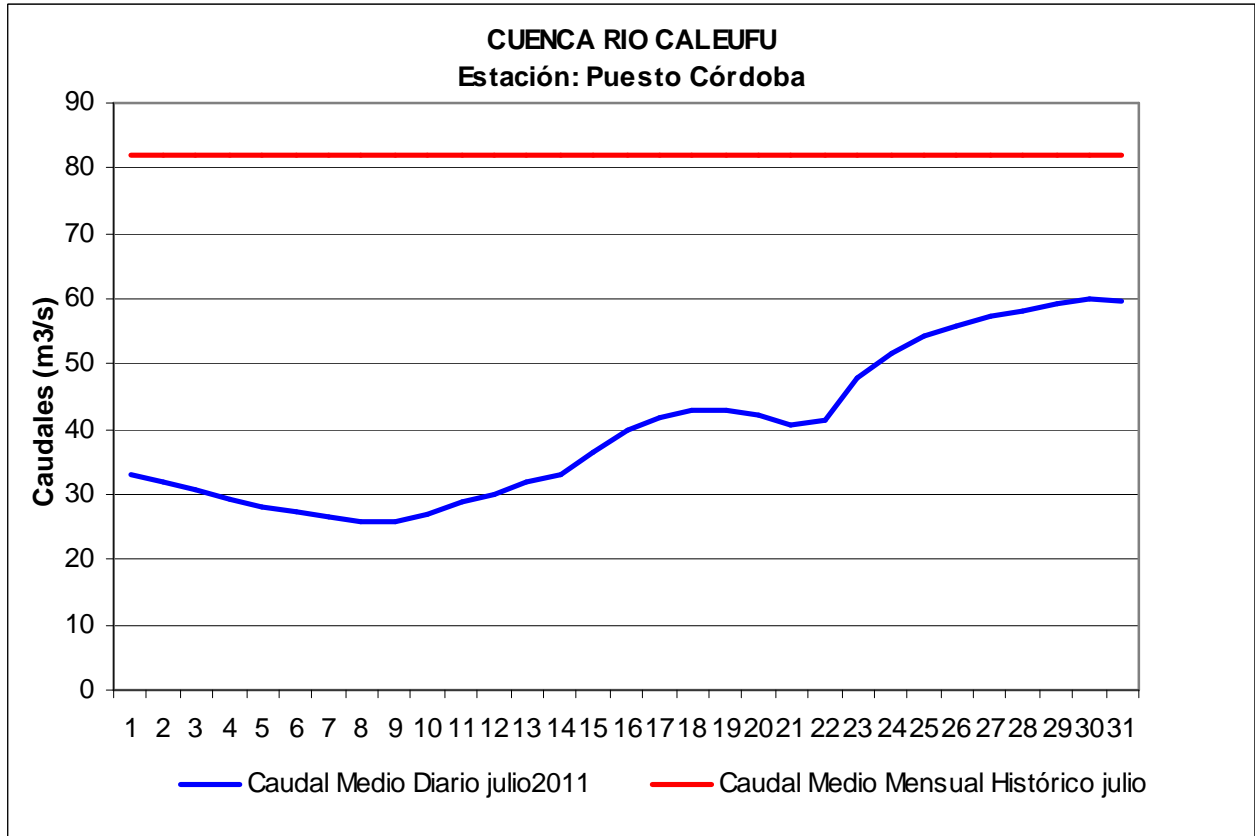
Acumulación de nieve. Evolución comparada con años anteriores

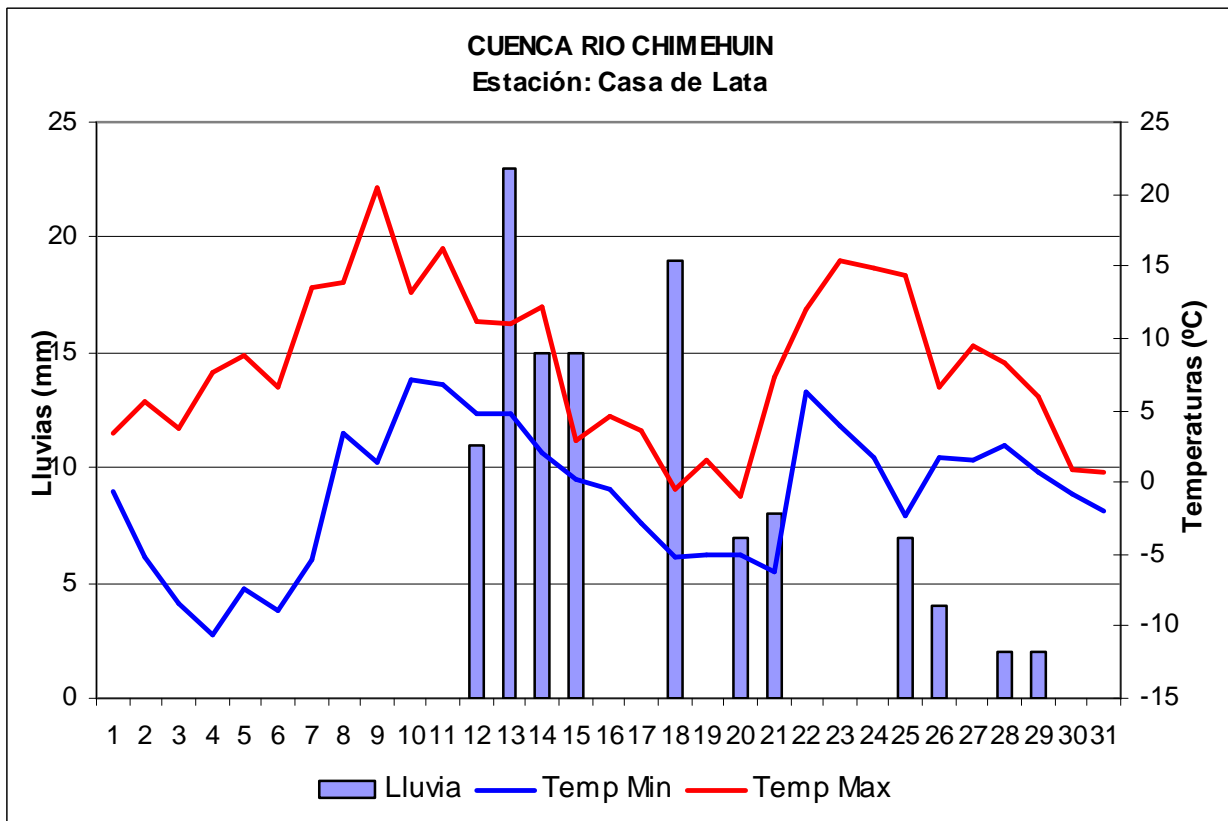
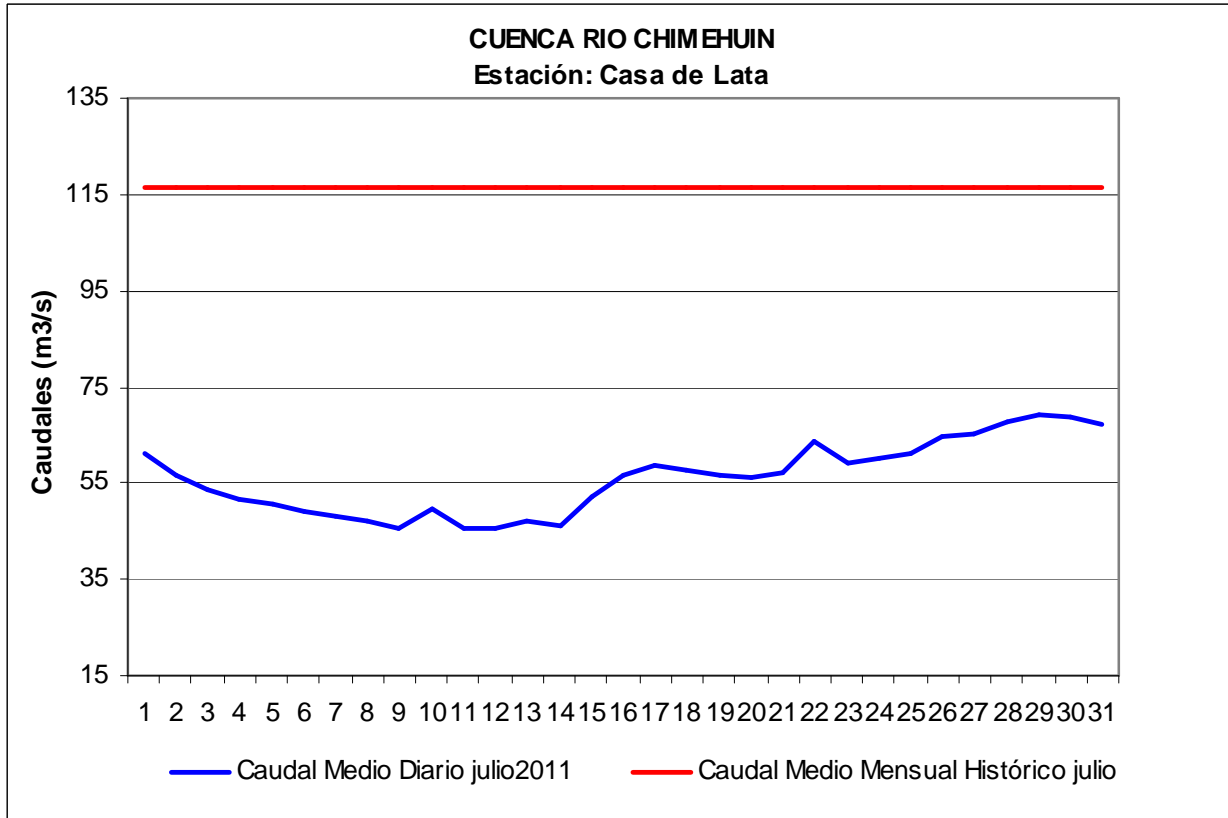


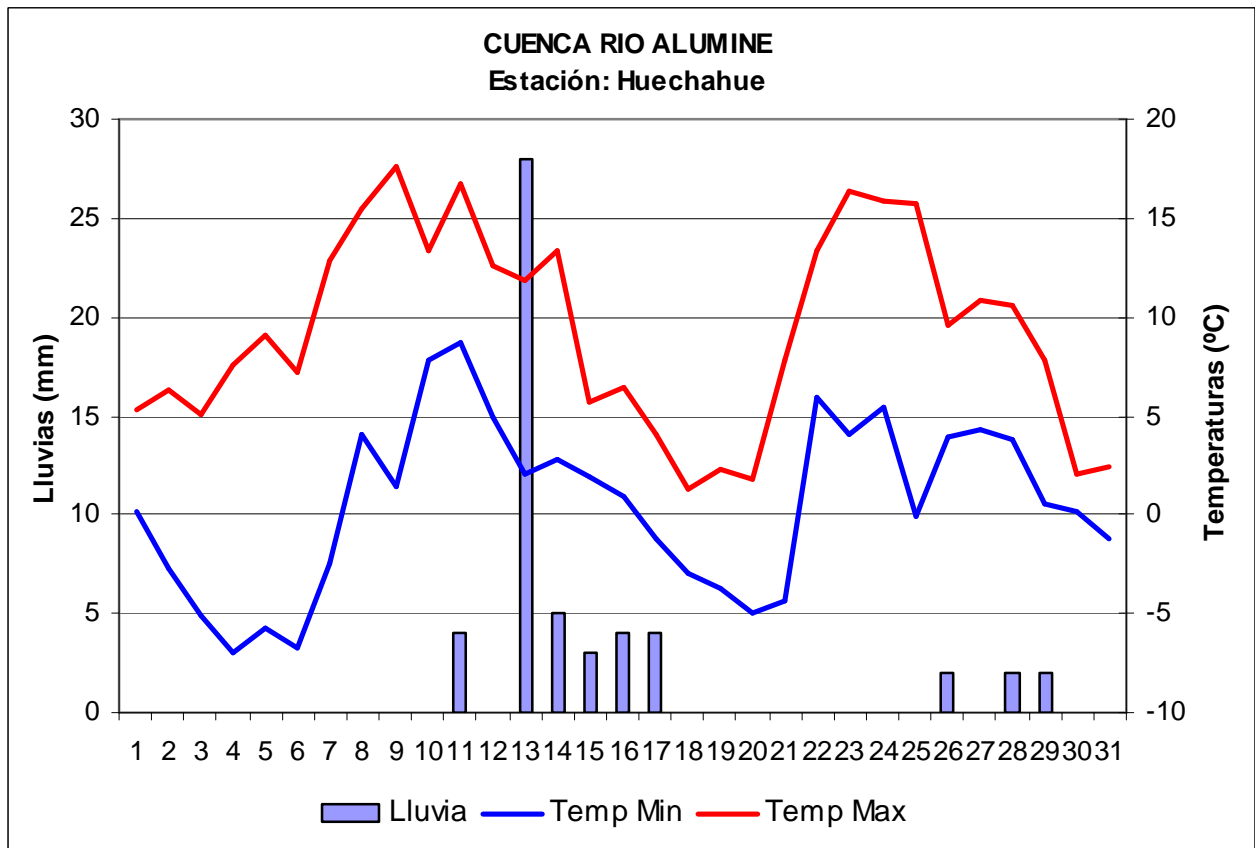
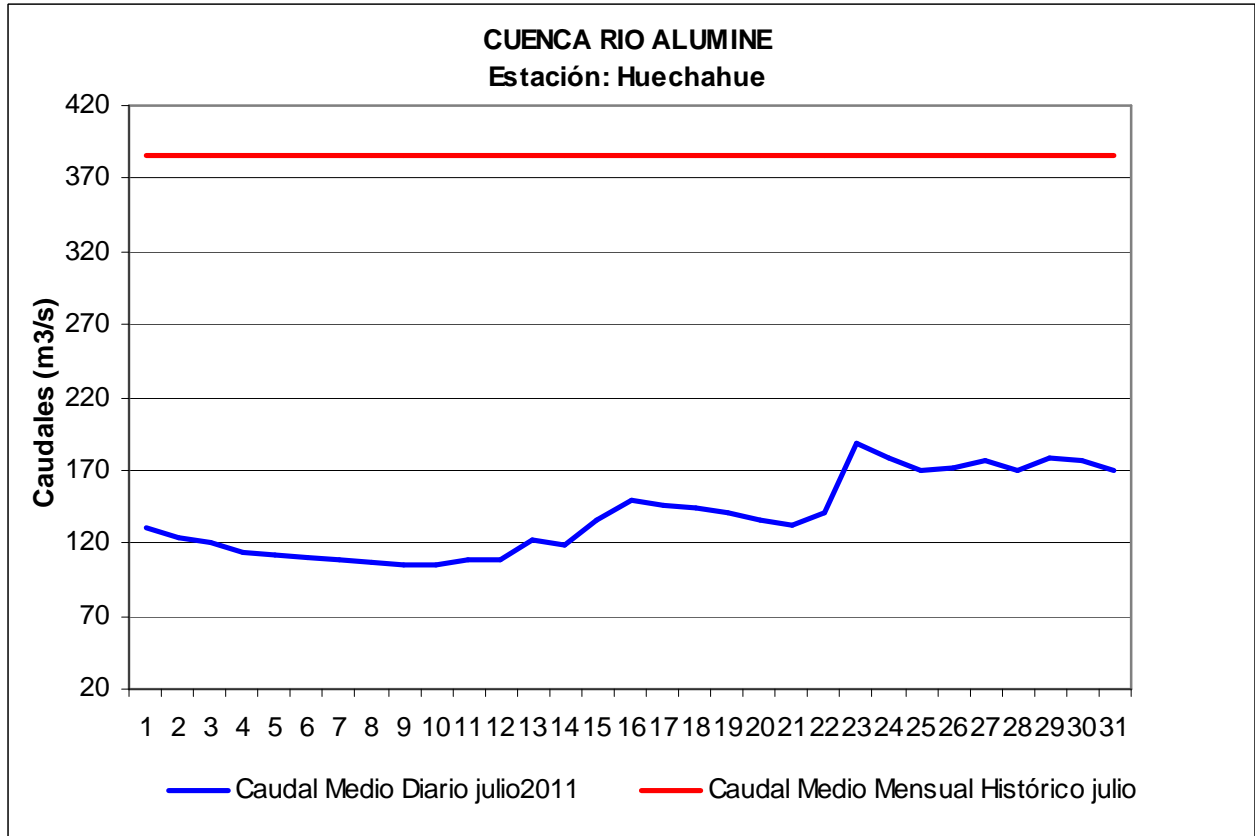


Gráficos de precipitación y presión atmosférica

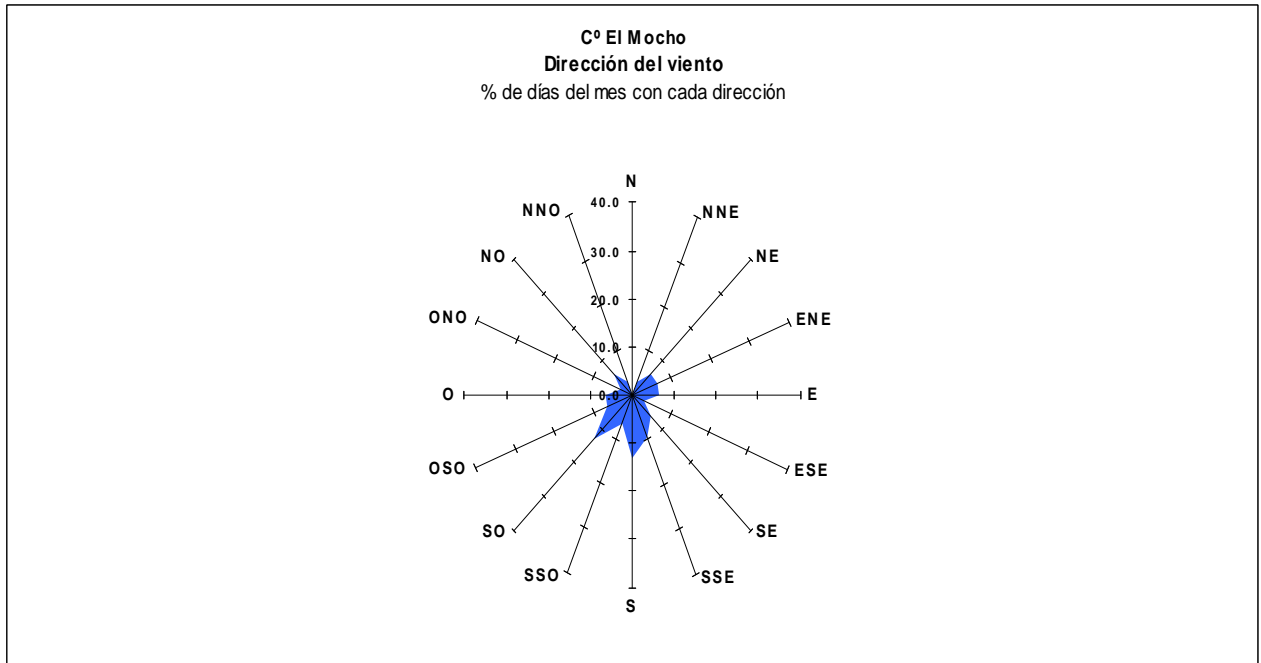




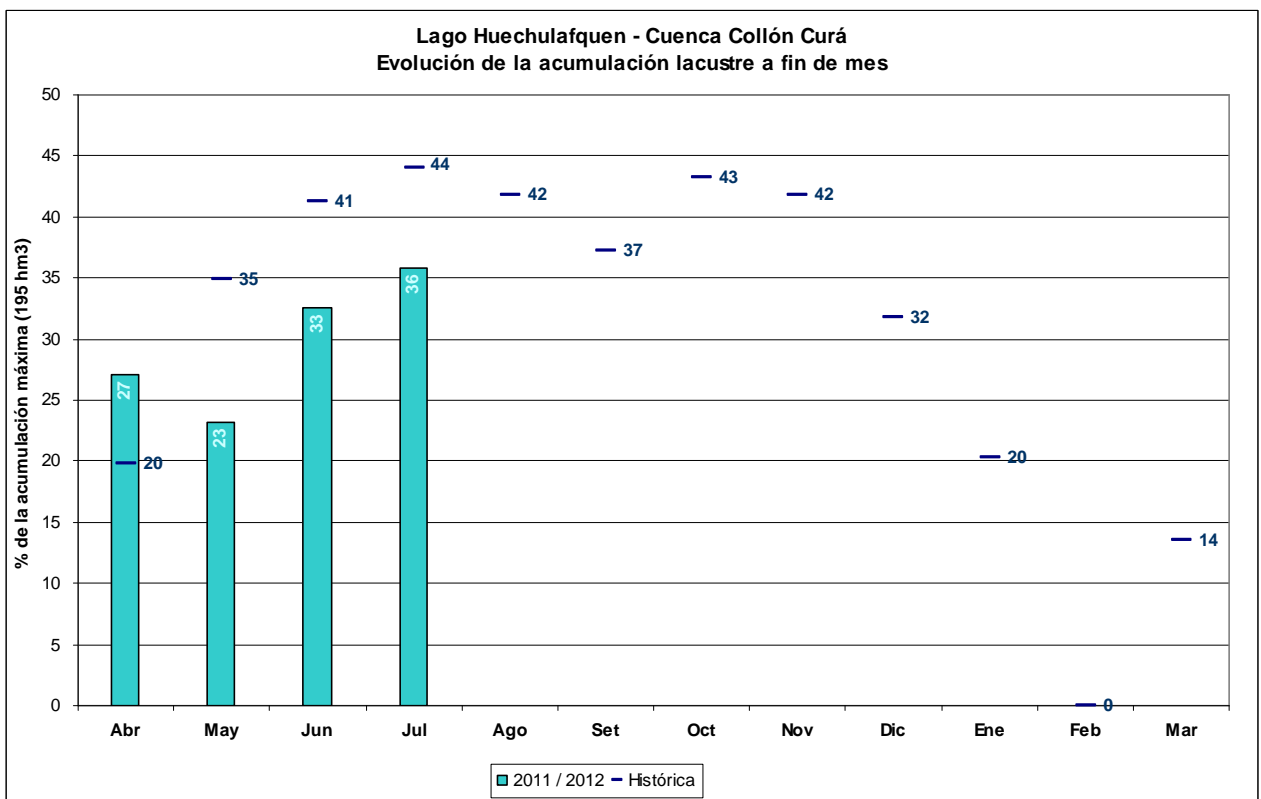


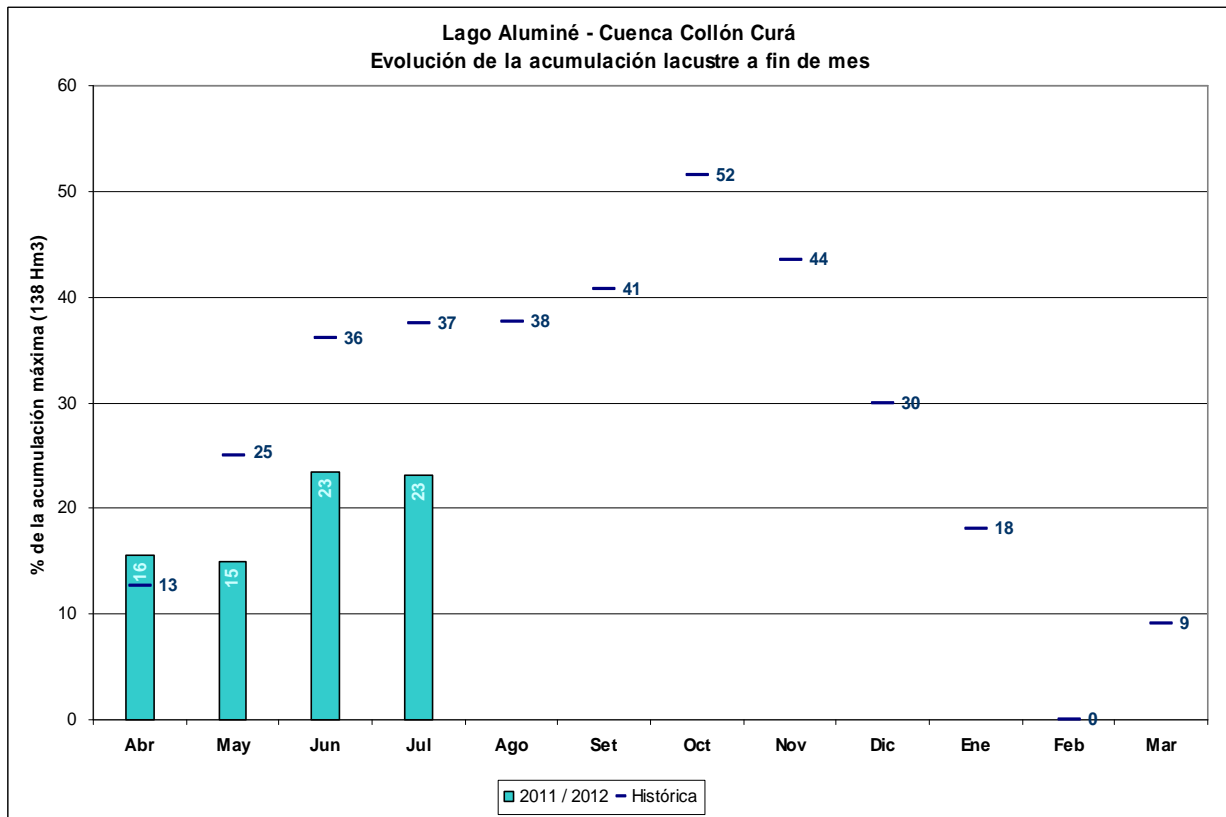
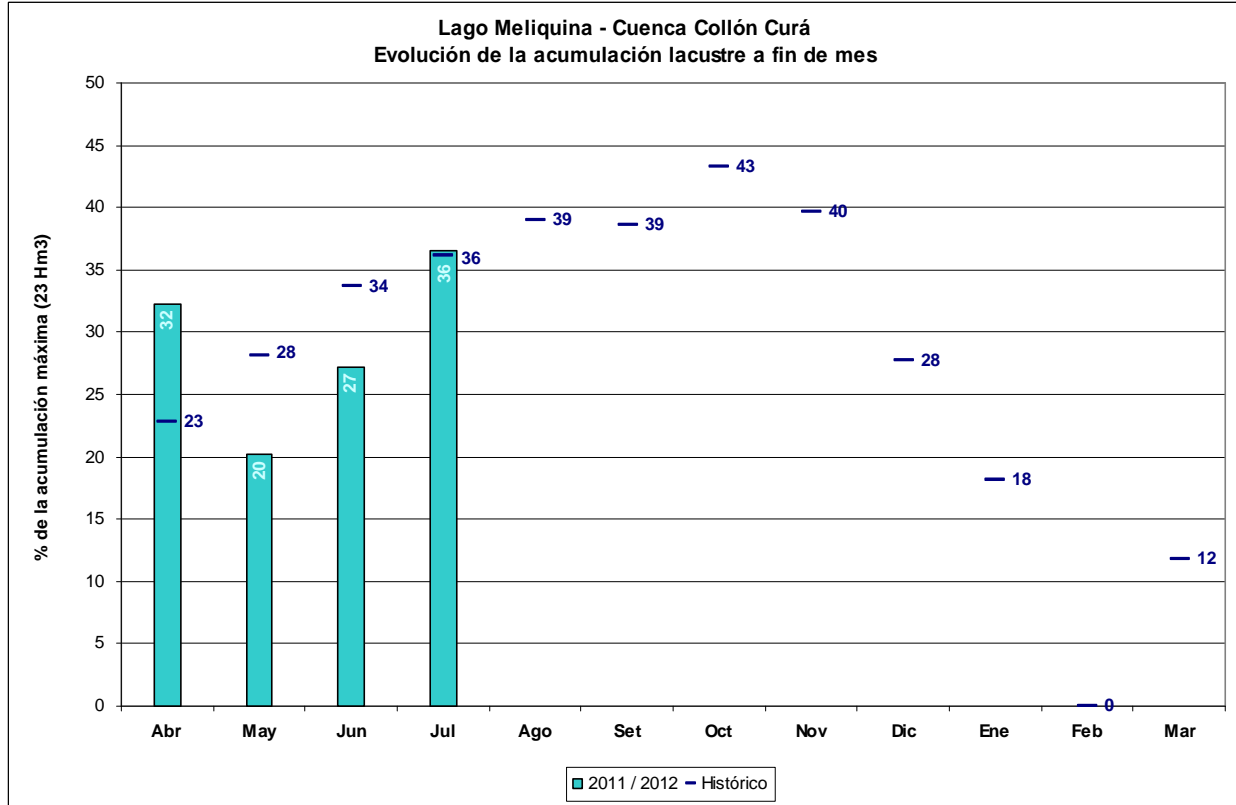


Gráficos de dirección predominante del viento



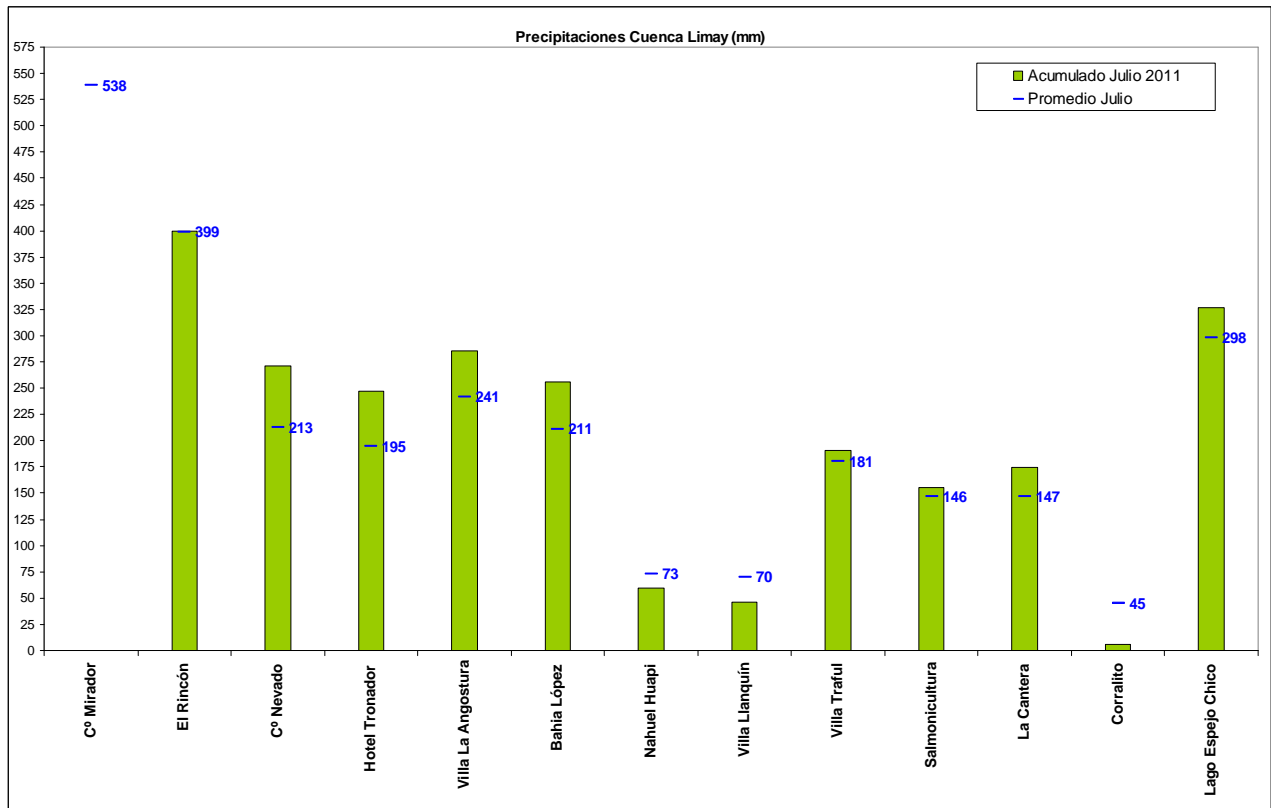
Acumulación lacustre



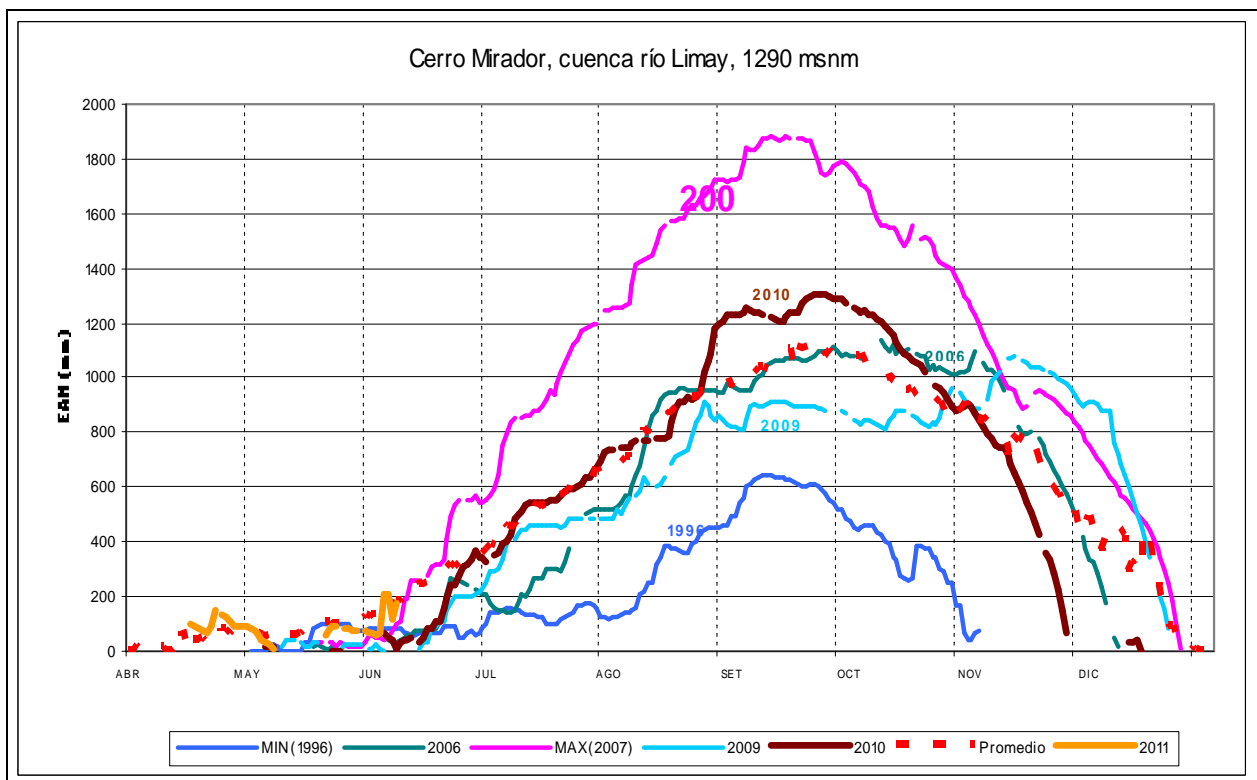


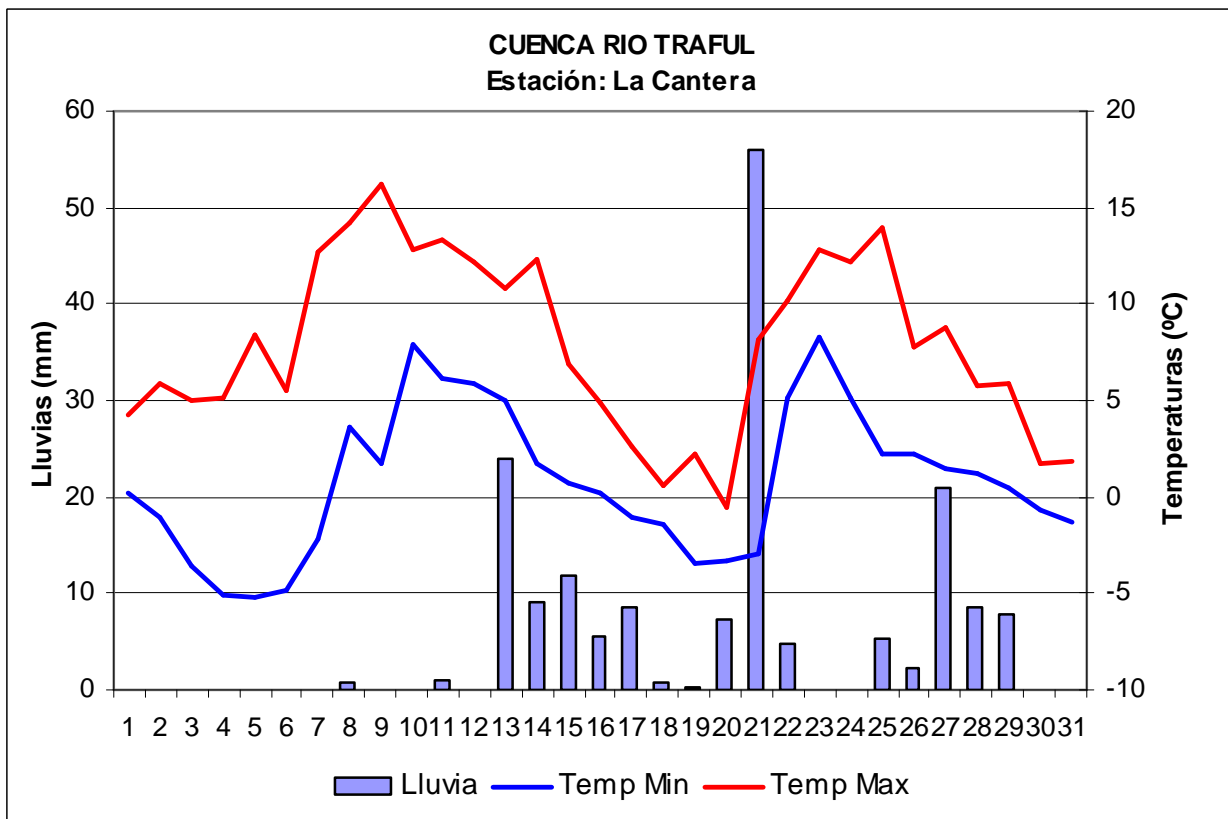
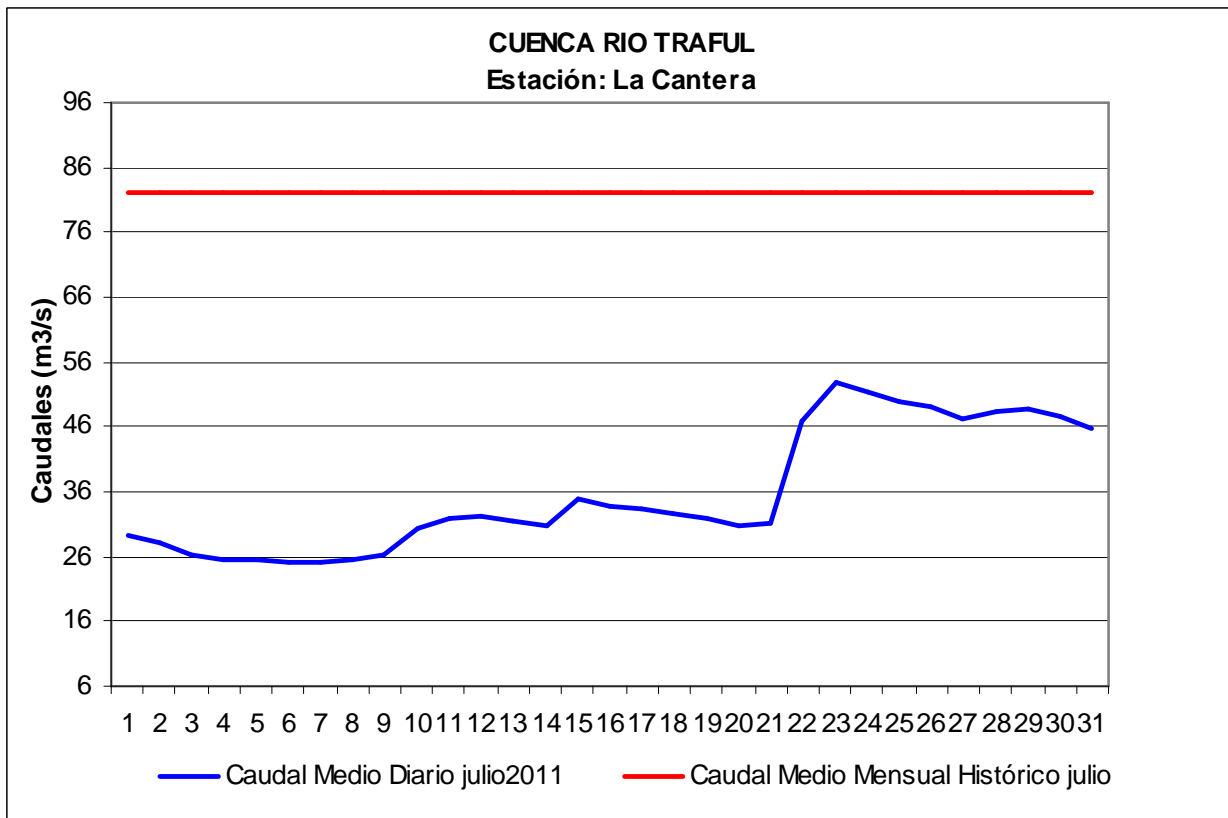
Subcuenca Limay

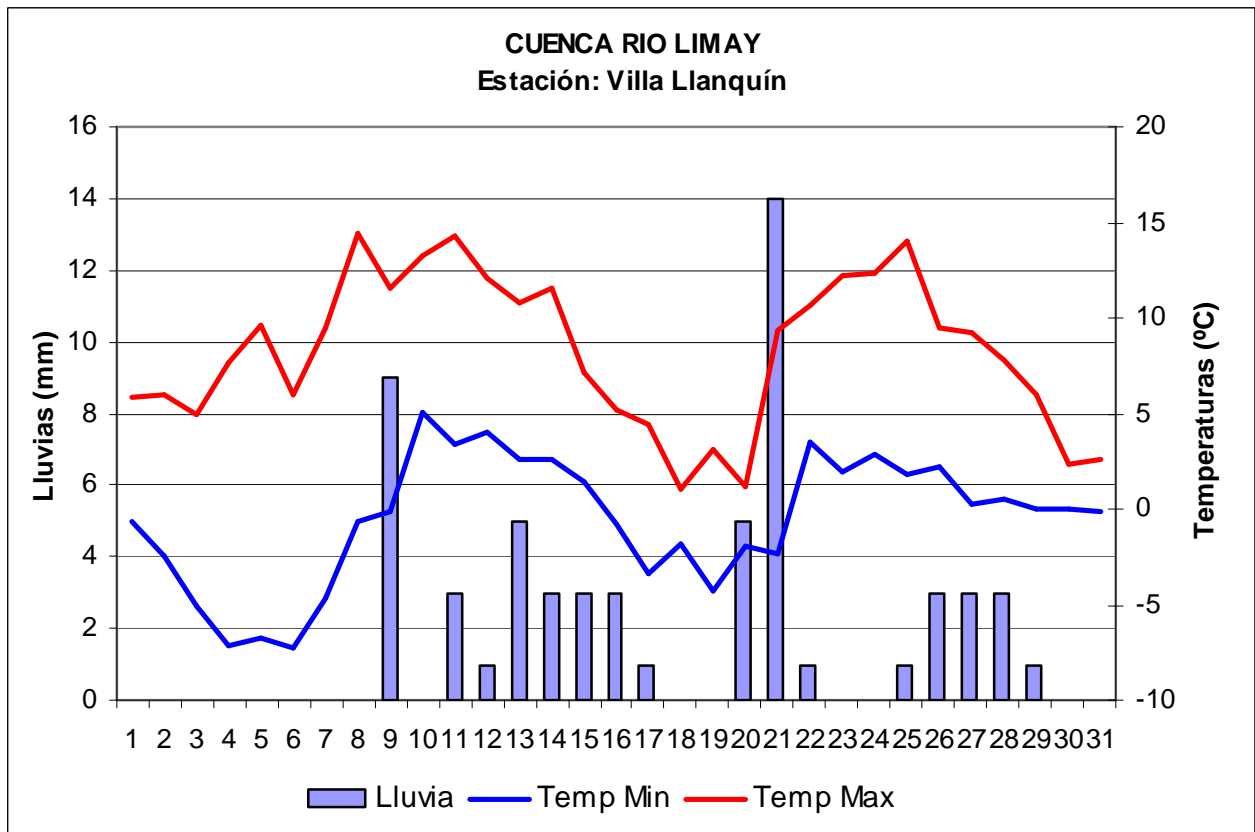
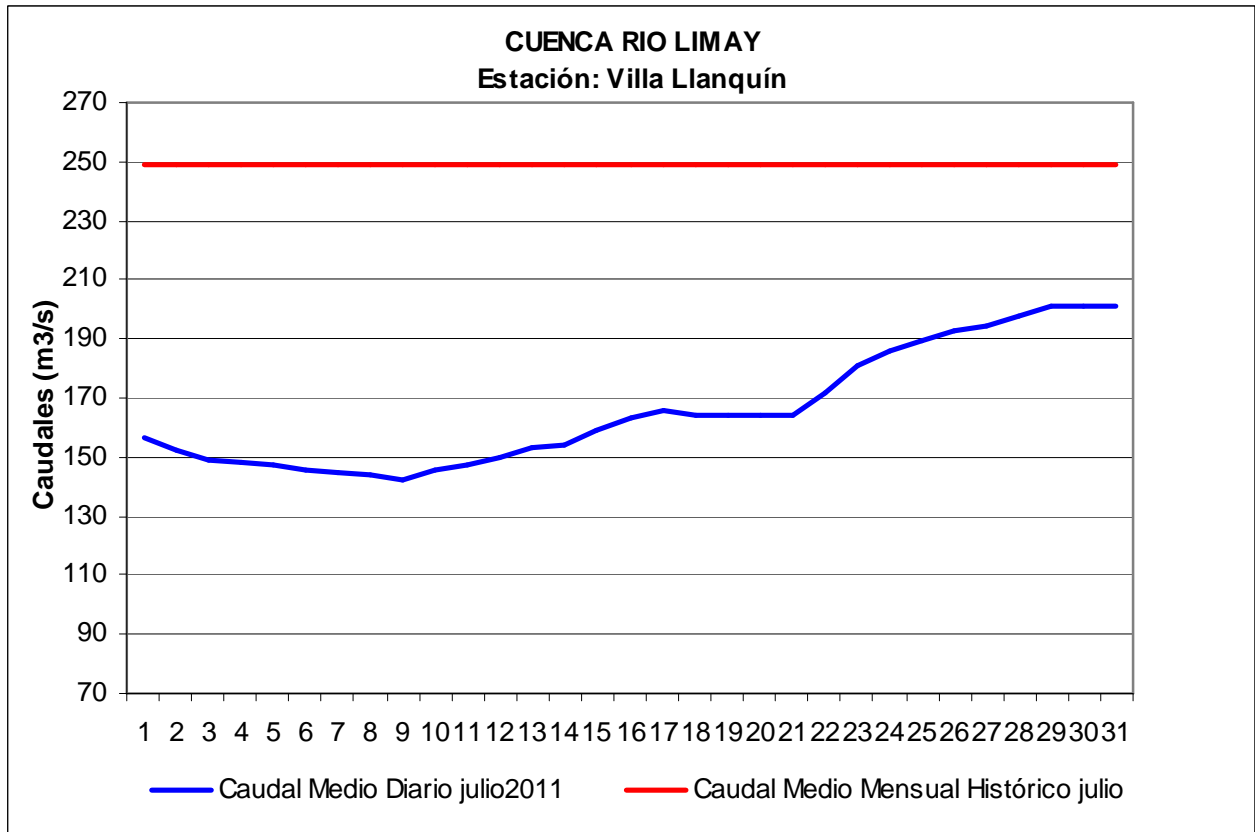
Precipitaciones acumuladas mensuales. Comparación con los promedios históricos de acumulación mensual (Serie 1997 – 2011)



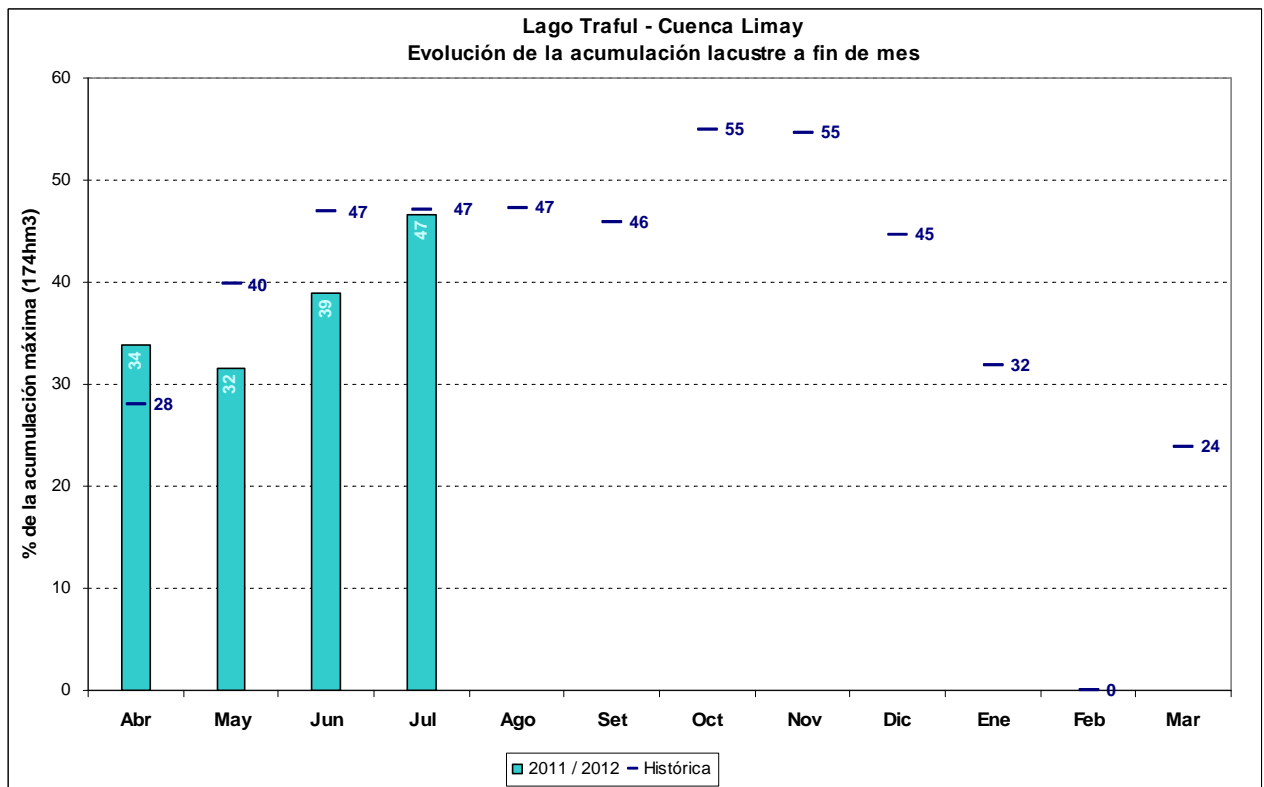
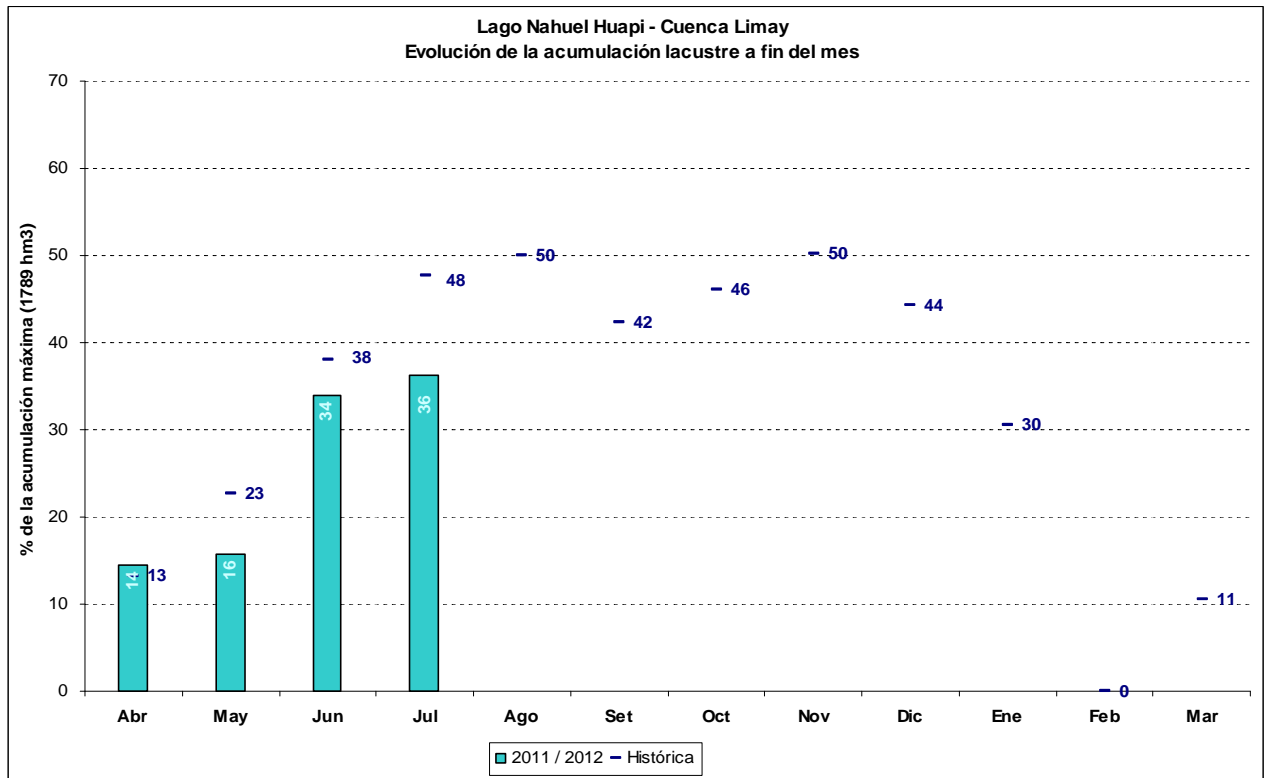
Acumulación de nieve. Evolución comparada con años anteriores







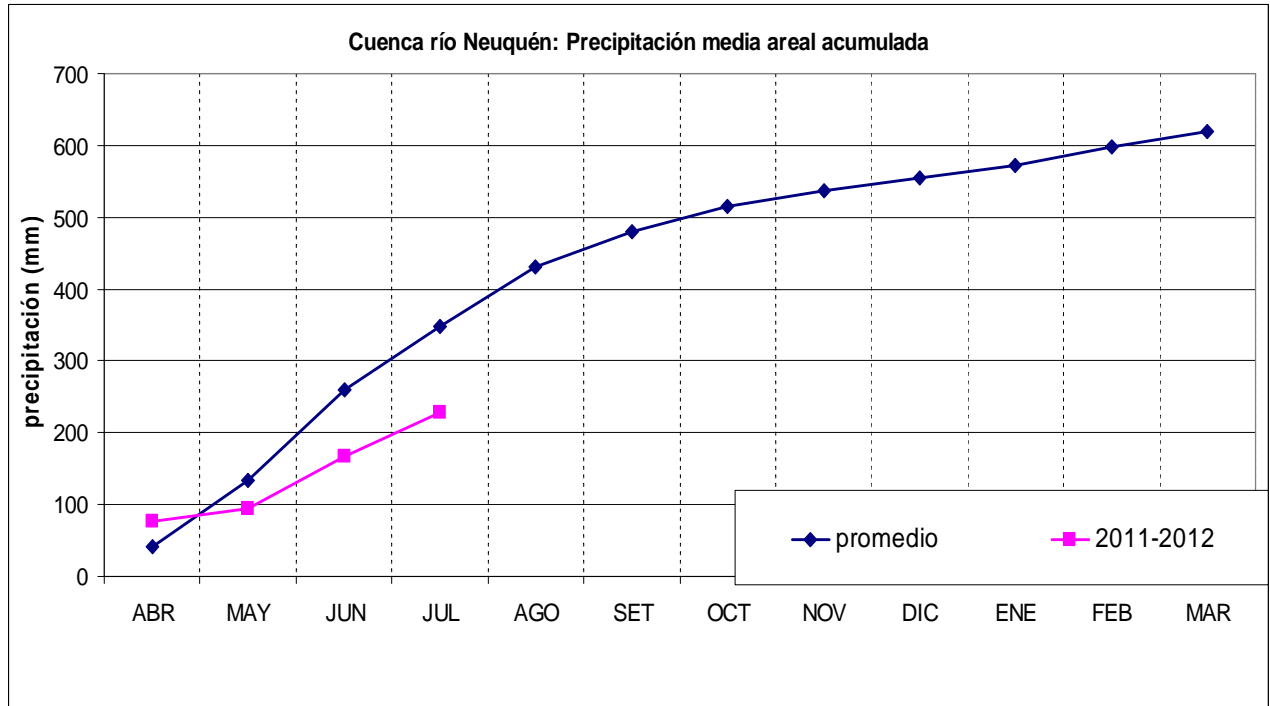
Acumulación lacustre



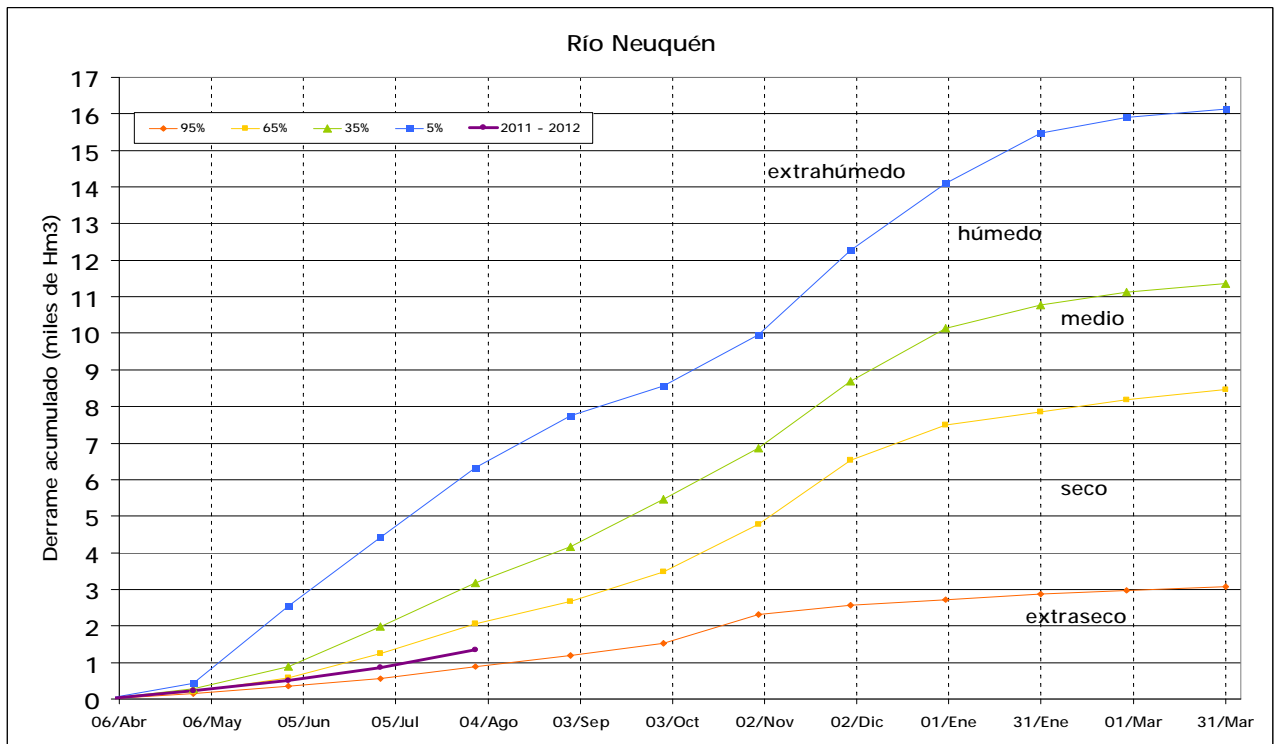
1.2.2 Análisis de precipitación y derrame por subcuenca

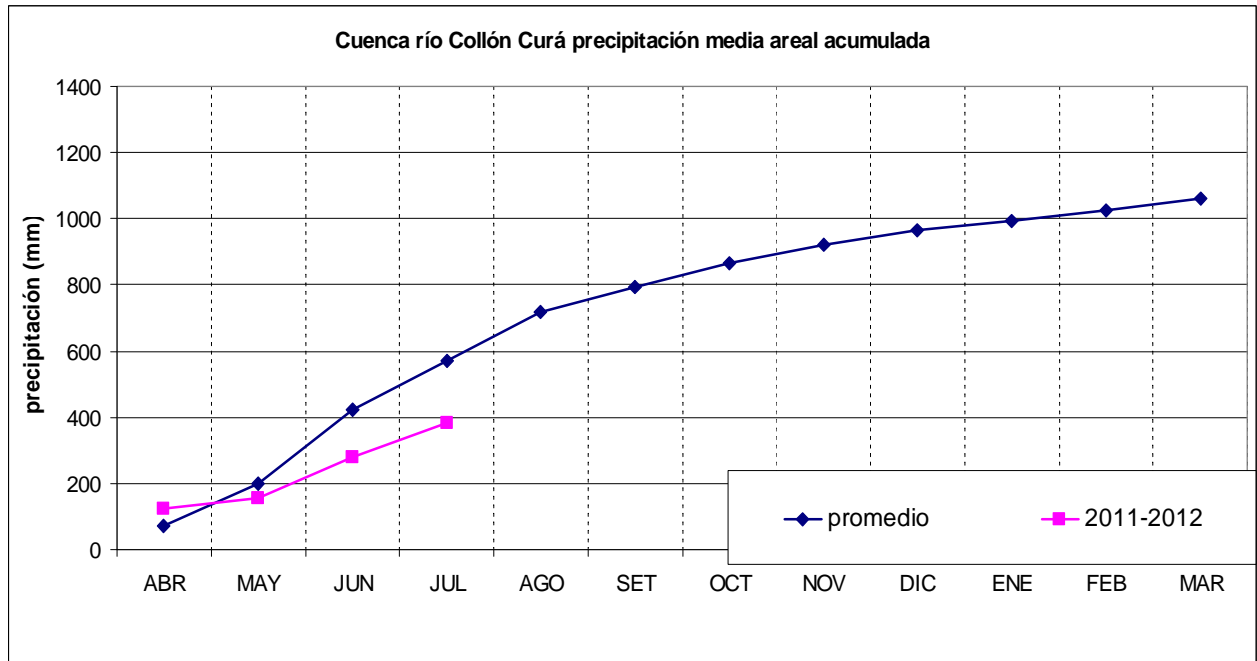
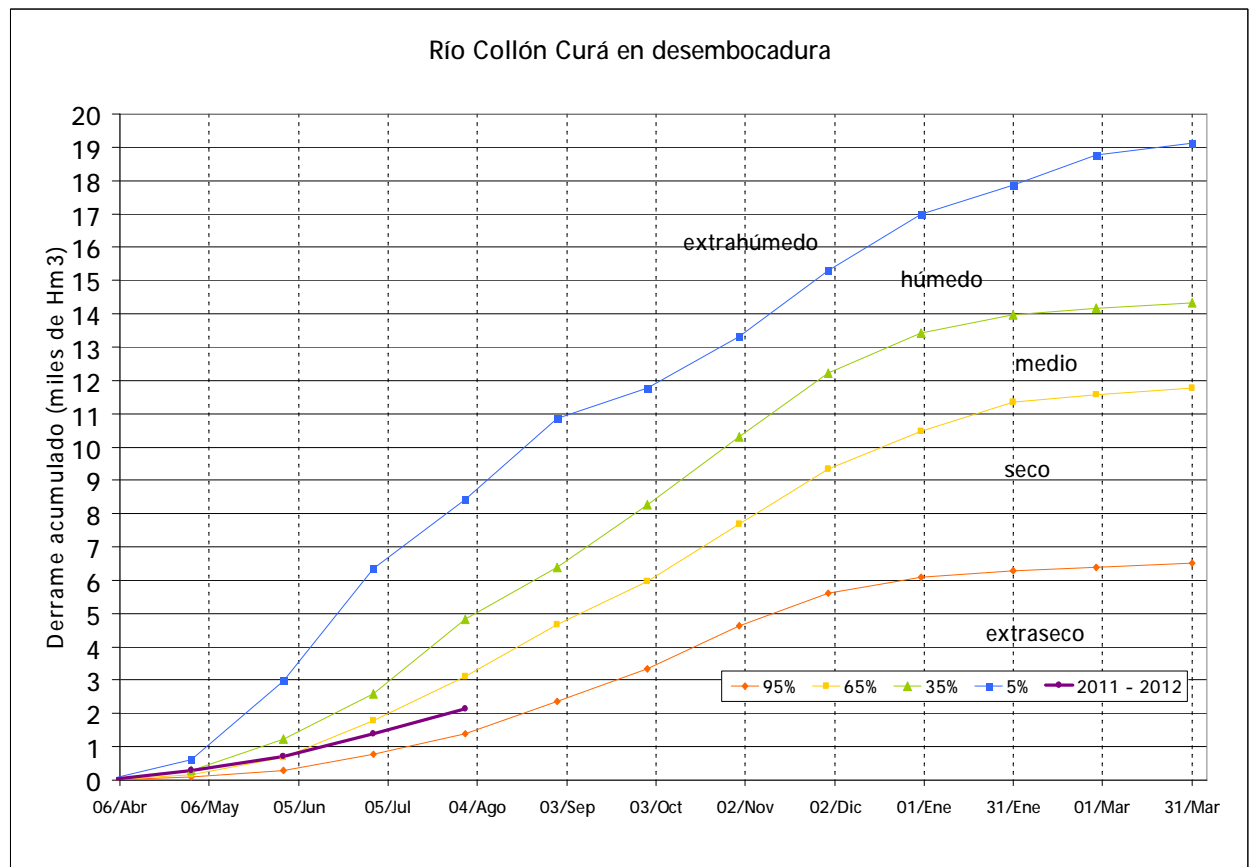
Subcuenca Neuquén

Precipitación Media Areal del Mes

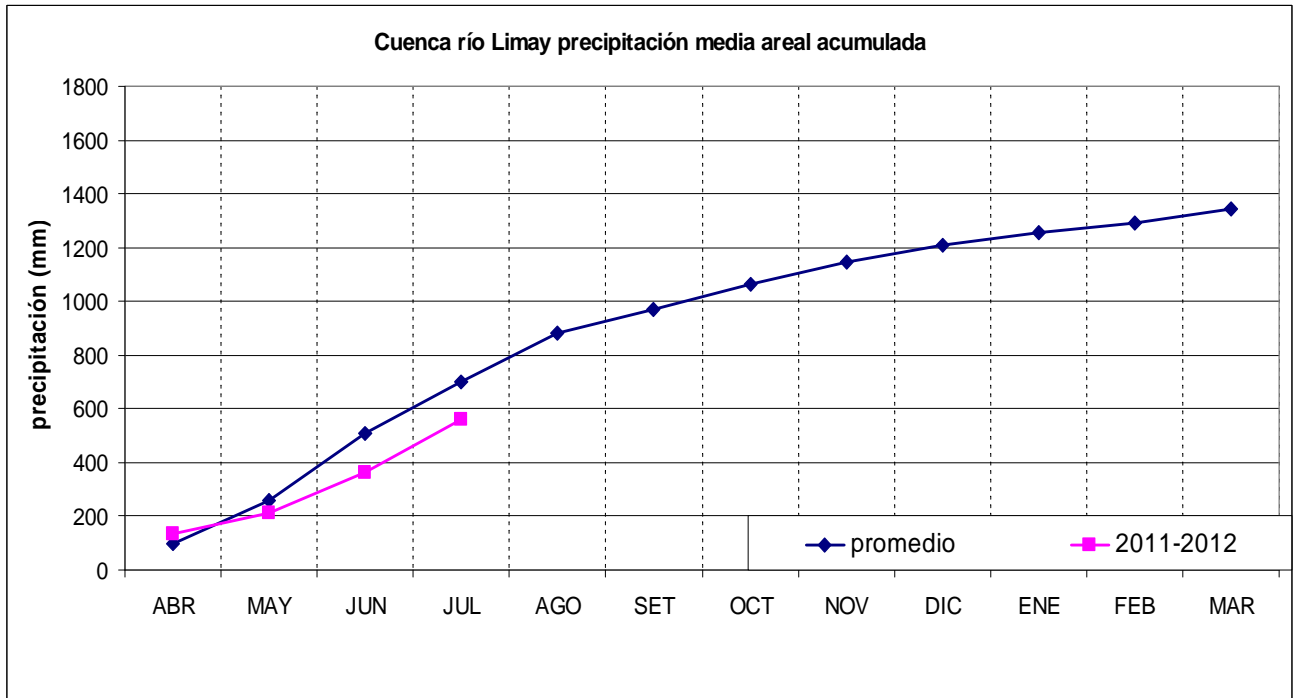


Clasificación hidrológica del derrame:

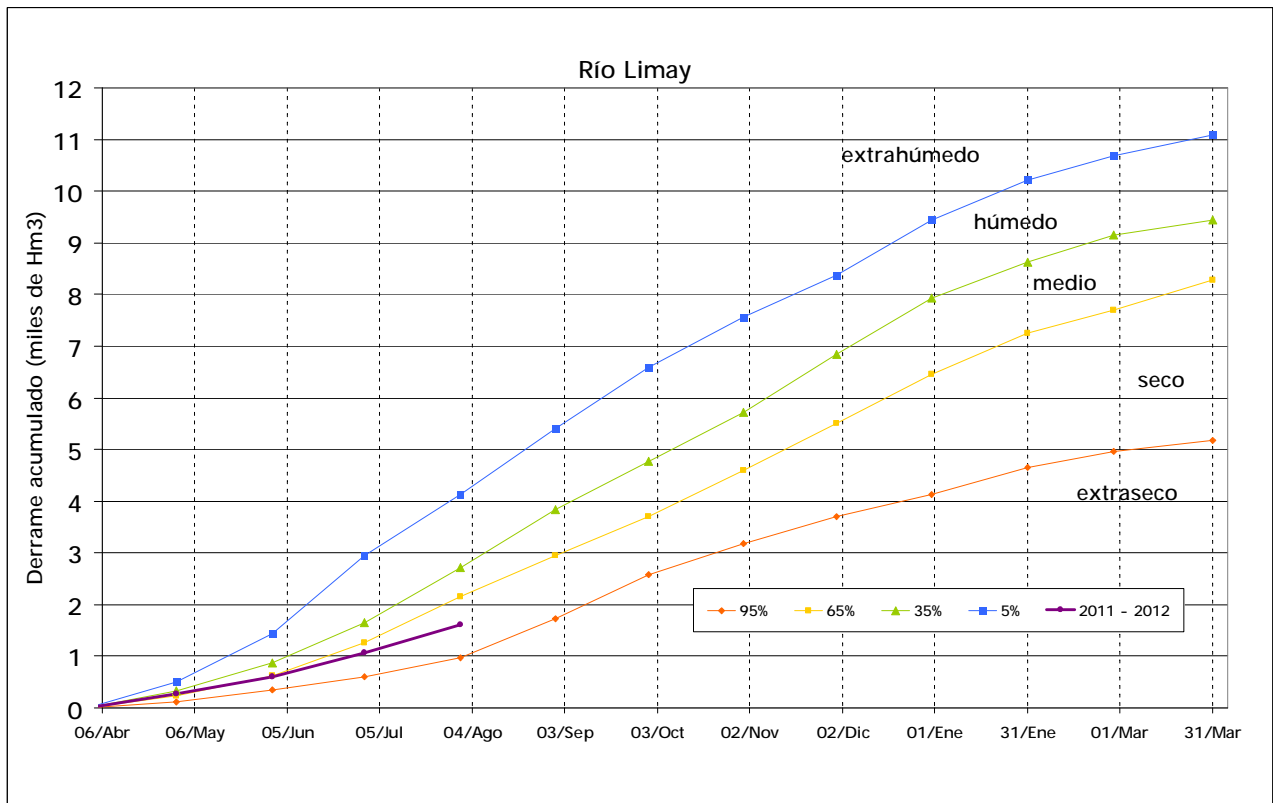


Subcuenca Collón Curá
Precipitación Media Areal del Mes

Clasificación hidrológica del derrame:


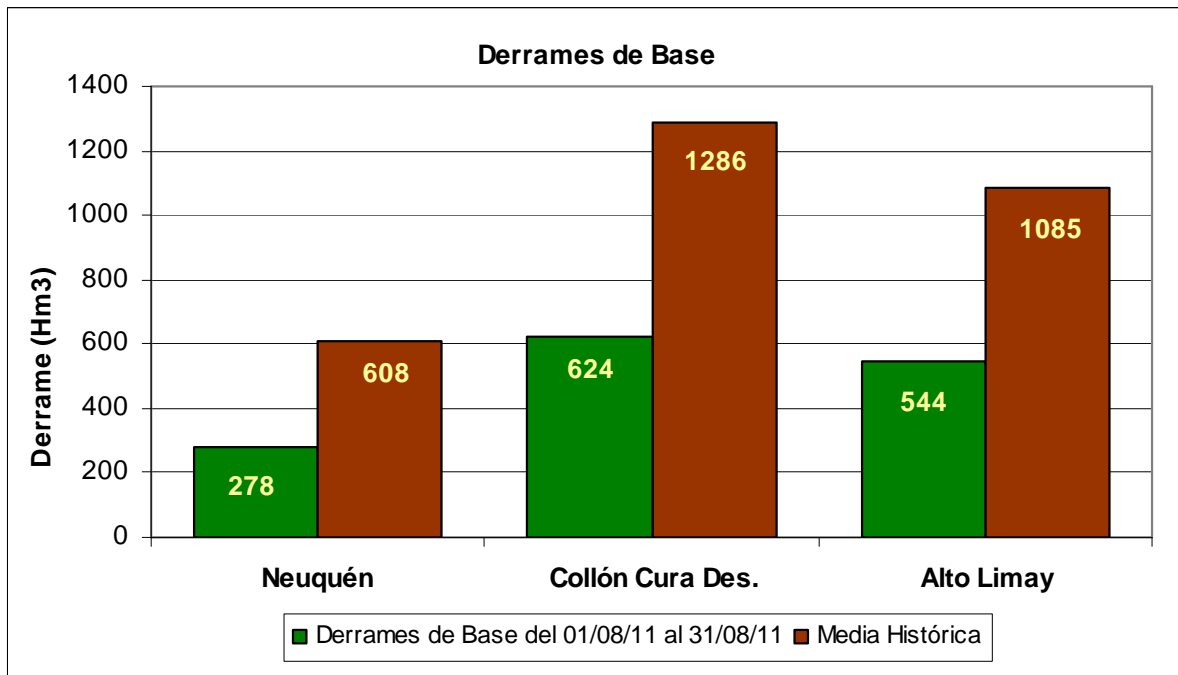
Subcuenca Limay Precipitación Media Areal del Mes



Clasificación hidrológica del Derrame:



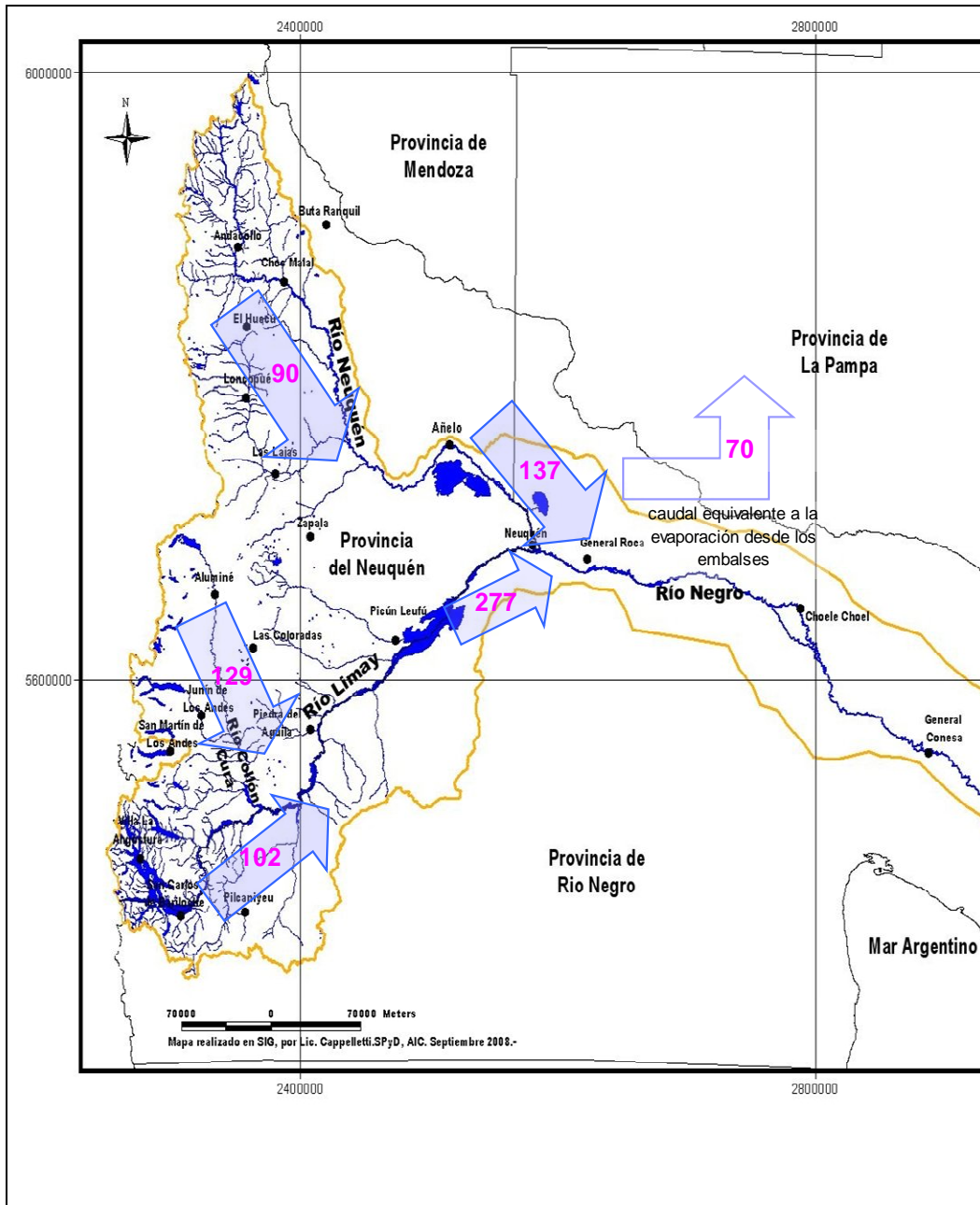
Acumulación subterránea – Derrames de base

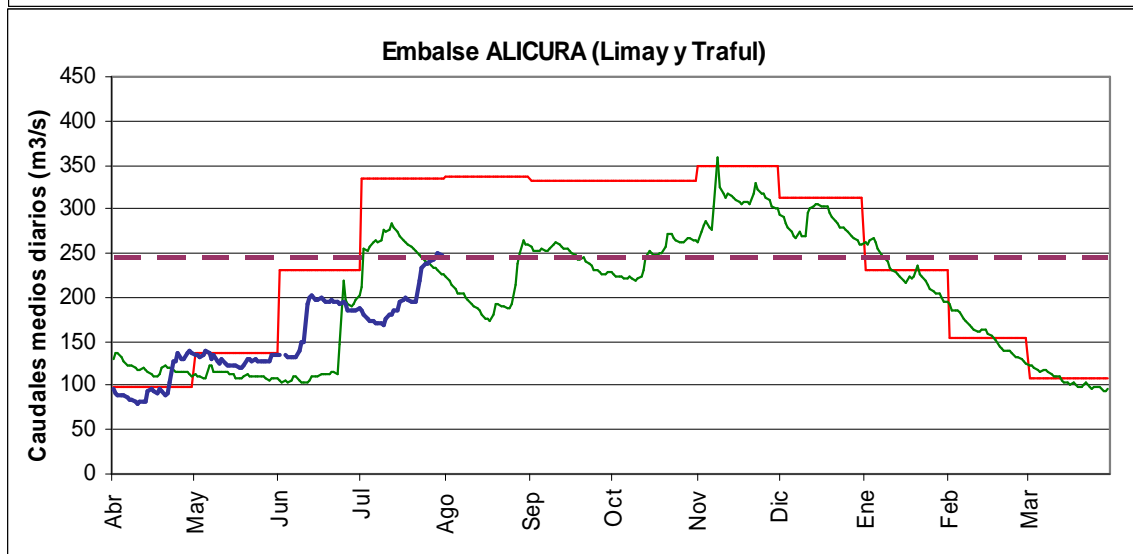
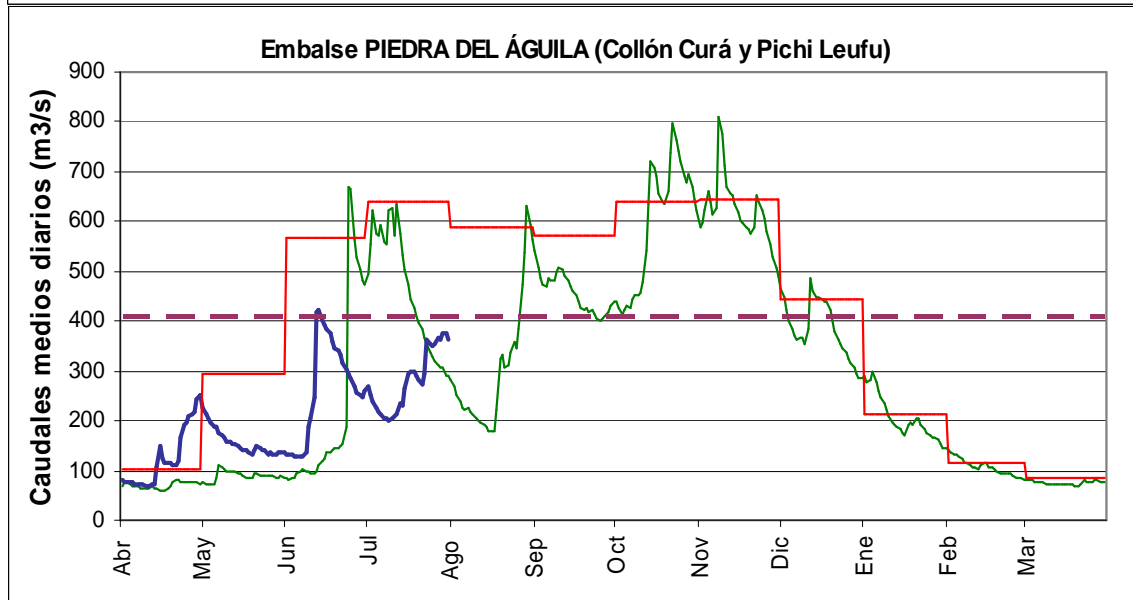
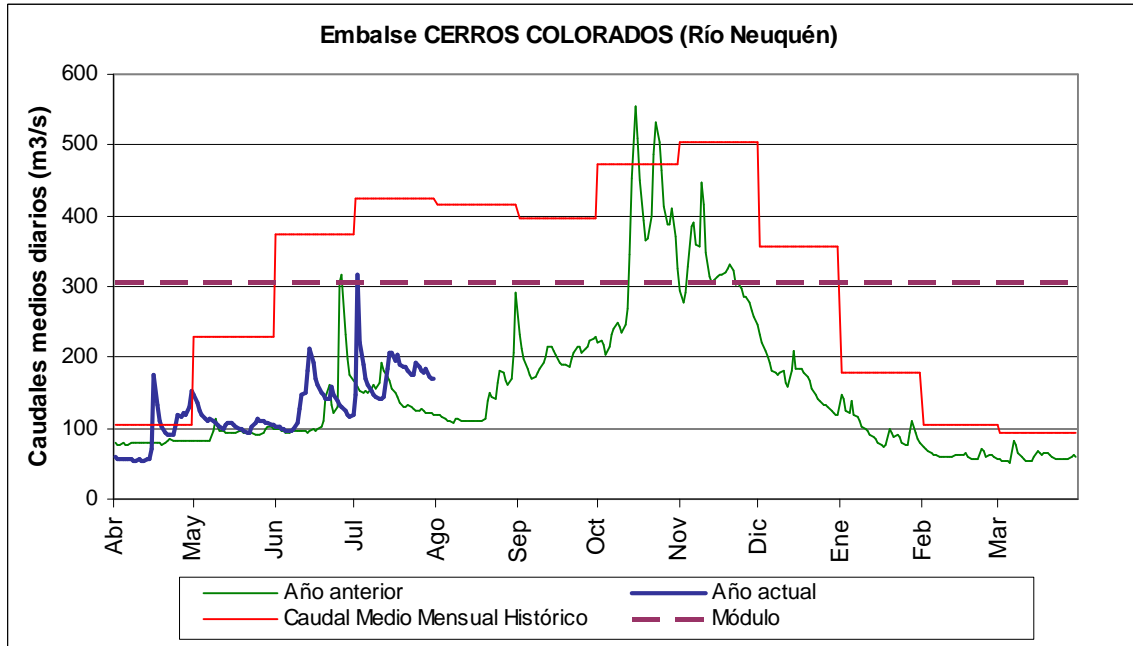


2. Operación de los aprovechamientos hidroeléctricos de los ríos Limay, Neuquén y Negro

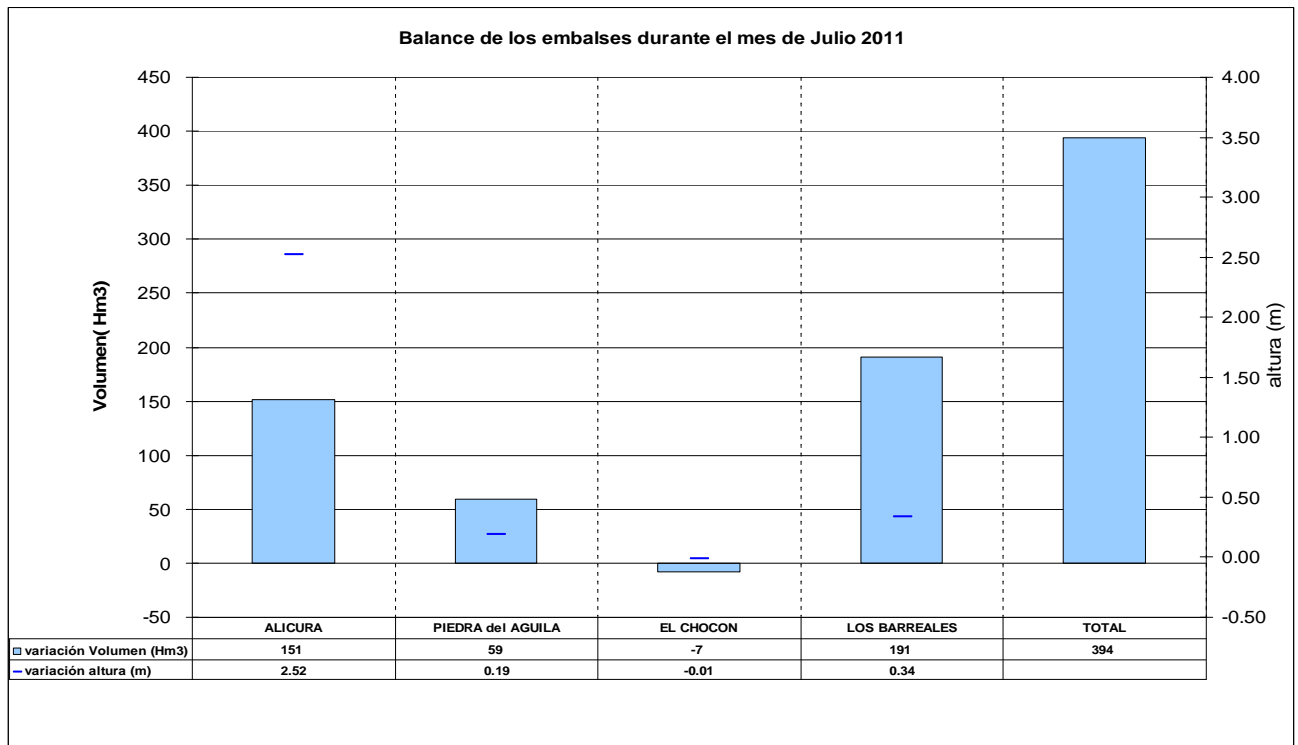
Evolución de Embalses

Caudales (m³/s) medios del mes, afluentes y erogados al/del sistema de embalses.



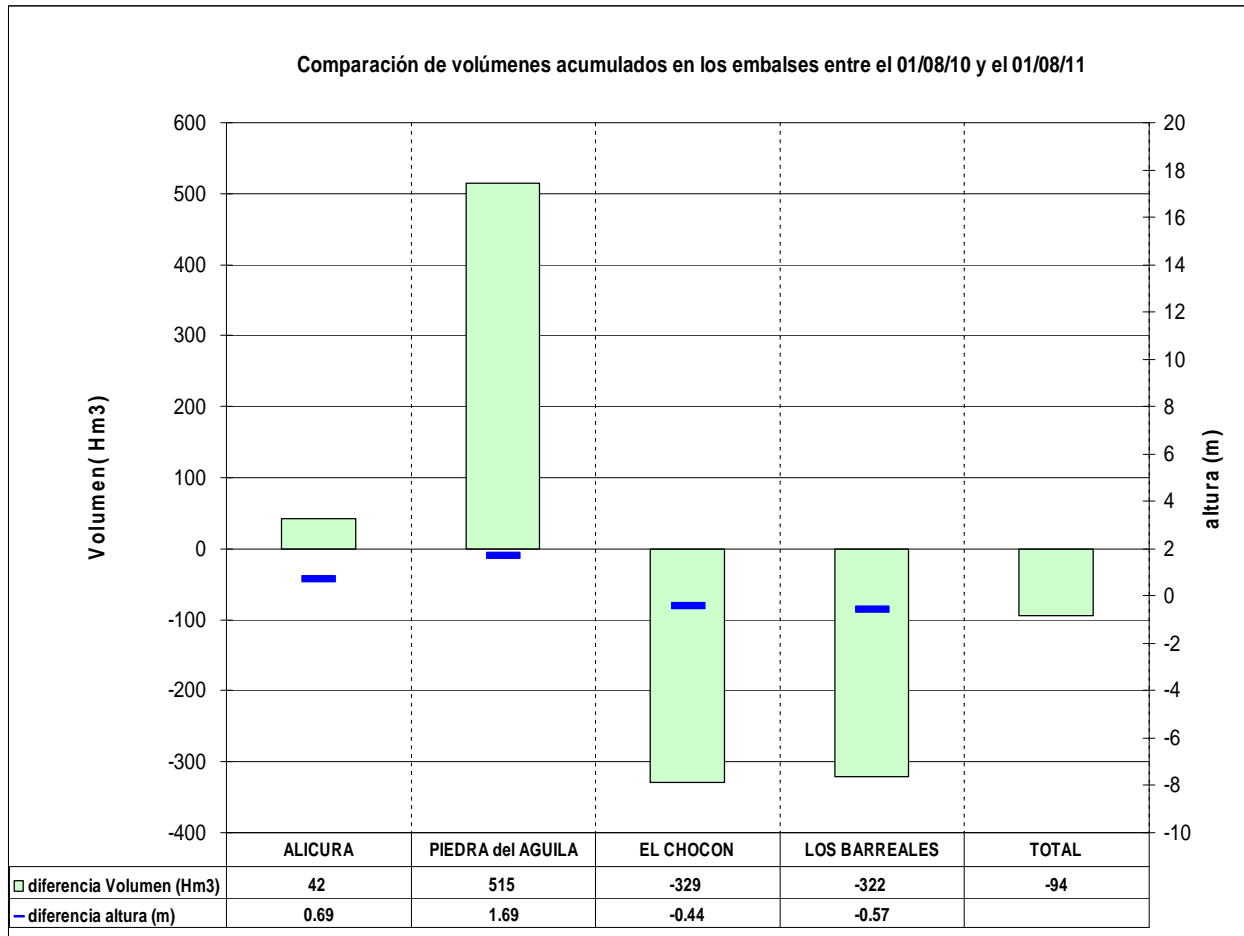
Afluentes naturales a los embalses


Durante el mes de Julio el sistema embalsó un volumen de 394Hm³.

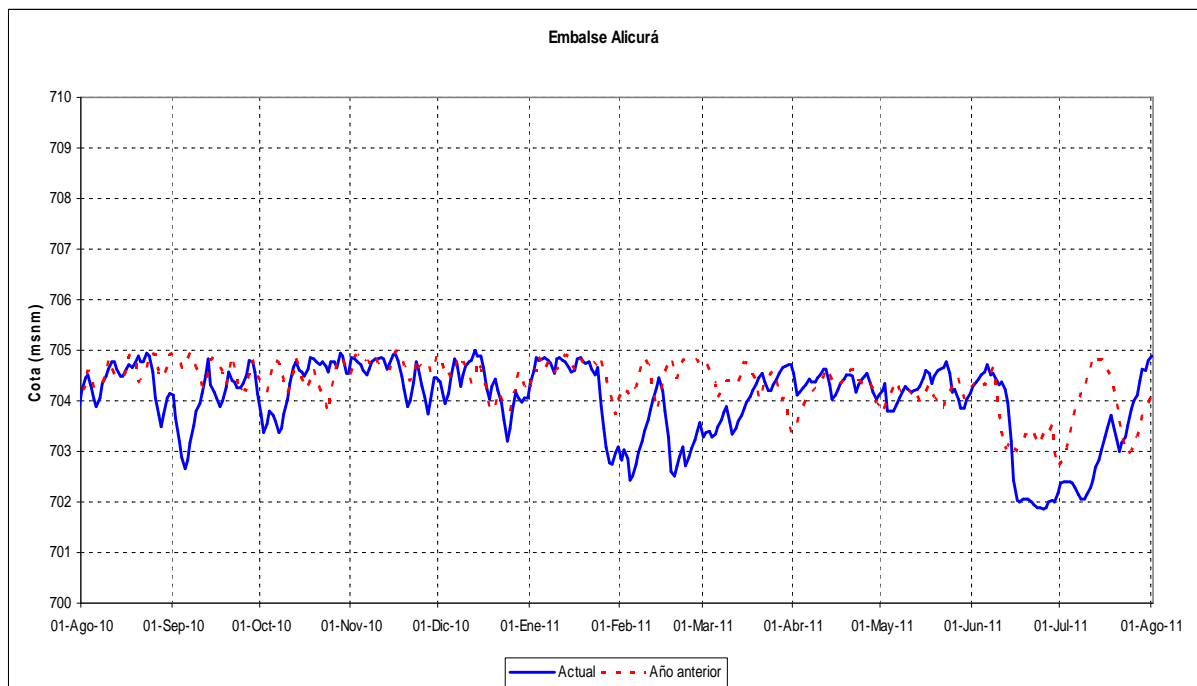


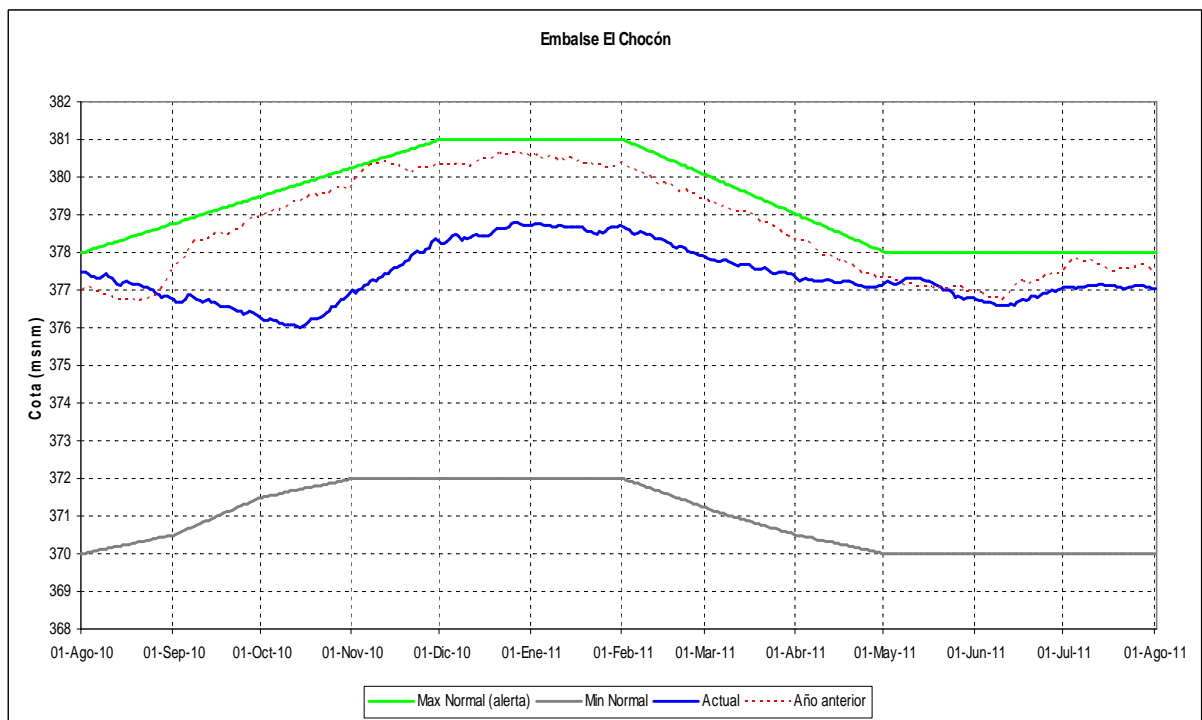
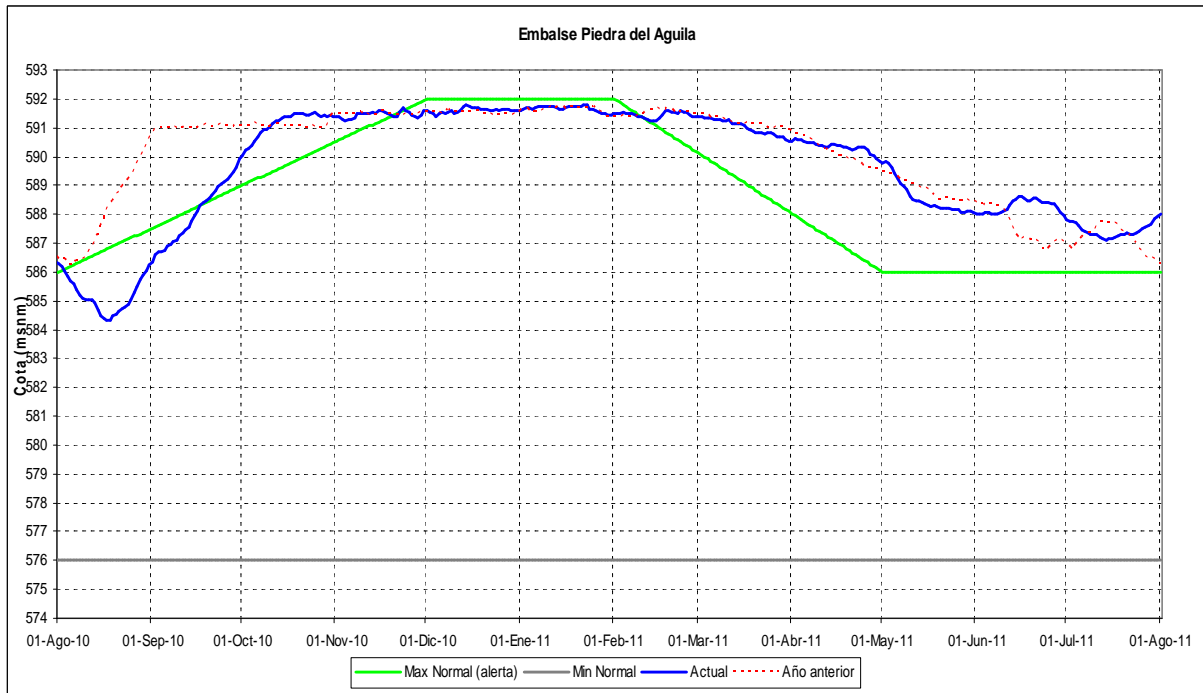
Los volúmenes y alturas acumulados fin de mes respecto a igual fecha del año anterior son:

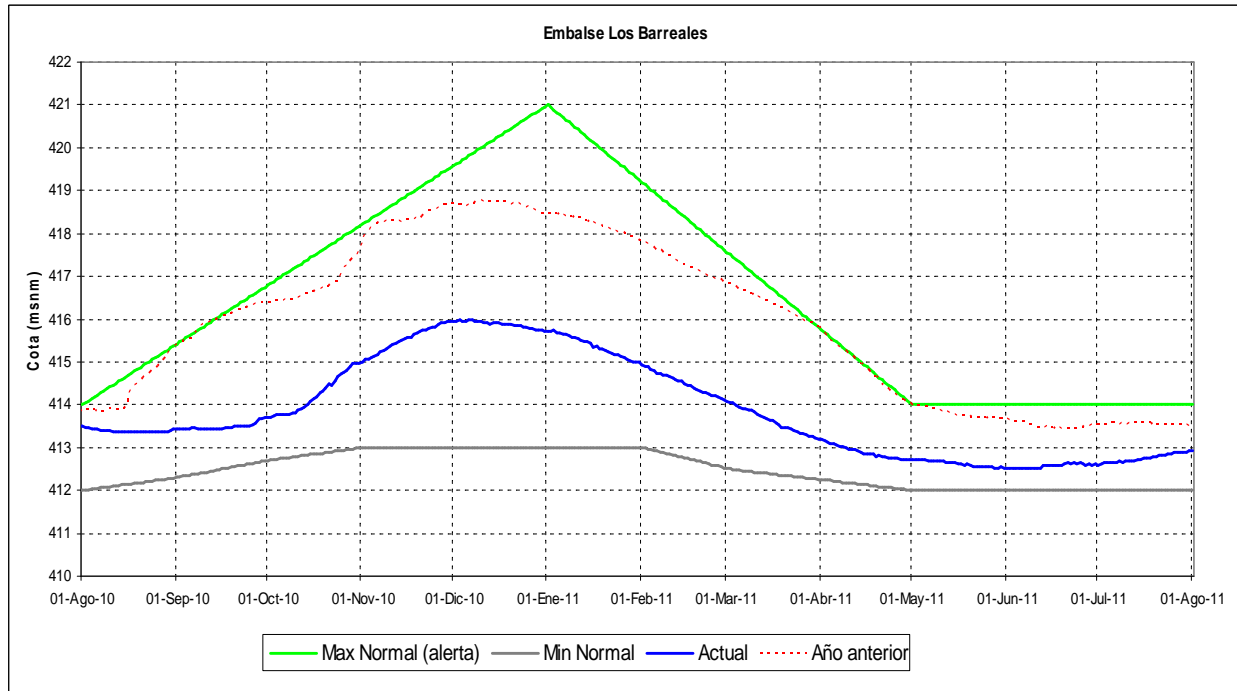
Embalse	Volumen acumulado (hm3)	Altura acumulada (m)
Alicurá	42	0.69
Piedra del Águila	515	1.69
El Chocón	-329	-0.44
Los Barreales-Mari Menuco	-322	-0.57
Total	-94	



Los gráficos siguientes muestran la evolución de los embalses hasta el 1º de Agosto, comparados con el año anterior.





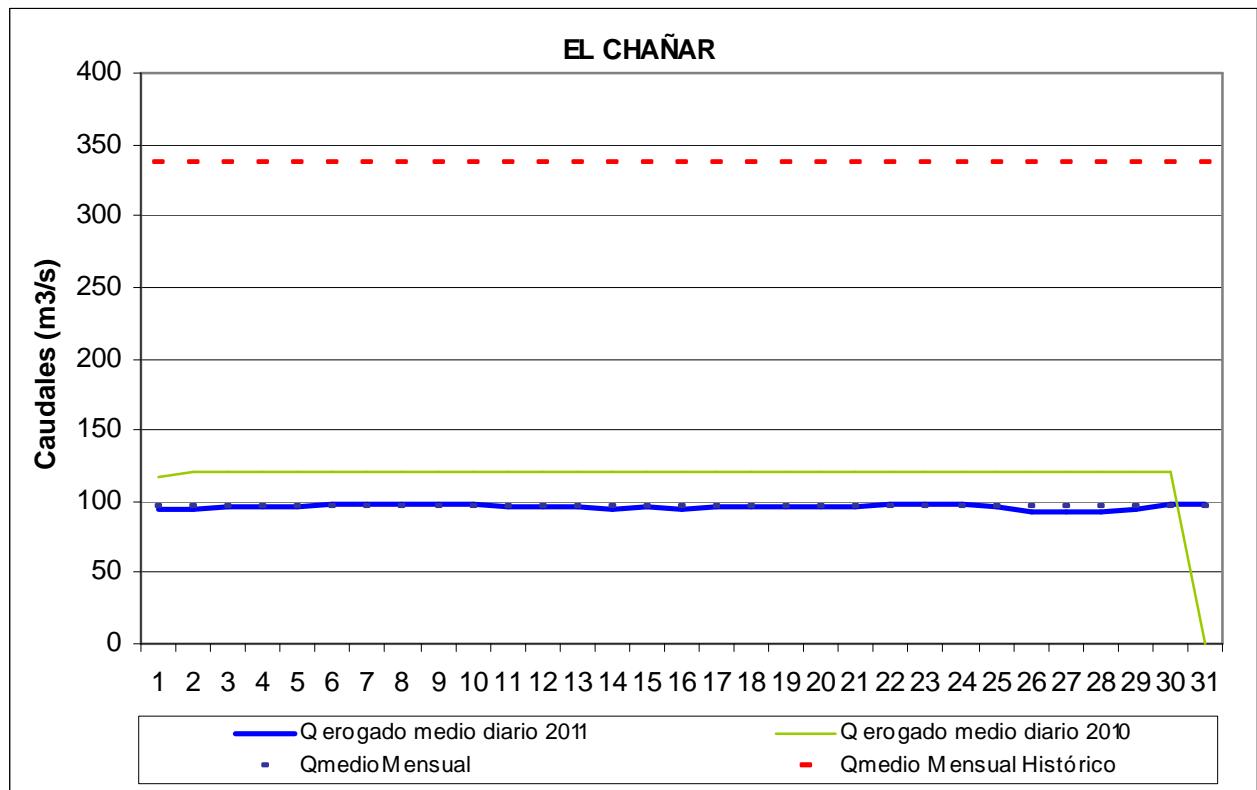

Evolución diaria de niveles (m.s.n.m) y erogaciones (m³/s) de embalses.

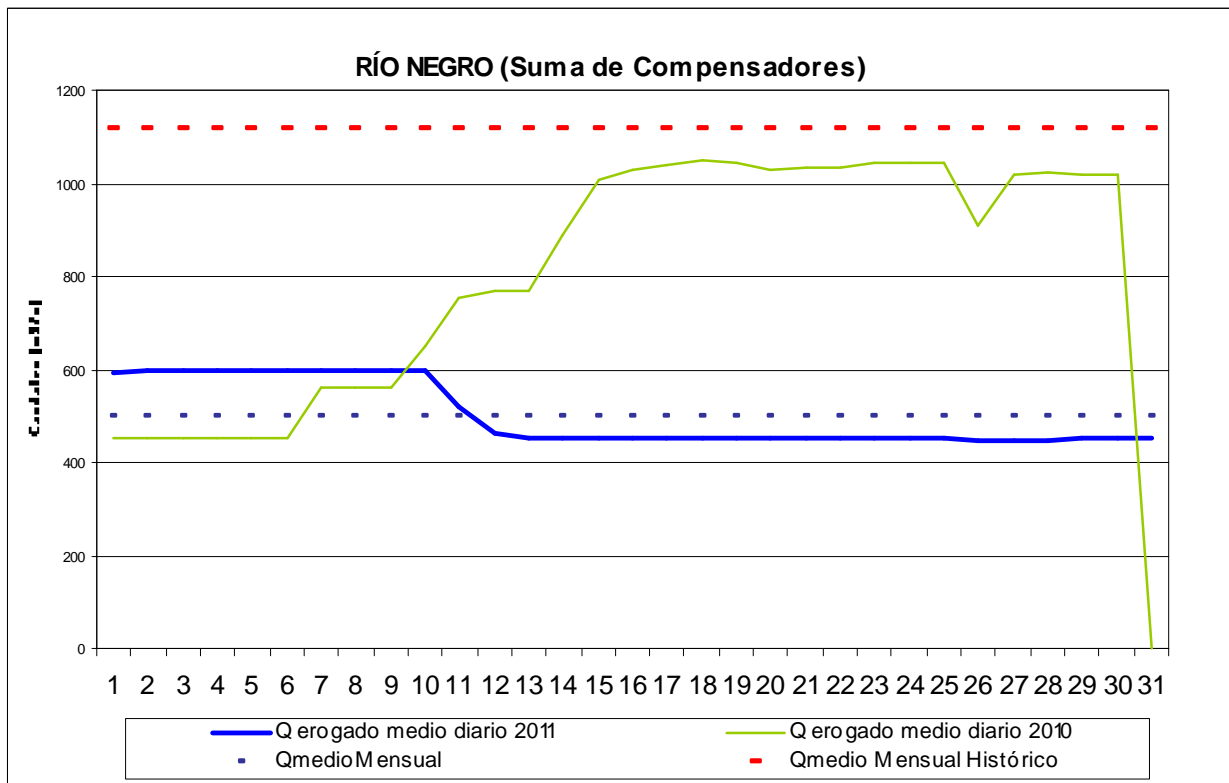
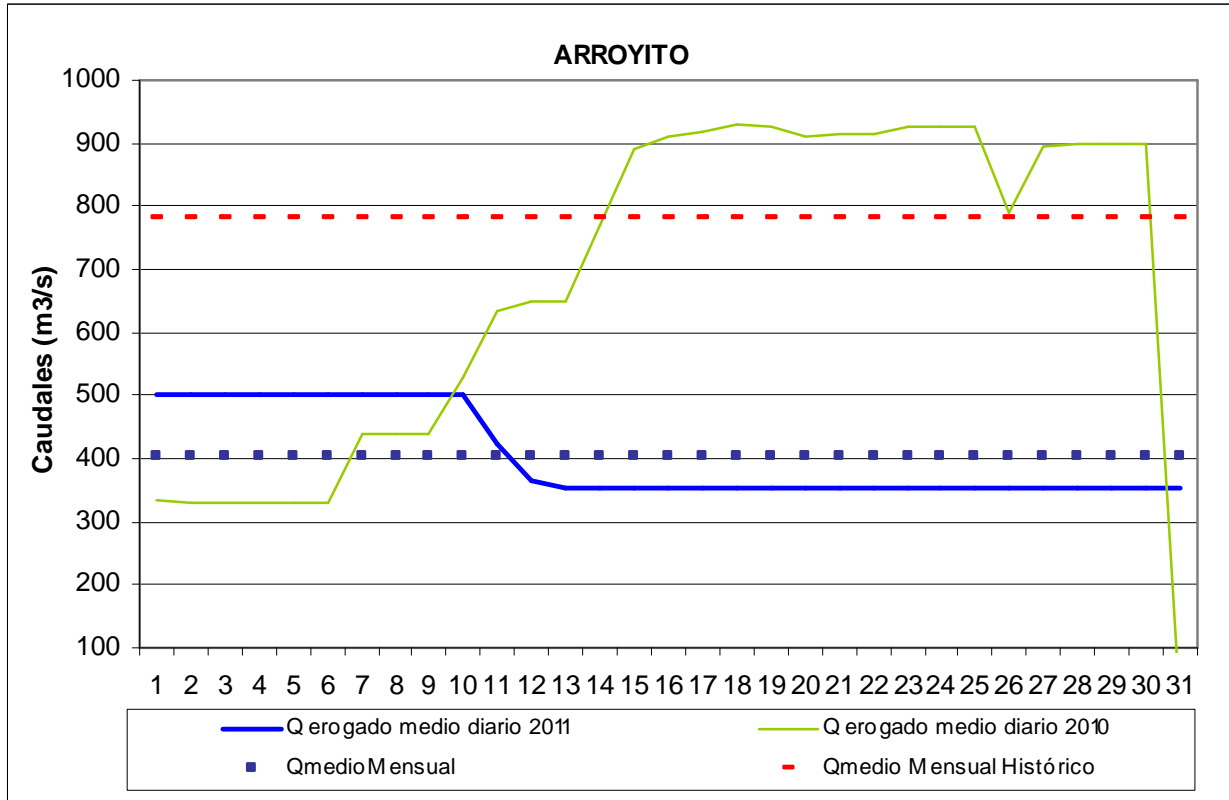
Julio 2011

RESUMEN DE COTAS DE EMBALSES (MSNM)															
D I A	ALICURA REAL	PIEDRA DEL AGUILA				PP LEUFU REAL	EL CHOCON				LOS BARREALES				M. MENUCA REAL
		N.ALERTA	MIN.NORMAL	REAL	SITUACION		N.ALERTA	MIN.NORMAL	REAL	SITUACION	N.ALERTA	MIN.NORMAL	REAL	SITUACION	
1	702.37	586.00	576.00	587.81	F.A.C.	478.70	378.00	370.00	377.06	F.O.N.	414.00	412.00	412.59	F.O.N.	412.59
2	702.40	586.00	576.00	587.77	F.A.C.	478.67	378.00	370.00	377.06	F.O.N.	414.00	412.00	412.62	F.O.N.	412.62
3	702.41	586.00	576.00	587.76	F.A.C.	478.91	378.00	370.00	377.07	F.O.N.	414.00	412.00	412.64	F.O.N.	412.62
4	702.41	586.00	576.00	587.71	F.A.C.	478.98	378.00	370.00	377.06	F.O.N.	414.00	412.00	412.65	F.O.N.	412.65
5	702.38	586.00	576.00	587.60	F.A.C.	478.81	378.00	370.00	377.03	F.O.N.	414.00	412.00	412.65	F.O.N.	412.65
6	702.29	586.00	576.00	587.47	F.A.C.	478.90	378.00	370.00	377.06	F.O.N.	414.00	412.00	412.66	F.O.N.	412.66
7	702.14	586.00	576.00	587.40	F.A.C.	478.95	378.00	370.00	377.07	F.O.N.	414.00	412.00	412.66	F.O.N.	412.66
8	702.07	586.00	576.00	587.35	F.A.C.	478.85	378.00	370.00	377.09	F.O.N.	414.00	412.00	412.67	F.O.N.	412.67
9	702.06	586.00	576.00	587.32	F.A.C.	478.80	378.00	370.00	377.10	F.O.N.	414.00	412.00	412.66	F.O.N.	412.66
10	702.15	586.00	576.00	587.33	F.A.C.	478.89	378.00	370.00	377.11	F.O.N.	414.00	412.00	412.68	F.O.N.	412.68
11	702.30	586.00	576.00	587.30	F.A.C.	478.64	378.00	370.00	377.12	F.O.N.	414.00	412.00	412.67	F.O.N.	412.67
12	702.44	586.00	576.00	587.22	F.A.C.	478.62	378.00	370.00	377.12	F.O.N.	414.00	412.00	412.67	F.O.N.	412.67
13	702.68	586.00	576.00	587.16	F.A.C.	478.62	378.00	370.00	377.15	F.O.N.	414.00	412.00	412.69	F.O.N.	412.69
14	702.82	586.00	576.00	587.12	F.A.C.	478.78	378.00	370.00	377.15	F.O.N.	414.00	412.00	412.72	F.O.N.	412.72
15	703.03	586.00	576.00	587.15	F.A.C.	478.31	378.00	370.00	377.12	F.O.N.	414.00	412.00	412.73	F.O.N.	412.73
16	703.28	586.00	576.00	587.17	F.A.C.	478.41	378.00	370.00	377.12	F.O.N.	414.00	412.00	412.74	F.O.N.	412.74
17	703.45	586.00	576.00	587.21	F.A.C.	478.46	378.00	370.00	377.12	F.O.N.	414.00	412.00	412.75	F.O.N.	412.75
18	703.70	586.00	576.00	587.23	F.A.C.	478.54	378.00	370.00	377.12	F.O.N.	414.00	412.00	412.75	F.O.N.	412.75
19	703.52	586.00	576.00	587.28	F.A.C.	478.55	378.00	370.00	377.08	F.O.N.	414.00	412.00	412.78	F.O.N.	412.78
20	703.23	586.00	576.00	587.30	F.A.C.	478.34	378.00	370.00	377.06	F.O.N.	414.00	412.00	412.80	F.O.N.	412.80
21	703.01	586.00	576.00	587.36	F.A.C.	478.34	378.00	370.00	377.05	F.O.N.	414.00	412.00	412.82	F.O.N.	412.82
22	703.16	586.00	576.00	587.32	F.A.C.	478.55	378.00	370.00	377.05	F.O.N.	414.00	412.00	412.82	F.O.N.	412.82
23	703.28	586.00	576.00	587.32	F.A.C.	478.89	378.00	370.00	377.07	F.O.N.	414.00	412.00	412.82	F.O.N.	412.82
24	703.52	586.00	576.00	587.35	F.A.C.	478.80	378.00	370.00	377.09	F.O.N.	414.00	412.00	412.84	F.O.N.	412.84
25	703.83	586.00	576.00	587.40	F.A.C.	478.55	378.00	370.00	377.13	F.O.N.	414.00	412.00	412.87	F.O.N.	412.87
26	704.00	586.00	576.00	587.49	F.A.C.	478.03	378.00	370.00	377.14	F.O.N.	414.00	412.00	412.88	F.O.N.	412.88
27	704.12	586.00	576.00	587.57	F.A.C.	477.99	378.00	370.00	377.13	F.O.N.	414.00	412.00	412.89	F.O.N.	412.89
28	704.39	586.00	576.00	587.59	F.A.C.	478.30	378.00	370.00	377.11	F.O.N.	414.00	412.00	412.89	F.O.N.	412.89
29	704.62	586.00	576.00	587.68	F.A.C.	478.05	378.00	370.00	377.09	F.O.N.	414.00	412.00	412.89	F.O.N.	412.89
30	704.59	586.00	576.00	587.84	F.A.C.	477.76	378.00	370.00	377.07	F.O.N.	414.00	412.00	412.89	F.O.N.	412.89
31	704.79	586.00	576.00	587.90	F.A.C.	477.65	378.00	370.00	377.05	F.O.N.	414.00	412.00	412.91	F.O.N.	412.91

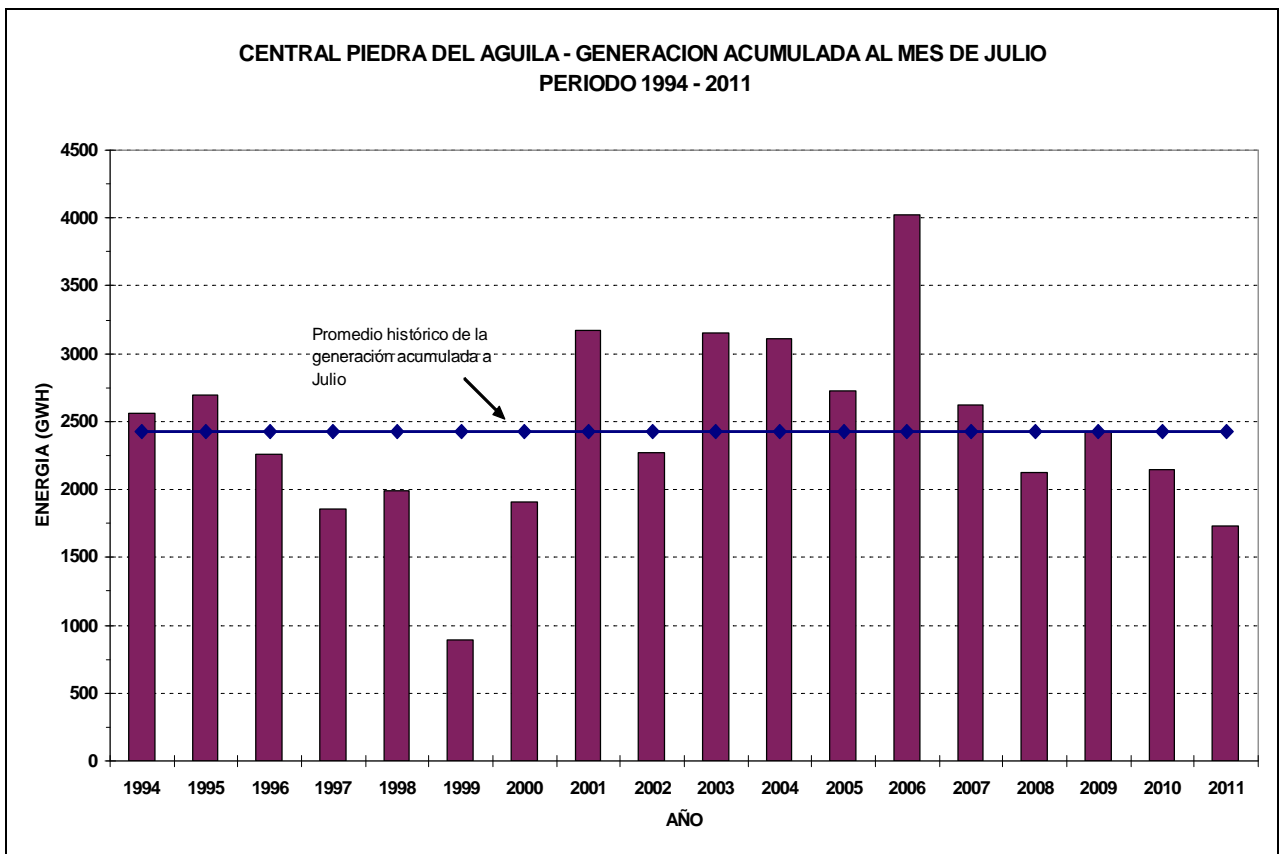
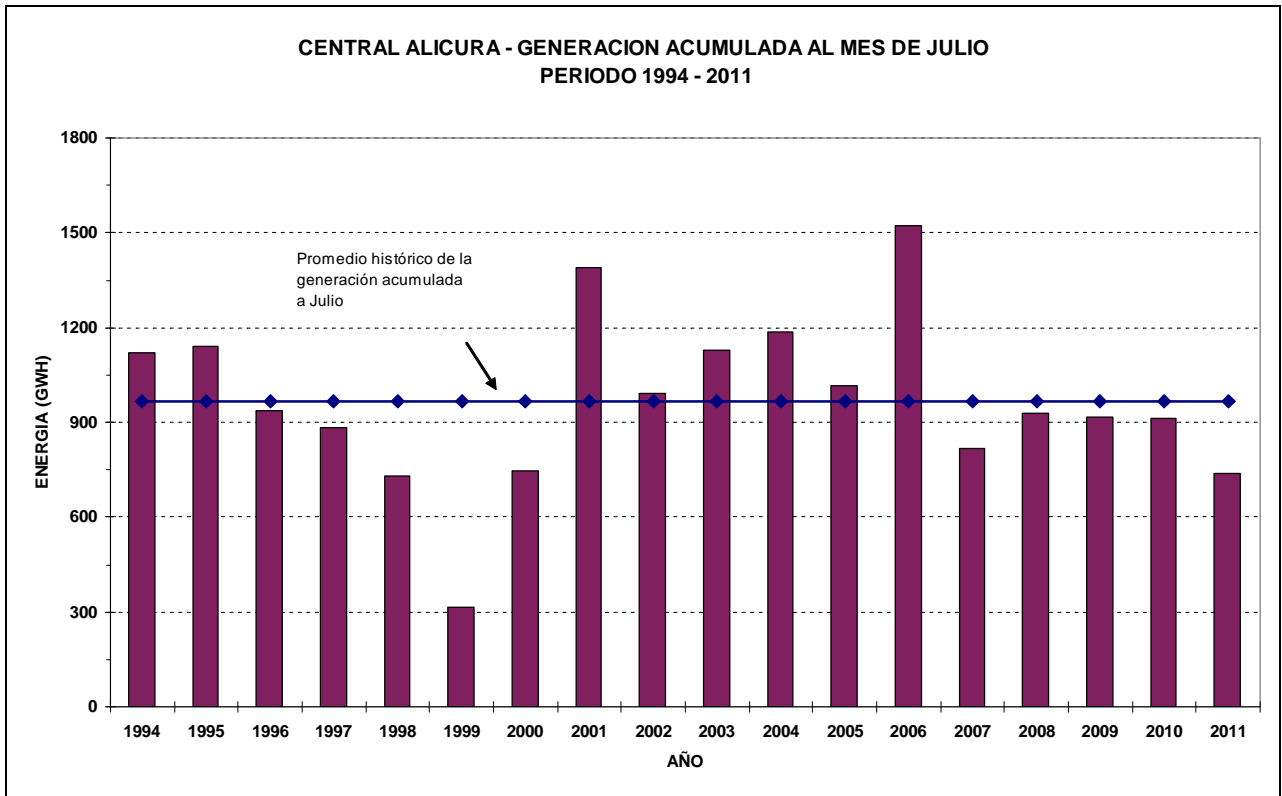
D I A	ENTRANTES			CAUDALES														D I A					
	ALICURA	PIEDRA	PORTE- ZUELO	ALICURA			PIEDRA DEL AGUILA			PICHICUN LEUFU			CHOCON			Turb. P. BAND	PORTEZ GRANDE		ARROYITO			SALIENTE I CHAÑAR	SUMA COMPENSA
				TURB.	VERT.	TOTAL	TURB.	VERT.	TOTAL	TURB.	VERT.	TOTAL	TURB.	VERT.	TOTAL				TURB.	VERT.	TOTAL		
1	180	251	318	95	20	115	585	0	585	638	0	638	623	0	623	97	6	500	0	500	95	595	
2	175	239	220	163	20	183	482	0	482	367	0	367	569	0	569	80	6	500	0	500	96	596	
3	174	225	191	154	13	167	457	0	457	454	0	454	422	0	422	86	6	500	0	500	96	596	
4	173	217	171	163	13	176	826	0	826	848	0	848	693	0	693	95	6	500	0	500	96	596	
5	171	212	161	213	14	227	737	0	737	704	0	704	564	0	564	95	6	500	0	500	97	597	
6	170	207	153	242	15	257	726	0	726	702	0	702	637	0	637	95	6	469	31	500	98	598	
7	170	203	148	215	13	228	548	0	548	594	0	594	532	0	532	90	6	500	0	500	98	598	
8	169	199	145	188	14	202	517	0	517	483	0	483	422	0	422	88	6	500	0	500	98	598	
9	176	206	143	117	4	121	316	0	316	296	0	296	350	0	350	51	6	500	0	500	98	598	
10	179	209	142	57	1	58	284	0	284	326	0	326	176	0	176	79	6	425	0	425	96	521	
11	182	212	143	71	9	80	524	0	524	502	0	502	344	0	344	74	6	365	0	365	96	461	
12	185	233	183	0	0	0	445	0	445	453	0	453	200	0	200	80	6	355	0	355	96	451	
13	184	232	205	74	0	74	481	0	481	427	0	427	444	0	444	82	6	355	0	355	95	450	
14	194	262	208	39	0	39	298	0	298	351	0	351	654	0	654	75	6	355	0	355	96	451	
15	197	294	196	0	1	1	212	0	212	200	0	200	314	0	314	93	6	355	0	355	95	450	
16	199	299	204	60	1	61	198	0	198	191	0	191	161	0	161	94	6	355	0	355	96	451	
17	197	298	190	0	0	0	227	0	227	192	0	192	127	0	127	85	6	355	0	355	96	451	
18	196	291	186	271	0	271	397	0	397	378	0	378	522	0	522	81	6	355	0	355	96	451	
19	195	281	188	396	0	396	540	0	540	550	0	550	649	0	649	80	6	355	0	355	96	451	
20	195	275	181	394	0	394	415	0	415	431	0	431	607	0	607	96	6	355	0	355	96	451	
21	219	295	175	131	0	131	526	0	526	496	0	496	458	0	458	119	6	355	0	355	97	452	
22	234	361	175	121	0	121	342	0	342	339	0	339	406	0	406	75	6	355	0	355	98	453	
23	237	355	192	56	0	56	394	0	394	381	0	381	149	0	149	29	6	355	0	355	98	453	
24	239	349	185	16	0	16	188	0	188	199	0	199	62	0	62	71	6	355	0	355	96	451	
25	242	355	180	86	0	86	189	0	189	279	0	279	130	0	130	58	6	355	0	355	93	448	
26	242	365	178	160	0	160	172	0	172	195	0	195	368	0	368	85	6	355	0	355	93	448	
27	246	362	183	19	0	19	263	0	263	195	0	195	315	0	315	103	6	355	0	355	93	448	
28	250	377	172	70	0	70	152	0	152	195	0	195	330	0	330	119	6	355	0	355	95	450	
29	248	374	169	245	0	245	150	0	150	196	0	196	351	0	351	118	6	355	0	355	98	453	
30	247	363	170	99	0	99	178	0	178	199	0	199	316	0	316	69	6	355	0	355	98	453	
31	245	352	165	131	0	131	160	0	160	199	0	199	193	0	193	33	6	355	0	355	97	452	

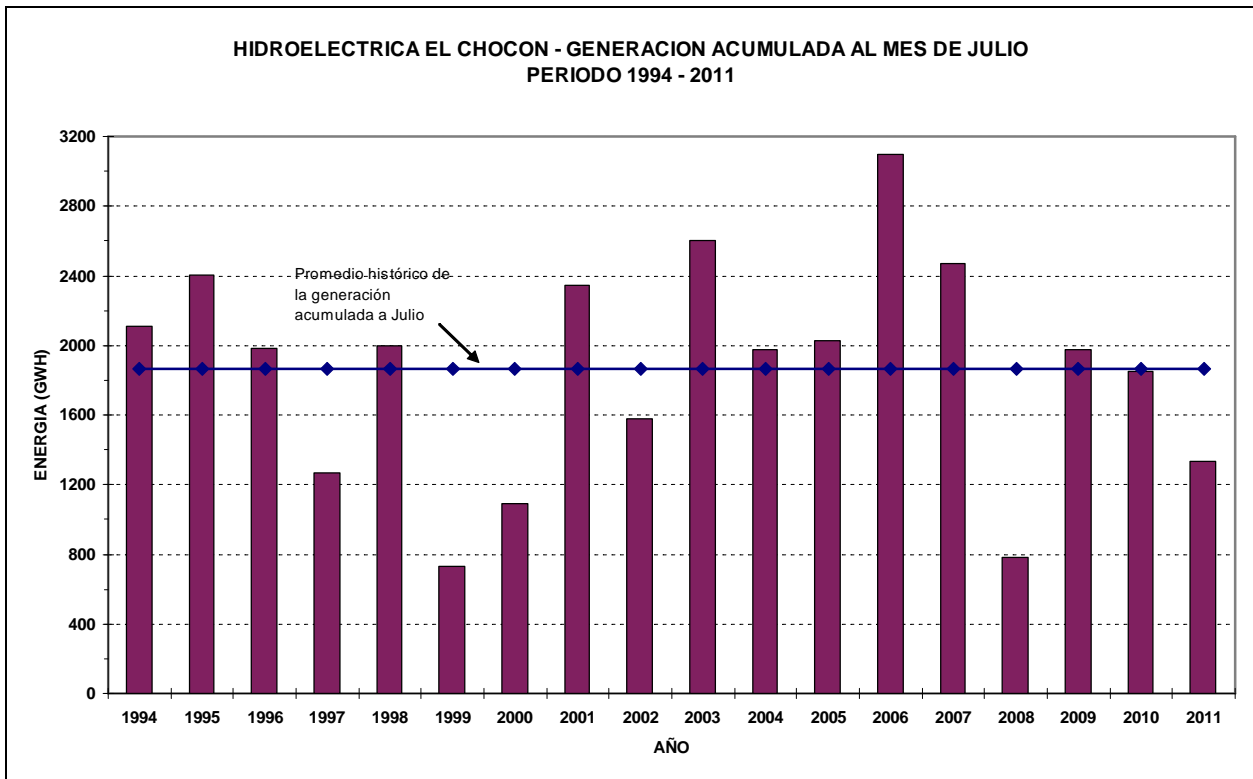
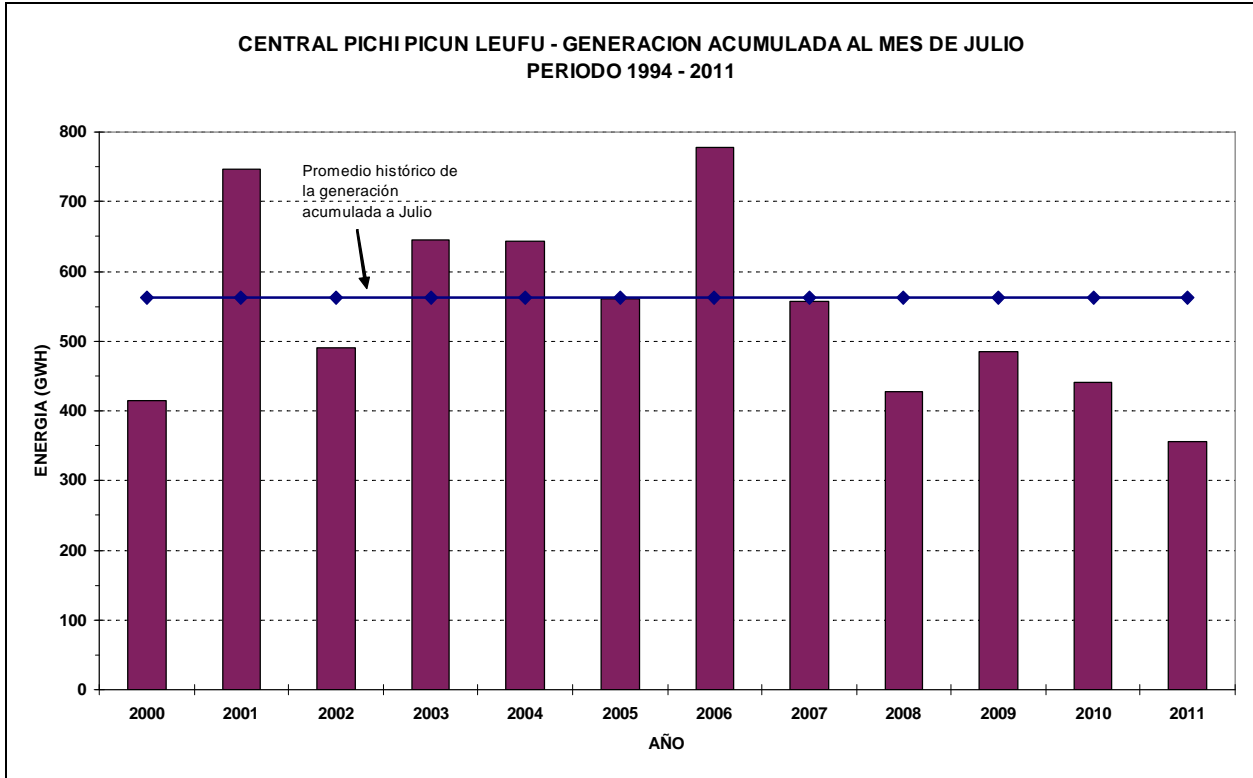
Erogaciones medias diarias (m3/s) desde los embalses compensadores:

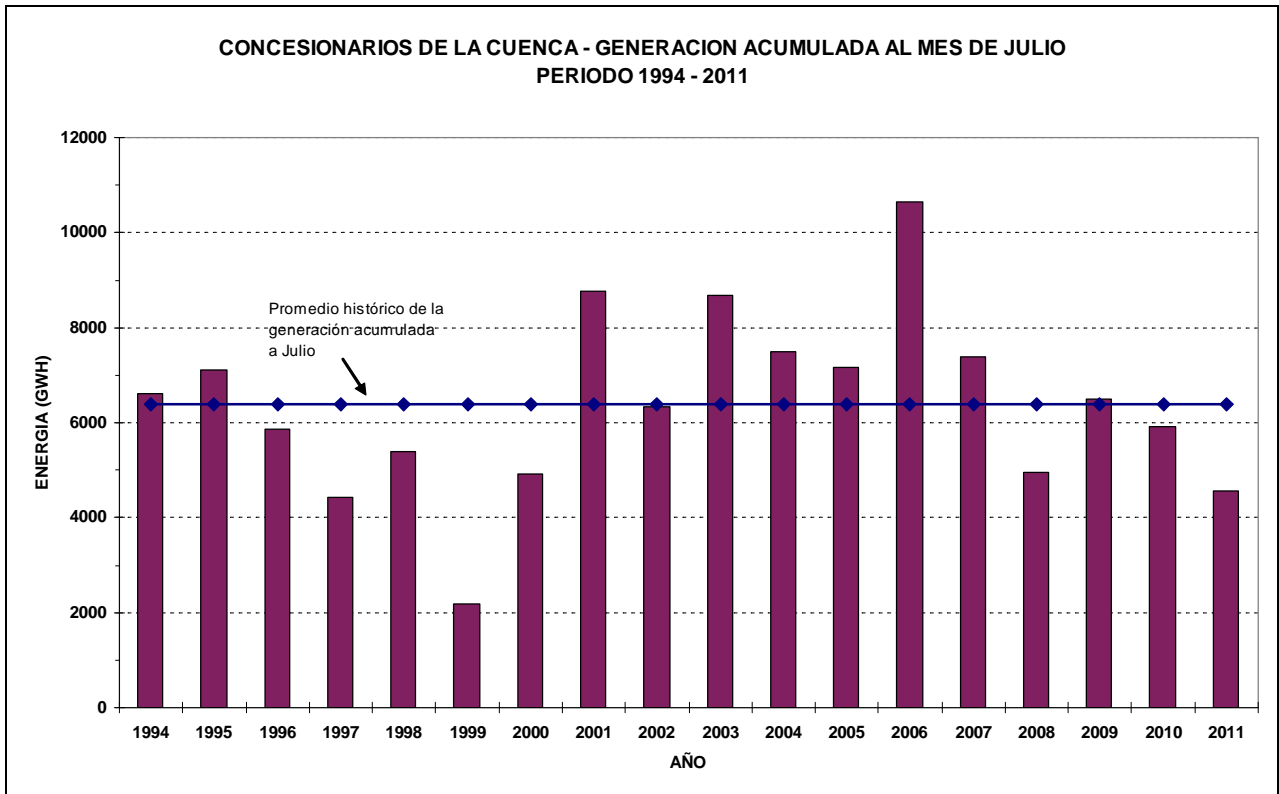
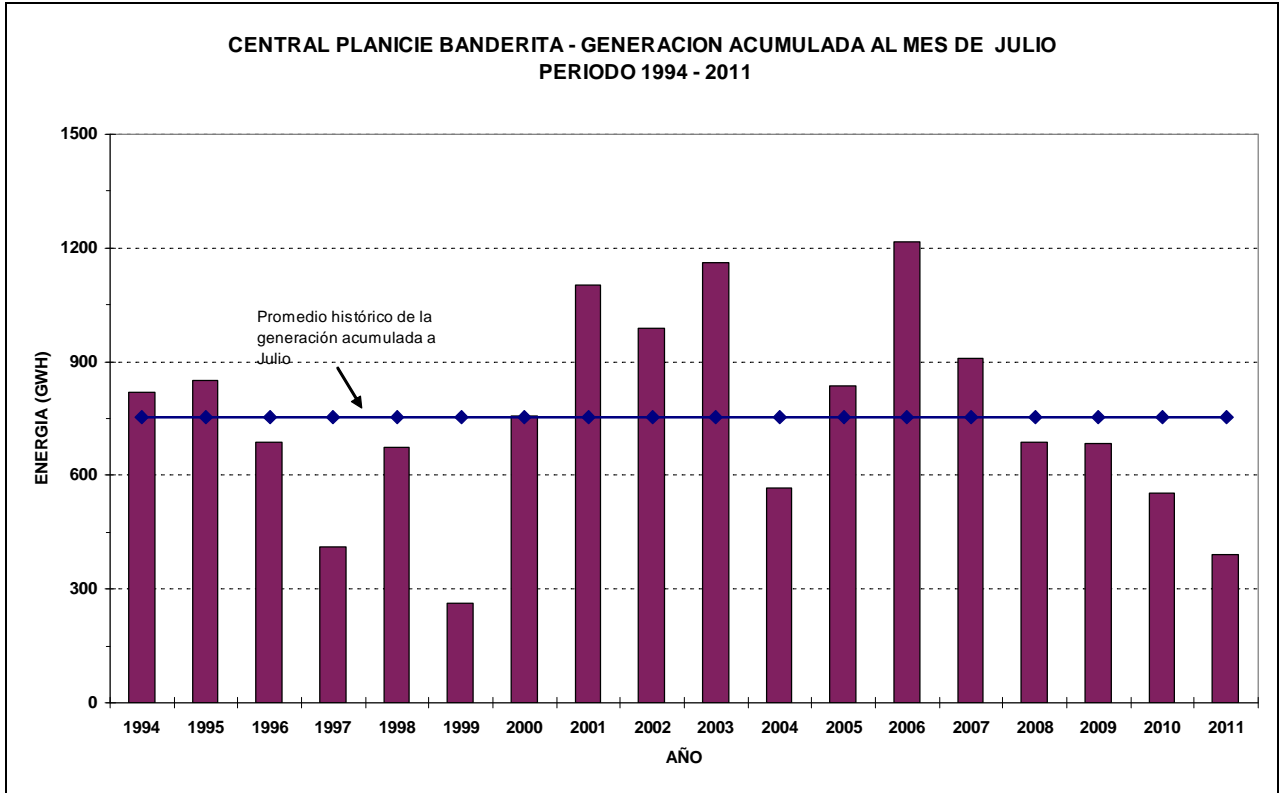


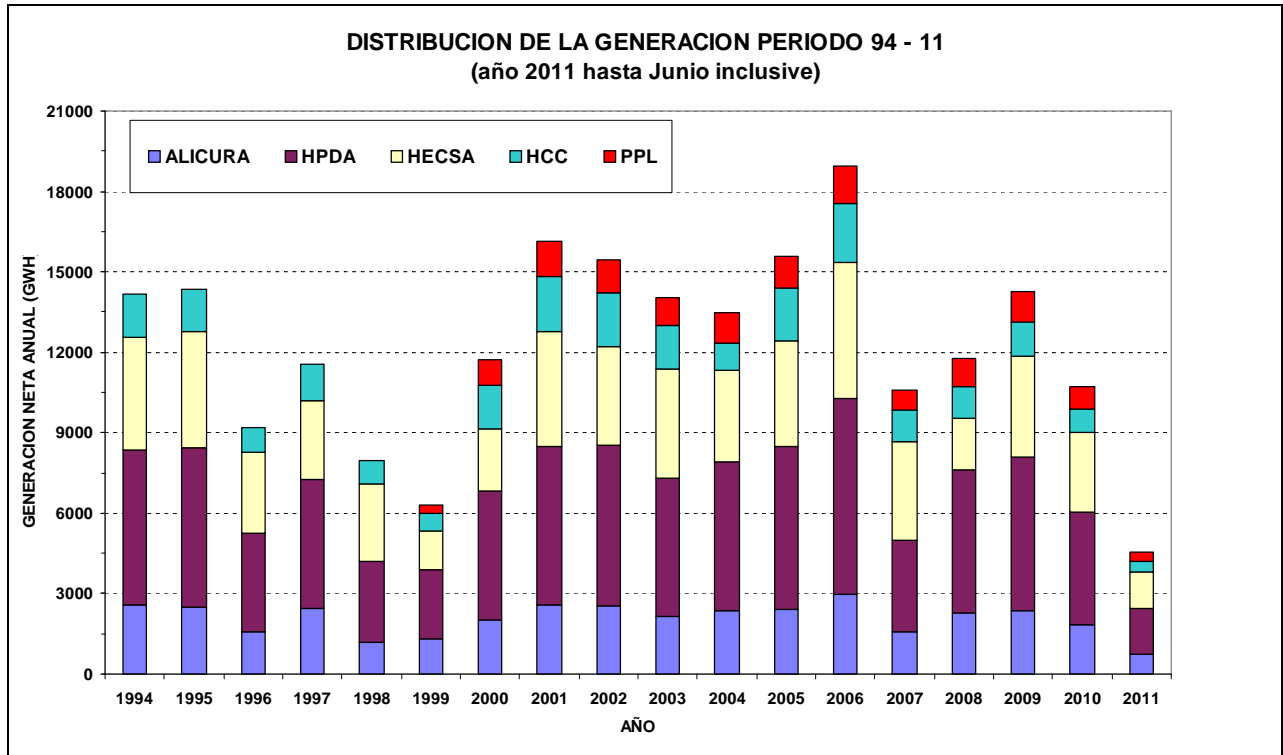


Generación Anual de los Aprovechamientos del Comahue (Serie 1994 hasta el mes del presente informe).









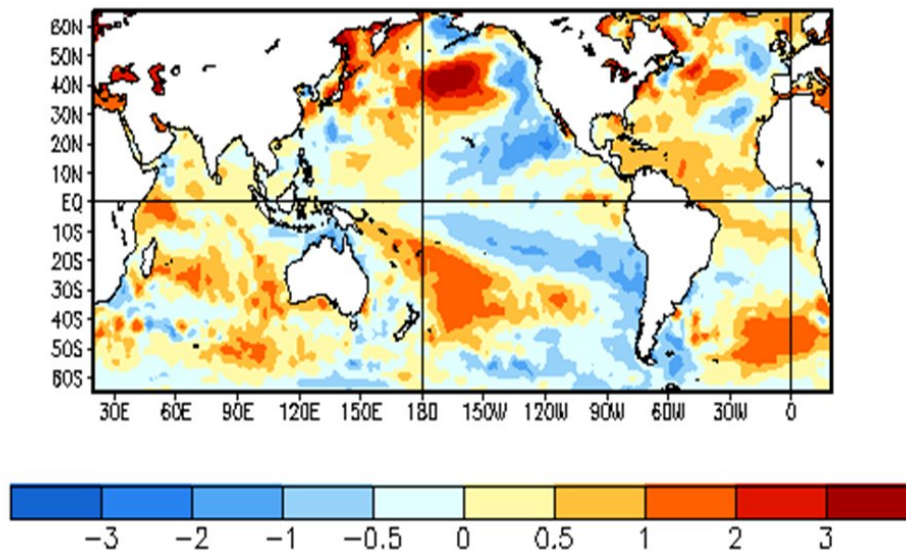
3 Pronósticos meteorológicos de mediano plazo

Seguimiento de las variables oceánicas y atmosféricas con influencia en el comportamiento climático de nuestra región¹.

-Temperatura Superficial del Mar

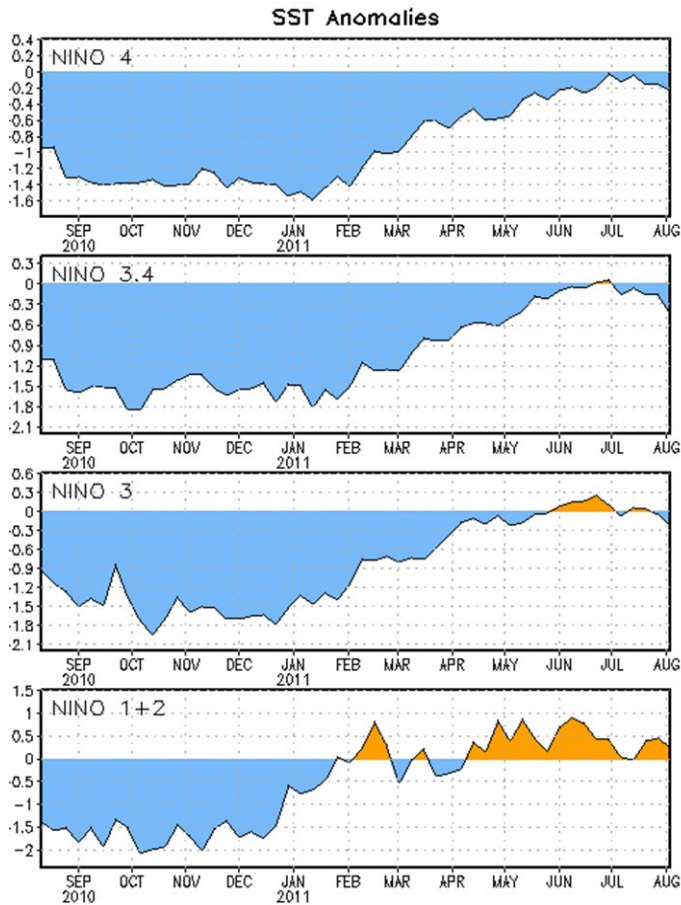
Durante las últimas semanas, se mantienen normales las anomalías en la TSM en el Pacífico Central y anomalías negativas en latitudes medias de la región costera Patagónica.

Anomalías de la Temperatura Superficial del Mar
10 de Julio al 6 de Agosto del 2011



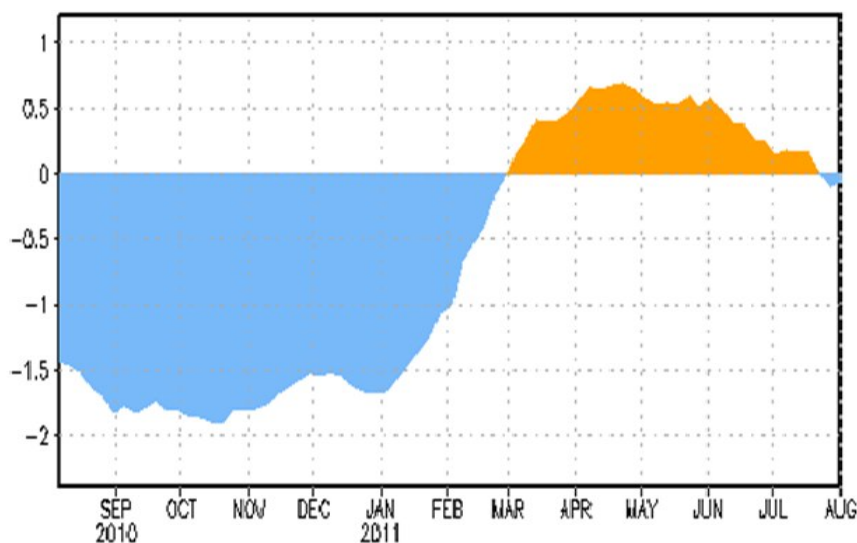
La TSM en las 4 regiones Niño se mantiene en condiciones normales durante las últimas semanas.

¹ En los Anexos al Informe Climático Febrero 2011, publicado a mediados de Marzo, que se encuentra disponible en Publicaciones/Hidrometeorología en el sitio Web, puede obtenerse información respecto de algunos de los diversos estudios que relacionan los fenómenos globales con el comportamiento climático regional.



-El contenido de calor en la subsuperficie del océano (temperaturas promedio en los 300 metros superiores del océano, se mantiene con anomalías positivas. Se observó un decrecimiento de las mismas durante los últimos meses.

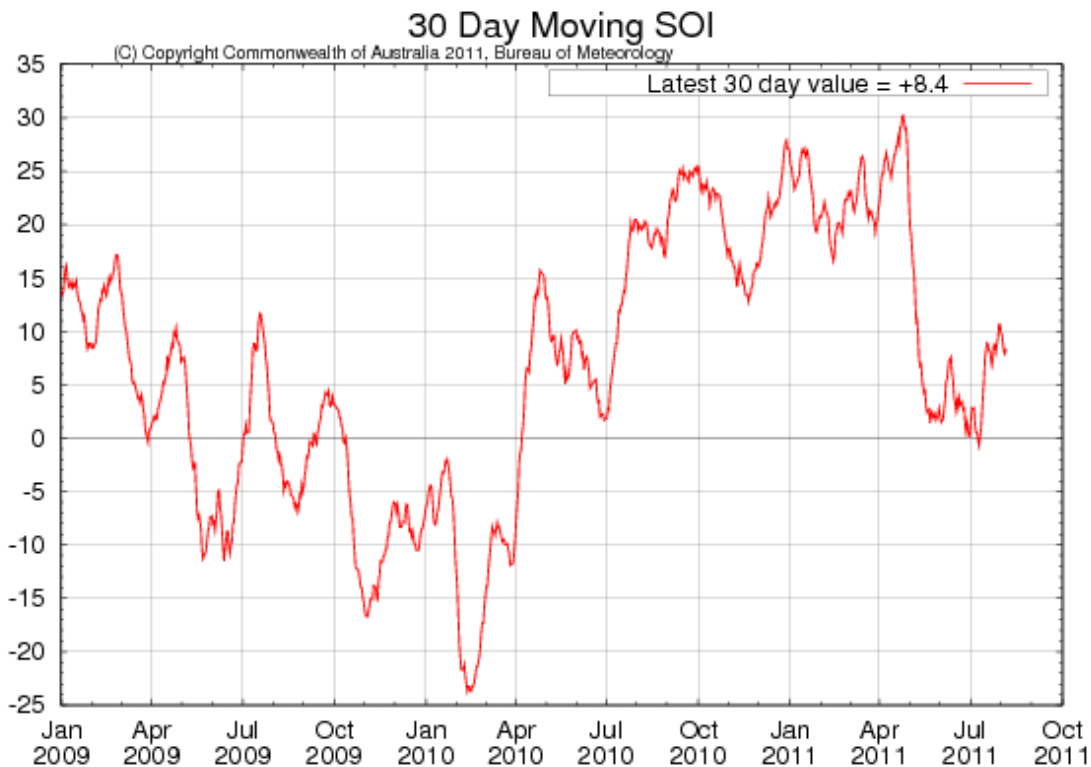
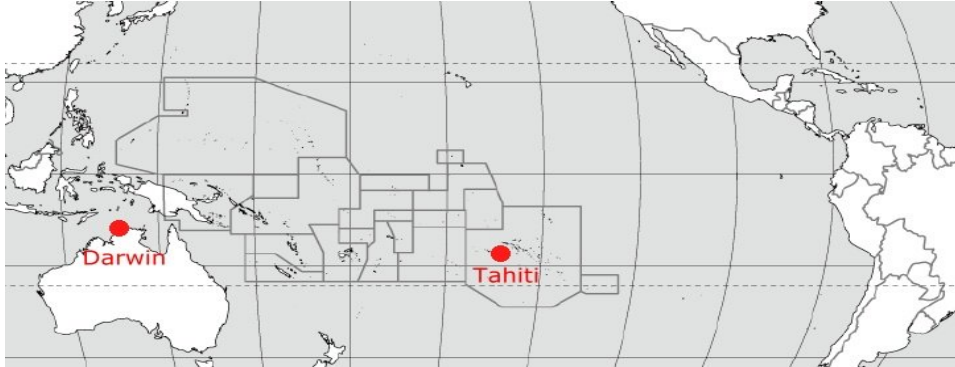
Anomalia del contenido de calor (0-300 m) en la capa subsuperficial Oceánica del Pacifico central y oriental (180 – 100 Long W)



-Condiciones atmosféricas en el Pacífico central

El Índice de Oscilación del Sur (SOI)² ha aumentado ligeramente durante las últimas dos semanas. El valor de SOI más reciente al 1 de agosto (promedio móvil de 30 días) es 9,9.

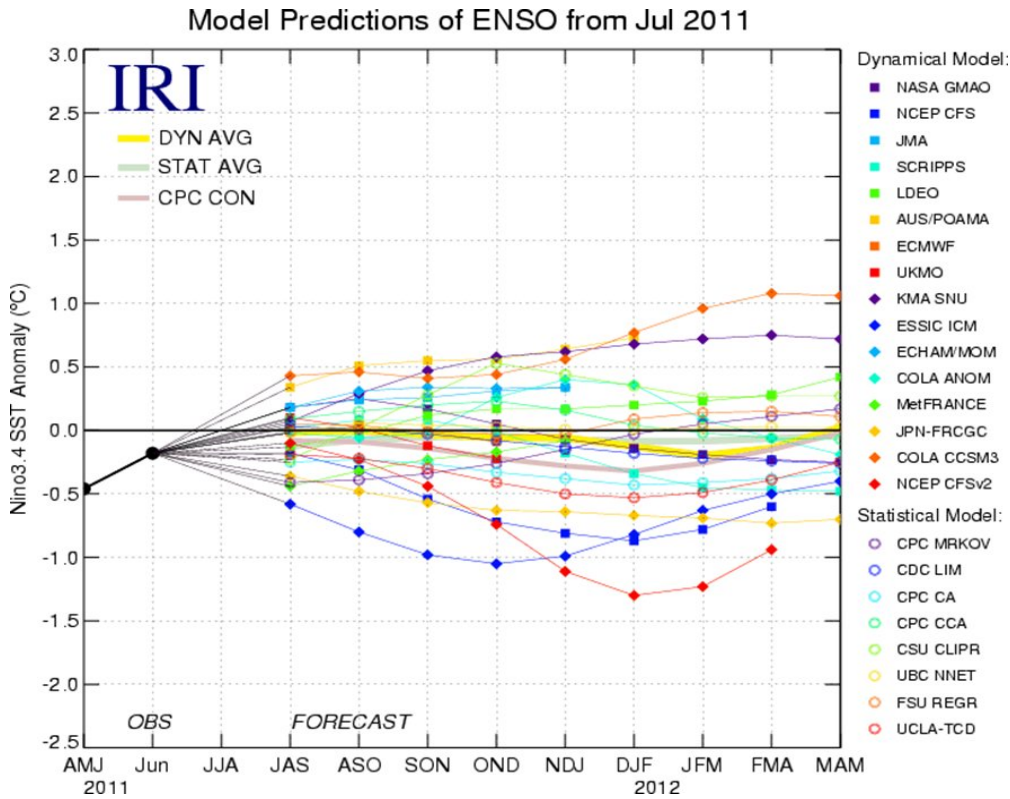
Valores positivos persistentes del SOI por encima de 8 puede indicar un evento de La Niña, mientras que valores negativos sostenidos por debajo de -8 puede indicar un evento de El Niño. Valores de entre 8 y -8 generalmente indican condiciones neutrales.



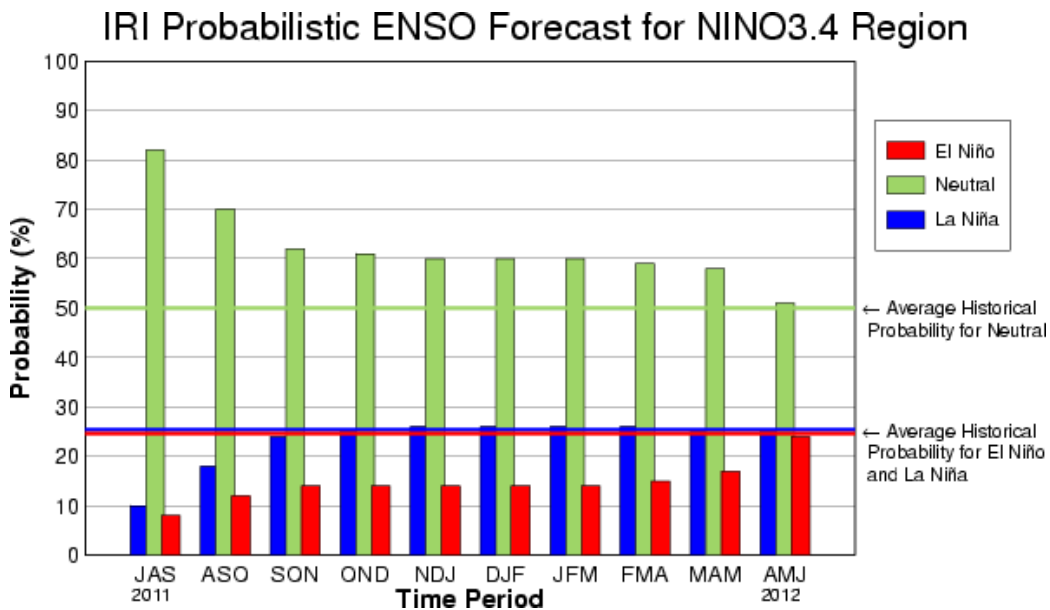
La mayoría de los modelos de pronósticos físicos y estadísticos mantienen en condiciones normales las anomalías de las TSM en la región Niño 3.4 durante los próximos meses. Algunos

² La *Oscilación del Sur* se refiere a una oscilación en la presión atmosférica entre el sudeste y el sudoeste de aguas del Océano Pacífico. Cuando las aguas del este del Pacífico incrementan su temperatura (evento El Niño), la presión atmosférica sube en el oeste del Pacífico y cae en el este. Junto con "El Niño", este fenómeno se conoce como ENSO. La fuerza de la Oscilación del Sur se mide por el Índice de Oscilación del Sur (SOI) que son las diferencias de presiones atmosféricas de superficie normalizadas entre Darwin (Australia) y Tahití.

modelos dinámicos como los NCEP pronostican enfriamientos (Niña débil) para los meses de primavera.



Las probabilidades de que se mantengan condiciones normales durante el período Julio-Septiembre del 2011 superan el 80%. Para la primavera las condiciones de La Niña en torno al 25% y desarrollo de una condición El Niño en torno al 15%



Resumen

Se mantienen las condiciones normales en las temperaturas superficiales del Océano Pacífico ecuatorial en la región Niño. Durante las últimas semanas se observó un decrecimiento de las mismas.

Permanecen las anomalías negativas (enfriamientos) en latitudes medias en el Océano Pacífico y Océano Atlántico.

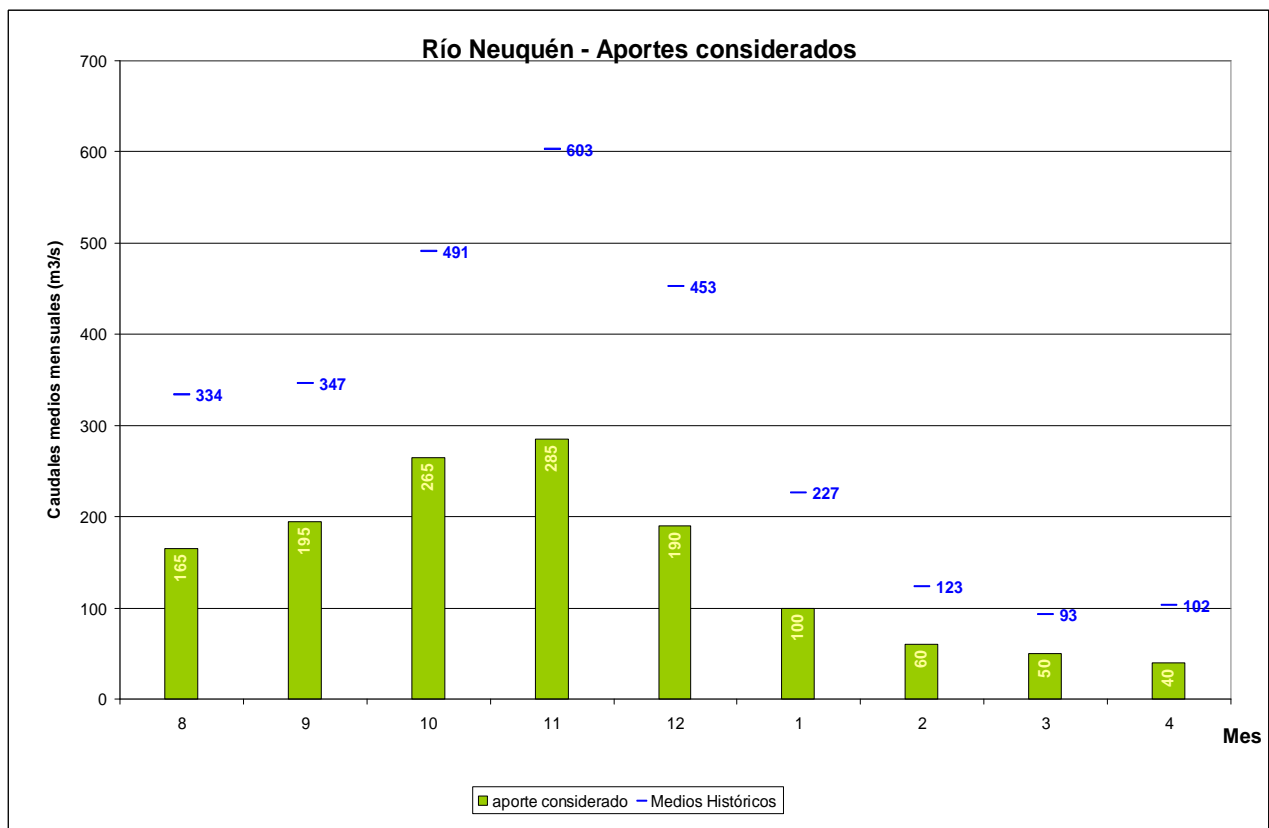
Estimaciones para el trimestre del comportamiento de las precipitaciones sobre la parte de la cuenca cuyos aportes ingresan a los embalses.

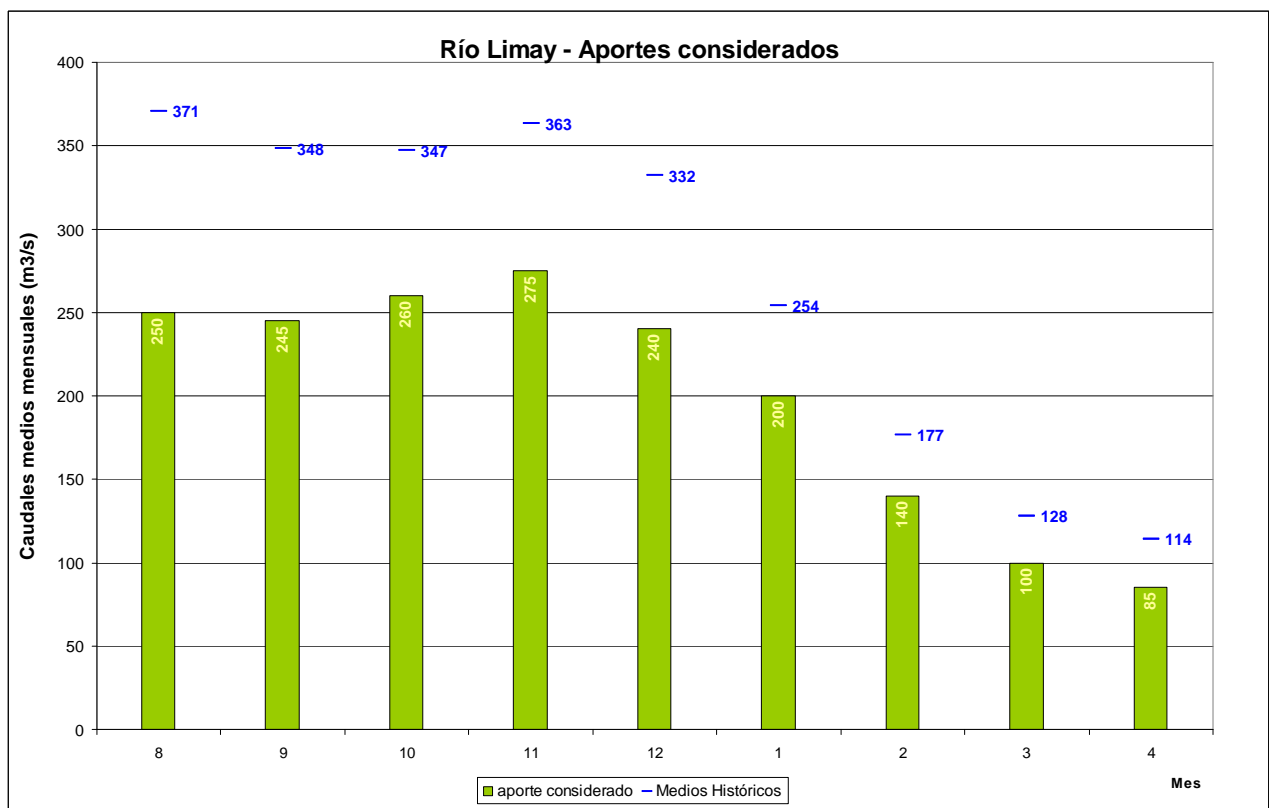
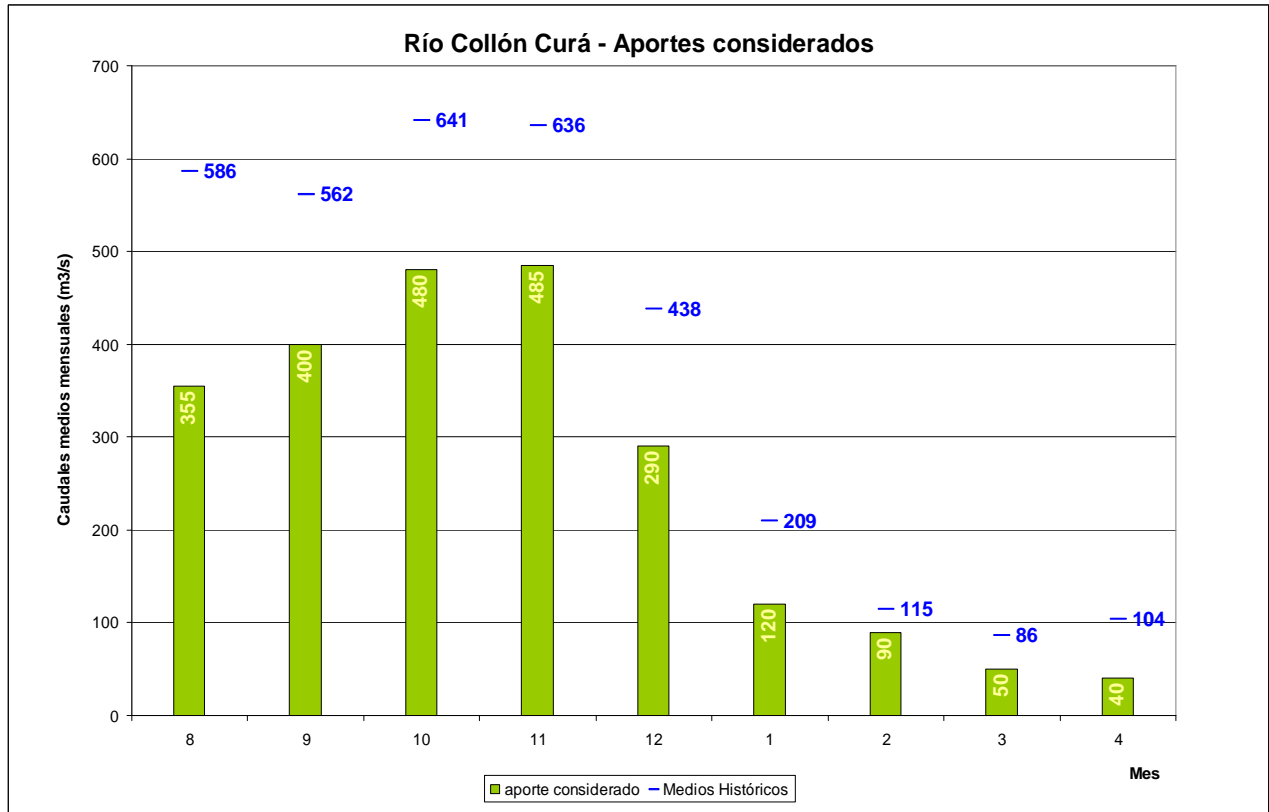
En Agosto se prevee el ingreso de aire frío y húmedo con lluvias y nevadas en las tres cuencas, aunque de menor magnitud en la cuenca del río Neuquén. Aire templado a cálido durante la segunda semana con ascenso de la temperatura. En la segunda quincena se espera un período frío con aire polar sobre el norte de la Patagonia. Las precipitaciones acumuladas mensuales se mantendrían desde normales a con leve déficit, disminuyendo desde el Sur de la cuenca del Limay hacia el Norte de la del Neuquén.

Luego del incremento en la acumulación nival en las cuencas durante las últimas semanas, se espera un progresivo aumento en los caudales por la ocurrencia de lluvias y fusión de la nieve acumulada en cotas bajas de las cuencas.

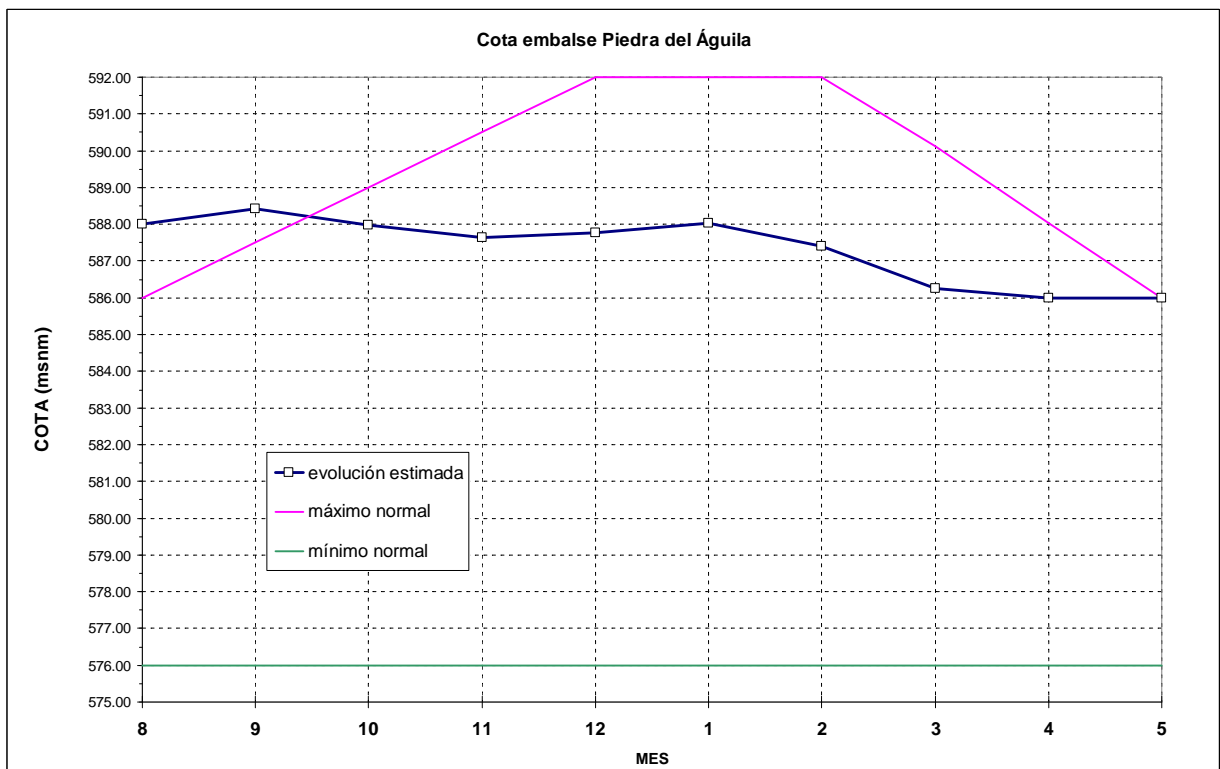
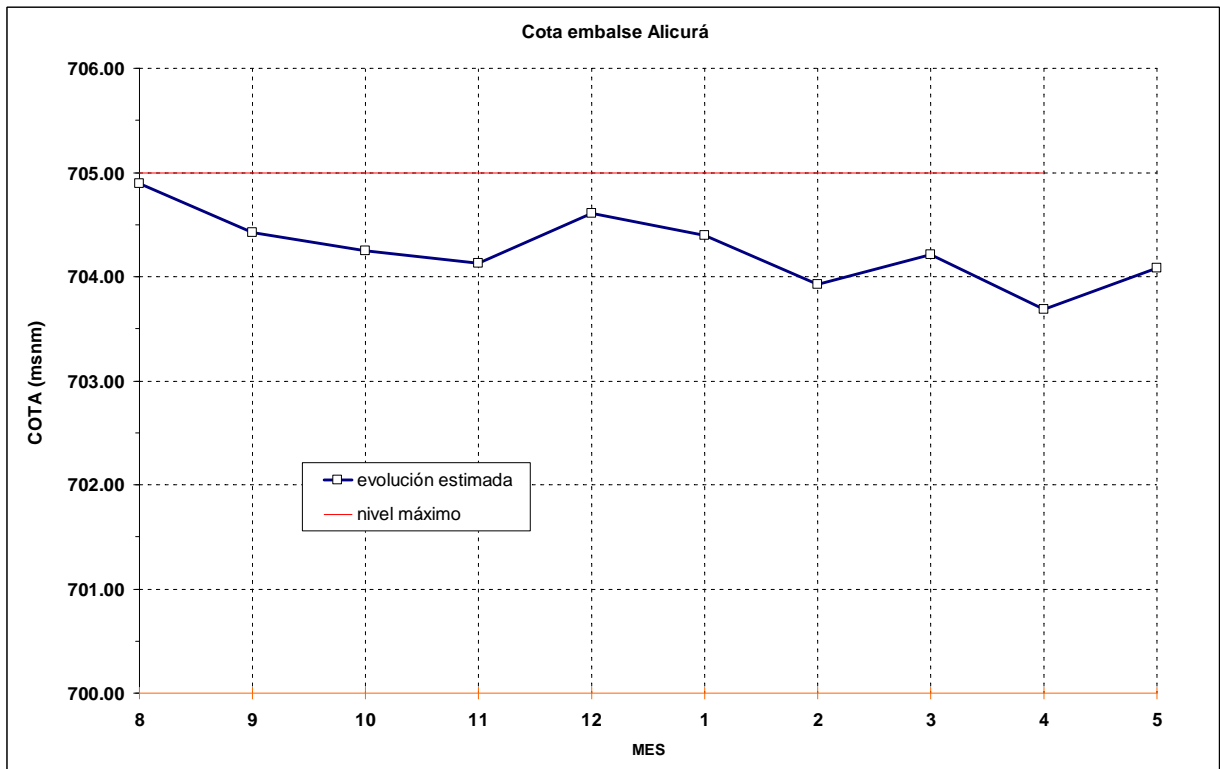
Para los meses de septiembre y octubre se estiman precipitaciones menores a las normales.

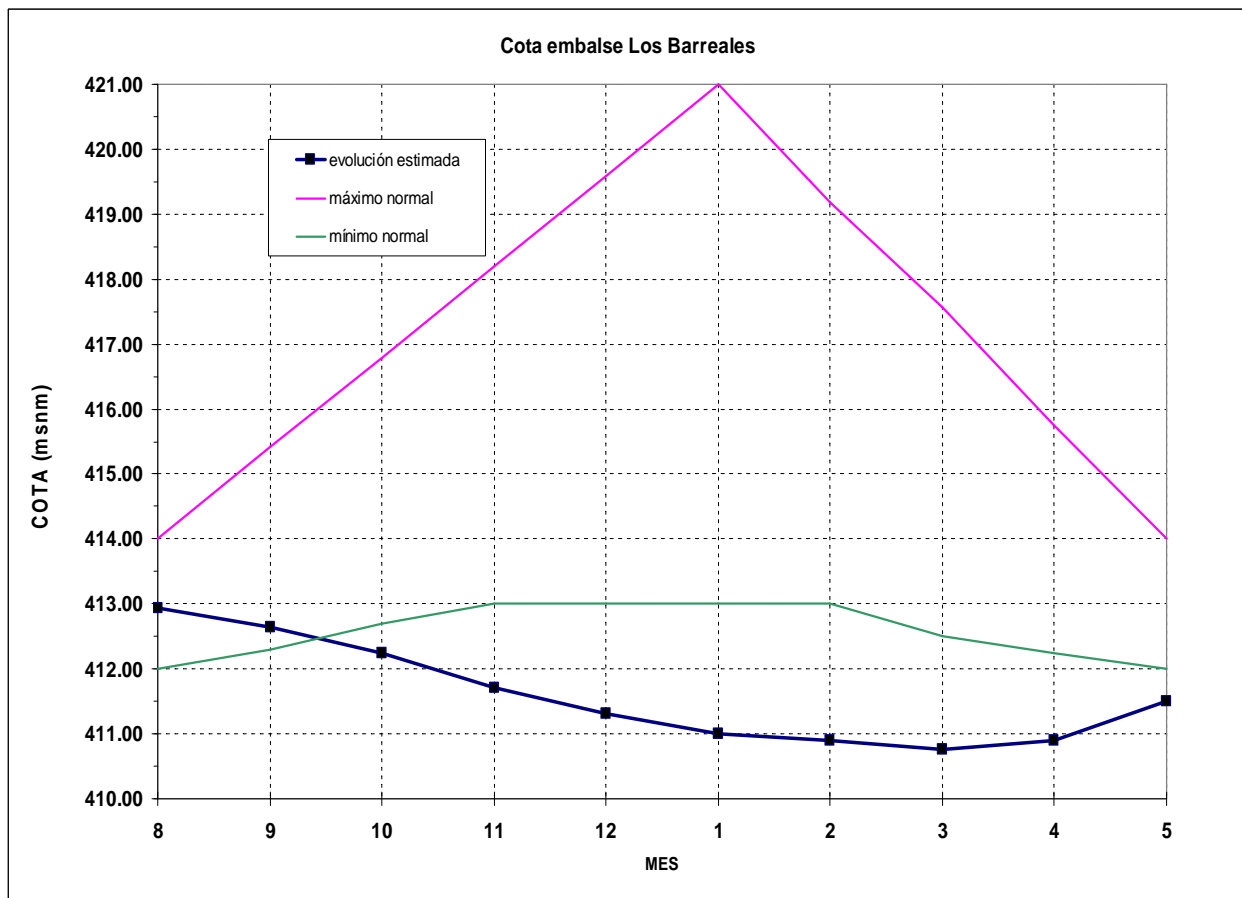
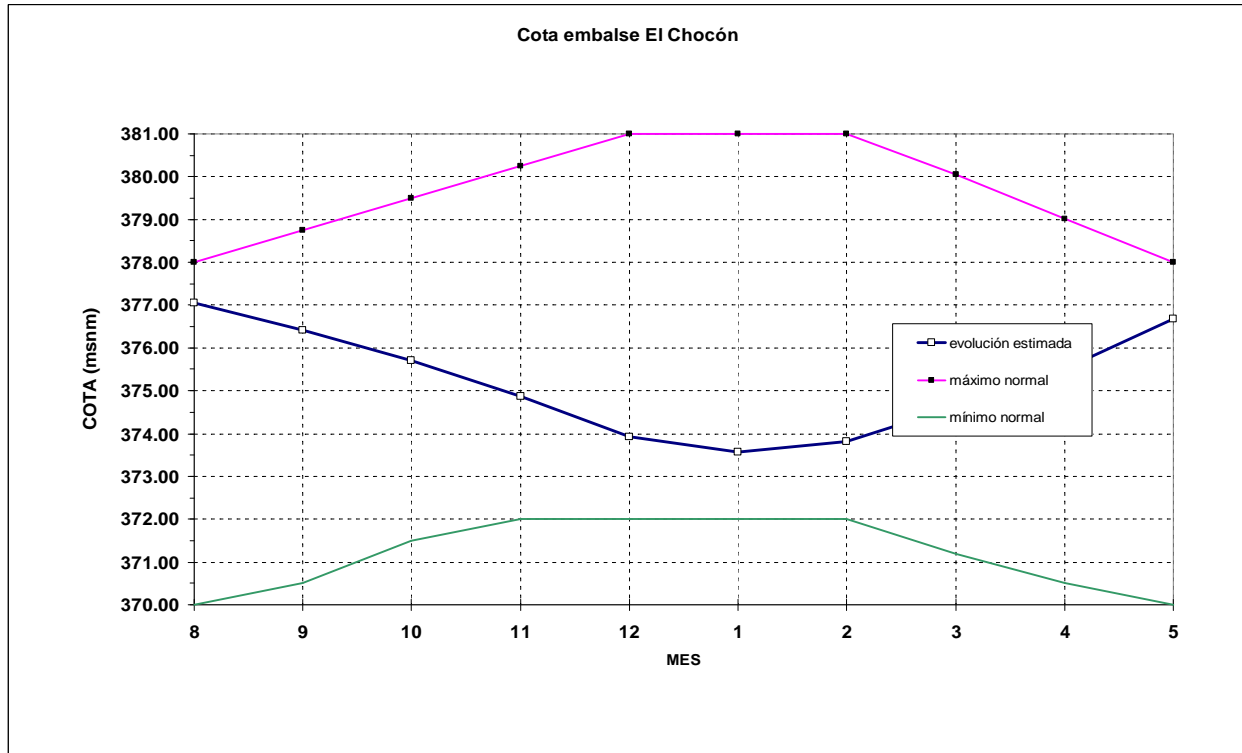
Para las evaluaciones de la operación de embalses de los próximos meses, se adopta una hipótesis de trabajo que considera derrames por debajo de la media histórica, aunque más cercanos a estos valores para la cuenca del río Limay.



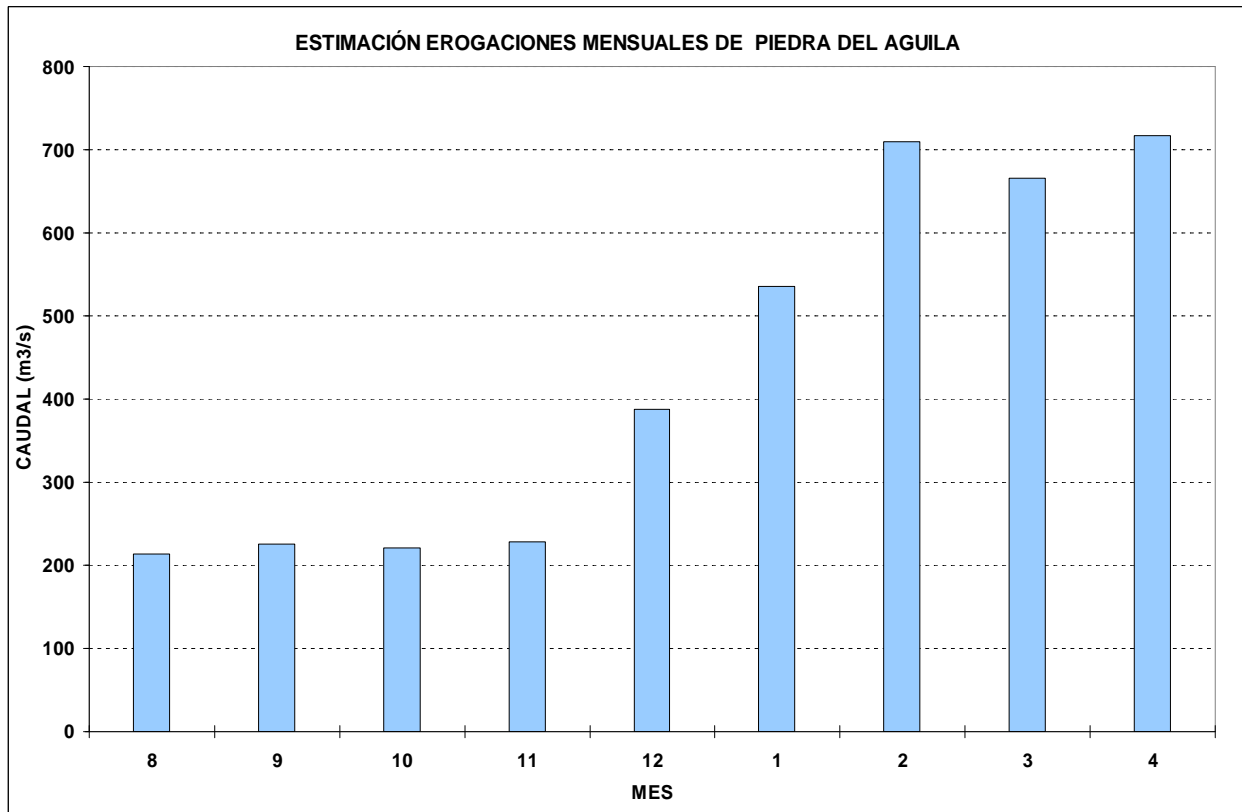


3.3 Posible evolución de los niveles de embalses y erogaciones en los próximos meses.

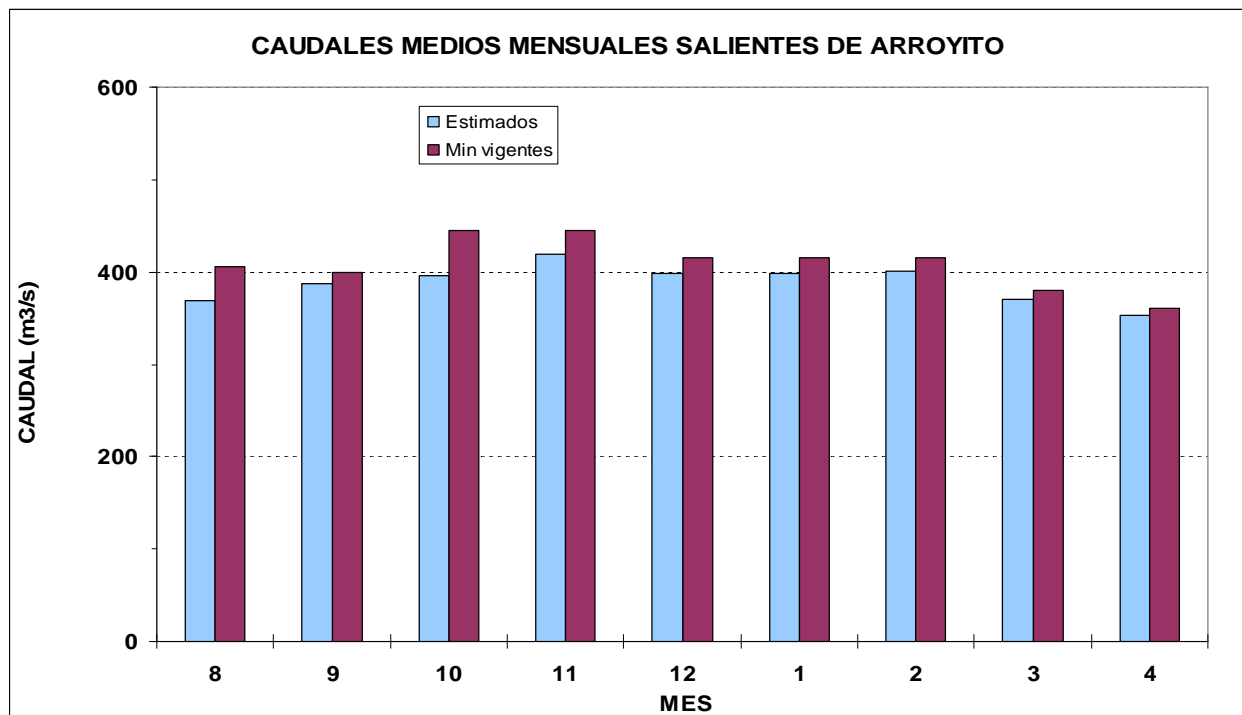




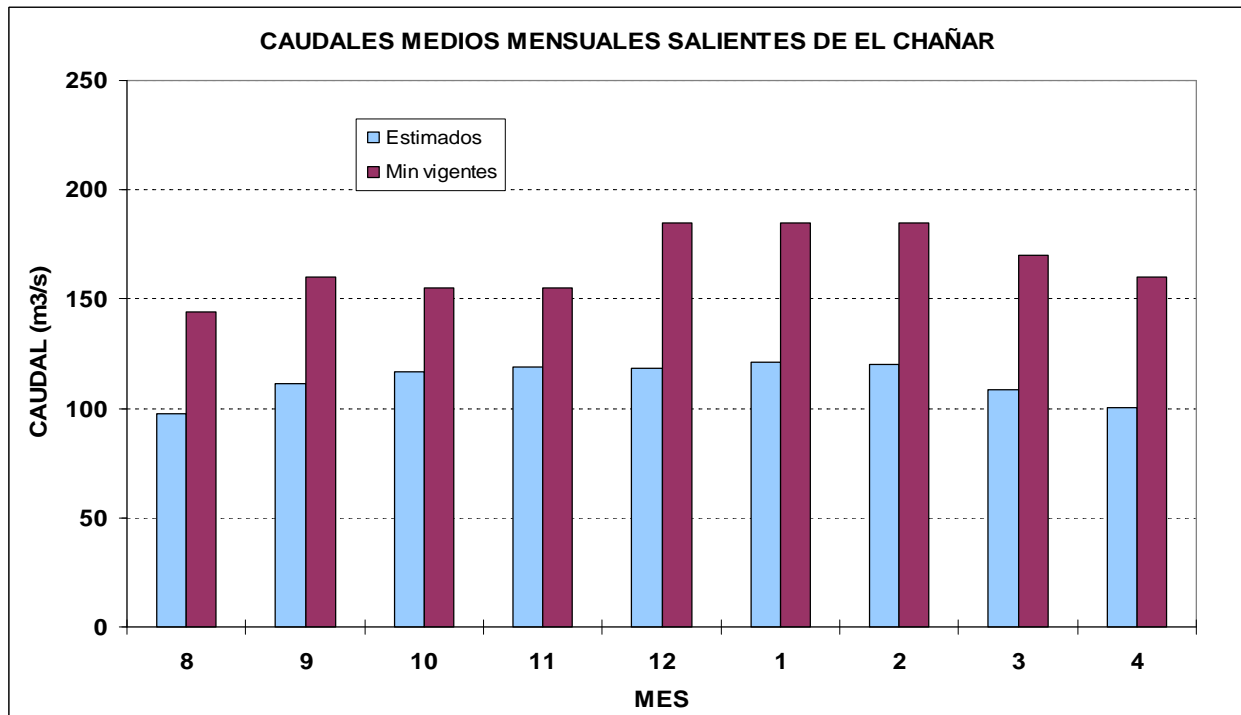
Evolución probable de las erogaciones (m³/s) desde Piedra del Águila:



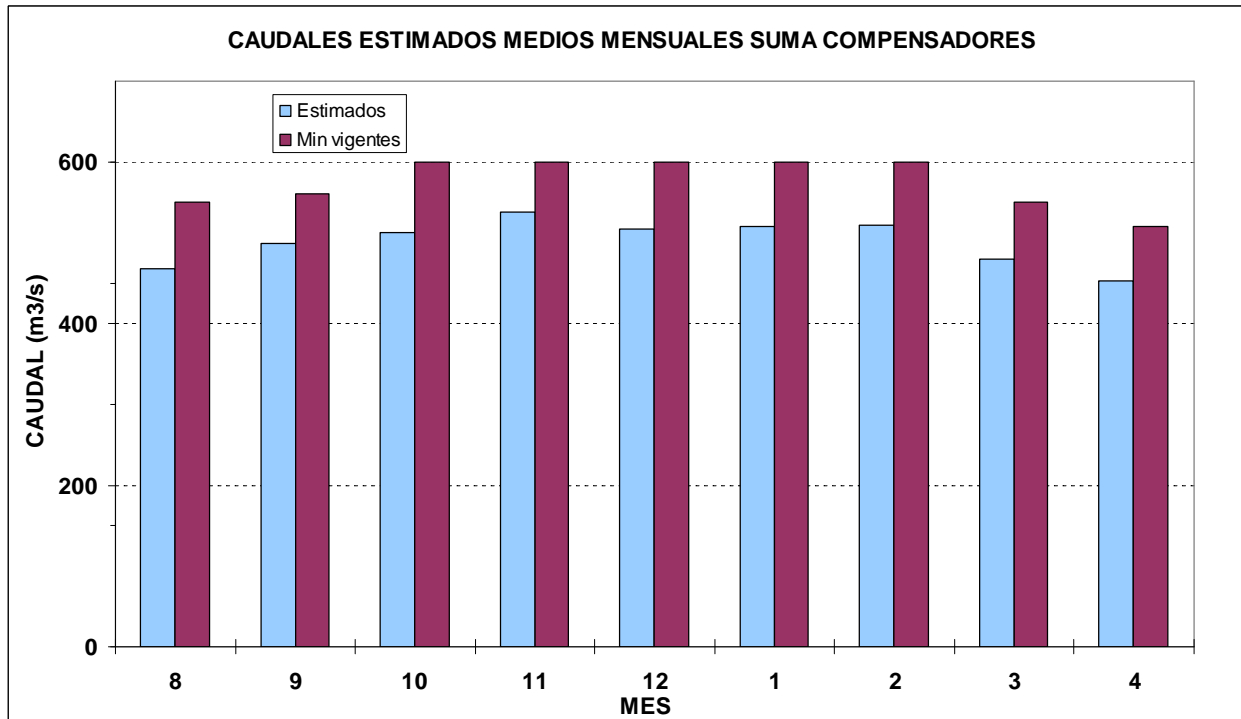
Evolución probable de las erogaciones (m³/s) desde el sistema de embalses del río Limay:



Evolución probable de las erogaciones (m³/s) desde el sistema de embalses del río Neuquén:



Evolución probable de las erogaciones (m³/s) suma de Arroyito y El Chañar:



Energías generadas para las operaciones de embalse indicadas precedentemente.

